

MINISTÉRIO DA EDUCAÇÃO UNIVERSIDADE FEDERAL DE MATO GROSSO FACULDADE DE GEOCIÊNCIAS PROGRAMA DE PÓS-GRADUAÇÃO EM GEOCIÊNCIAS

Juliana Rezende de Oliveira

Cerro Uyarani - Uma Janela Estrutural Pré-Cambriana no Altiplano Boliviano: Petrogênese e Significado Tectônico

Orientadora

Maria Zélia Aguiar de Sousa

CUIABÁ

2016



UNIVERSIDADE FEDERAL DE MATO GROSSO

REITORIA

Reitora

Profa. Dra. Maria Lucia Cavalli Neder Vice-Reitor

Vice-Reitor

Prof. Dr. João Carlos de Souza Maia

PRÓ-REITORIA DE PÓS-GRADUAÇÃO

Pró-Reitora

Profa. Dra. Leny CaselliAnzai

FACULDADE DE GEOCIÊNCIAS - FAGEO

Diretor

Prof. Dr. Paulo César Corrêa da Costa

Diretor adjunto

Prof. Dr. Carlos Humberto da Silva

PROGRAMA DE PÓS-GRADUAÇÃO EM GEOCIÊNCIAS

Coordenador

Prof. Dr. Ronaldo Pierosan

Vice-Coordenadora

Prof^a. Dr^a. Jayme Alfredo Leite



DISSERTAÇÃO DE MESTRADO

No

Cerro Uyarani - Uma Janela Estrutural Pré-Cambriana no Altiplano Boliviano: Petrogênese e Significado Tectônico

Juliana Rezende de Olivera

Orientadora

Maria Zélia Aguiar de Sousa

Dissertação apresentada ao Programa de Pós-Graduação em Geociências do Instituto de Ciências Exatas e da Terra da Universidade Federal de Mato Grosso como requisito para a obtenção do Título de Mestre em Geociências.

CUIABÁ

2016

FICHA CATALOGRÁFICA

Oliveira, Juliana Rezende de.

Cerro Uyarani - Uma Janela Estrutural Pré-Cambriana no Altiplano Boliviano:

Petrogênese e Significado Tectônico.

/ Juliana Rezende de Oliveira. – 2016.

xvii, f.: il. color.

Orientadora: Prof.ª Dr.ª Maria Zélia Aguiar de Sousa.

Dissertação (mestrado) - Universidade Federal de Mato Grosso,

Instituto de Ciências Exatas e da Terra, Pós-Graduação em

Geociências, 2016. Bibliografia: p. 36-40.

Inclui anexos.

1. Granulito Uyarani. 2. Embasamento pré-Andino. 3. Metamorfismo de

alto grau. 4. Orogenia Grenvilliana-Sunsás. I. Título

CDU - 553.612

Ficha elaborada por: Rosângela Aparecida Vicente Söhn – CRB-1/931

PERMITIDA A REPRODUÇÃO PARCIAL OU TOTAL, DESDE QUE CITADA A FONTE.

Cerro Uyarani - Uma Janela Estrutural Pré-Cambriana no Altiplano Boliviano: Petrogênese e Significado Tectônico

Dissertação de mestrado aprovada em dia 01 de Março de 2016.

BANCA EXAMINADORA

Orientador (UFMT) Prof. Dr. Amarildo Salina Ruiz

Examinador Interno (UFMT) Prof. Dr. João Batista de Matos

Examinador Externo (UnB)
Prof. Dr. Márcio MartinsPimentel

Dedicatória

Dedico esta dissertação de mestrado à minha família que sempre me apoiou e me deu forças para continuar. Mãe e pai em primeiro lugar, meus avós, tios (as), primos e aos agregados.

A minha família é minha base e a ela dedico todo meu amor e meu sucesso.

Agradecimento

Agradeço a Deus pela minha vida, pelas minhas possibilidades e oportunidades, por ter me abençoado grandemente em meu caminho colocando uma família tão especial e amigos tão queridos em minha jornada.

A minha família pelo amor incondicional, carinho e respeito que tem por mim. Um obrigado muito especial a minha mãe (Rose), minha parceira e melhor amiga, a mulher que eu mais admiro na vida e que está comigo em todos os momentos. Ao meu pai (Regi) que tem um orgulho gigantesco por mim e enche os olhos de lágrimas pra falar o quanto me ama e me admira, este amigo e companheiro, meu pai, meu *brother*.

Agradeço aos meus amigos, pessoas que venho conhecendo desde pequena até hoje, que são especiais na minha vida pelo carinho e parceria no dia-a-dia. Um especial agradecimento a Ingrid e Thassiane que além de grandes amigas são duas companheiras de trabalho que inclusive participaram do meu trabalho de campo na Bolívia, me ajudando muito na realização desse mestrado.

Agradeço à minha orientadora Maria Zélia Aguiar de Sousa, que me incentivou, me auxiliou, me deu puxões de orelha, mostrou os caminhos corretos e foi tão dedicada com o meu trabalho. Tenho um carinho muito especial por ela e muita admiração e respeito, poisde além de ser uma excelente profissional, professora e orientadora é uma amiga tão querida comigo sempre!

Agradeço ao professor Amarildo Salina Ruiz, que do segundo ao quinto ano da graduação foi meu tutor do PET-Geologia, foi meu orientador no TCC e agora me orienta no trabalho de mestrado. Estamos trabalhando juntos por seis anos e hoje só tenho a agradecer profundamente e dizer que ainda temos muito a trabalhar, já que será meu co-orientador do doutorado. Amarildo tão generoso por passar seu conhecimento e fazer questão que eu aprendesse tudo e conseguisse enxergar o que ele mostrava, além de grande geólogo e mestre, um bom amigo, de piadas engraçadas e conselhos valorosos.

Agradeço a CAPES pela concessão da bolsa, ao Grupo de Pesquisa em Evolução Crustal e Tectônica Guaporé pelo apoio no tratamento das amostras para a realização das análises litoquímicas e geocronológicas, ao Instituto Nacional de Ciência e Tecnologia de Geociências da Amazônia (GEOCIAM) pelo auxílio financeiro no decorrer do trabalho de mestrado, e a Universidad Mayor de San Andrés pelo acesso ao local de estudo.

Sumário

Dedicatória	vi
Agradecimento	vii
Sumário	viii
Resumo	x
Abstract	xi
CAPÍTULO I	1
INTRODUÇÃO	1
I. 1. Introdução ao tema	1
I.1.1 Problemática e Relevância	1
I.1.2. Objetivos	1
CAPÍTULO II	3
REFERENCIAL TEÓRICO	3
II. 1. Contexto geológico regional	3
II.1.1. Configuração do embasamento pré-andino	3
II.1.2.Andes central - Arequipa e Antofalla	8
II.1.3. Cerro Uyarani	10
CAPÍTULO III	13
MATERIAIS E MÉTODOS	13
III.1. Materiais e métodos de pesquisa	13
III.1.1.Área de estudo	13
III.1.2 Métodos utilizados	14
CAPÍTULO IV	19
RESULTADOS E DISCUSSÃO	19
IV.1. Resultados	19
IV.1.1. Geologia e petrografia	19
CAPÍTULO V	31
CONCLUSÃO	31
V. 1. Discussões e conclusões	31
Referências	34
ANEXO 1 Artigo submetido	39
ANEXO 2 Carta de aceite	67

ANEXO 3 Mapa de afloramentos	68
ANEXO 4 Mapa dos pontos de amostragem da geoquímica	69

Resumo

O embasamento pré-andino é formado por terrenos paleoproterozoicos como o Terreno Arequipa-Antofalla e dentre suas unidades destaca-se o Granulito Uyarani, parcialmente recoberto por sedimentos quaternários e por um Ignimbrito pliocênico.

O Granulito Uyarani é caracterizado neste trabalho como Granulito félsico que apresenta enclaves máficos de granulito máfico. O Granulito félsico recebe o nome debiotita-hiperstênio granulito para a banda félsica e de hiperstênio±hornblenda granulito para a banda máfica e o granulito máfico recebe o nome de hornblenda-hiperstênio granulito.

A análise estrutural demonstra seu caráter polideformado, com três fases de deformação F1, F2 e F3 e tectônica rúptil marcada por fraturas e falhas na F3. A fase F1 é ligada ao metamorfismo M1 que alcançou condições de fácies granulito para o Granulito Uyarani, já na fase F2 ocorre o M2, responsável por um retrometamorfismo para fácies xisto verde.

A litoquímica mostra que os granulitos foram gerados por mistura de magma, o protólito do Granulito félsico apresenta magmatismo cálcio-alcalino, metaluminoso a peraluminoso e magnesiano, já os enclaves de granulito máfico revelam um magmatismo cálcio-alcalino.

A análise geocronológica revelou uma idade de cristalização de 1736±5.1 Ma U-Pb em zircão para os granulitos félsicos enquanto a idade de metamorfismo já existente de 1157±60 Ma (Wörner *et al.*, 2000) indica a atuação de um episódio termal regional, associado à evolução da Orogenia Grenvilliana-Sunsás,também nas rochas granulíticas estudadas, sugerindo sua conexão com as faixas móveis da Província Geocronológica Sunsás do SW do Cráton Amazônico.

Abstract

The pre-Andean basement consists of thirteen major paleoproterozoic terranes as well as the Arequipa-Antofalla Terrane, and among its outcrops occurs the Uyarani Granulite partially covered by Quaternary sediments, and a Pliocene ignimbrite.

The Uyarani Granulite is characterized in this paper as a granulite felsic who presenting mafic enclaves of Mafic Granulite. The felsic granulite is called granulite biotite-hypersthene to felsic band and hypersthene± hornblende granulite to mafic band and the Mafic Granulite is called hornblende-hypersthene granulite.

The structural analysis reveals the polydeformed character of these rocks which have undergone three phases of deformation F1, F2 and F3 and a brittle event marked by F3 fractures and faults. The F1 stage is related to the M1 granulite facies metamorphism acting on the Uyarani Granulite, while the F2 phase is marked by M2, a greenschist facies retro-metamorphism.

Lithochemistry reveals that the granulites are originated by mixing magma, the protolith of felsic granulite has a calc-alkaline signature, varying from metaluminous to peraluminous, magnesian, however the Mafic Granulite enclaves reveal calc-alkaline magmas.

Geochronological analysis yielded a crystallization age of 1736±5.1 Ma U-Pb in zircon for the felsic granulites while a metamorphic age of 1157±60 Ma (Wörner *et al.*, 2000) indicate the involvement in a regional thermal episode associated with the evolution of the Grenvillian-Sunsás Orogeny also in the studied granulites rocks, suggesting though its relationship with mobile belts of the geochronological Sunsás Province in the SW Amazon Craton.

CAPÍTULO I INTRODUÇÃO

I. 1. Introdução ao tema

I.1.1 Problemática e Relevância

Este projeto de mestrado tem como alvo de estudo o Cerro Uyarani, uma montanha localizada no departamento de Oruro, província Sajama, no município de Turco, Bolívia. Esta região situa-se na porção oeste do Altiplano da Bolívia e faz parte da cadeia de montanhas dos Andes. Dista, aproximadamente, 45 km do Vulcão Sajama, 175 km do Salar de Uyuni e 290 km de Cochabamba, de onde se alcança por estradas vicinais até a área de estudo.

O Cerro Uyarani está exposto no extremo norte do terreno Antofalla, compondo assim a região denominada Andes Central, do embasamento pré-andino. É descrito e datado por Wörner *et al.* (2000), se trata de uma serra que mede aproximadamente 32Km² e apresenta rochas de origem ígnea, deformadas e metamorfizadas. São granulitosmáficos e félsicos foliados e na porção noroeste é recoberto discordantemente por um ignimbrito, estas rochas estão cobertas por sedimentos quaternários inconsolidados. A cristalização ígnea do protólito foi datada em 2020±130 Ma e o evento metamórfico em 1157±60 Ma, através de método U-Pb em zircão.

Faz-se relevante o estudo a cerca desta janela estrutural pré-cambriana exposta em meio à cadeia de montanhas andina no altiplano boliviano, já que são poucos os autores que fizeram estudos desta exposição, Troeng *et al.* (1994) e Wörner *et al.* (2000), havendo assim a possibilidade de contribuir com a geologia desta região.

I.1.2. Objetivos

O principal objetivo desta pesquisa é contribuir com o entendimento da evolução geológica e tectônica do embasamento pré-andino e encontrar possíveis correlações entre os terrenos Arequipa e Antofalla e o Cráton Amazônico.

Buscando alcançar os objetivos principais desta pesquisa realizamos a caracterização geológica do Cerro Uyarani, através da definição do empilhamento estratigráfico, caracterização dos litotipos, definição da real idade de cristalização do protólito, da história deformacional e metamórfica e das possíveis áreas fonte do Granulito Uyarani, além de correlacionar cronologicamente o Granulito Uyarani com unidades que ocorrem no Cráton Amazônico.

CAPÍTULO II

REFERENCIAL TEÓRICO

II. 1. Contexto geológico regional

II.1.1. Configuração do embasamento pré-andino

Uma das primeiras reconstruções do Supercontinente Rodínia foi elaborada por Hoffman (1991) que através da paleogeografia sugeriu que a Baltica e o Cráton Amazônico eram margens conjugadas a margem leste de Laurentia, fazendo parte do supercontinente Rodínia.

Encontram-se em meio à cadeia de montanhas andina remanescentes de crosta metamórfica com idades paleoproterozóicas de geração e idades metamórficas Grenvillianas/Sunsás que registram as interações continentais entre os terrenos que fazem parte do embasamento pré-andino e o Cráton Amazônico (Hoffman, 1991; Wasteneys *et al.*, 1995; Kay *et al.*, 1996; Restrepo-Pace *et al.*, 1997; Loewy *et al.*, 2004; Cordani *et al.*, 2005).

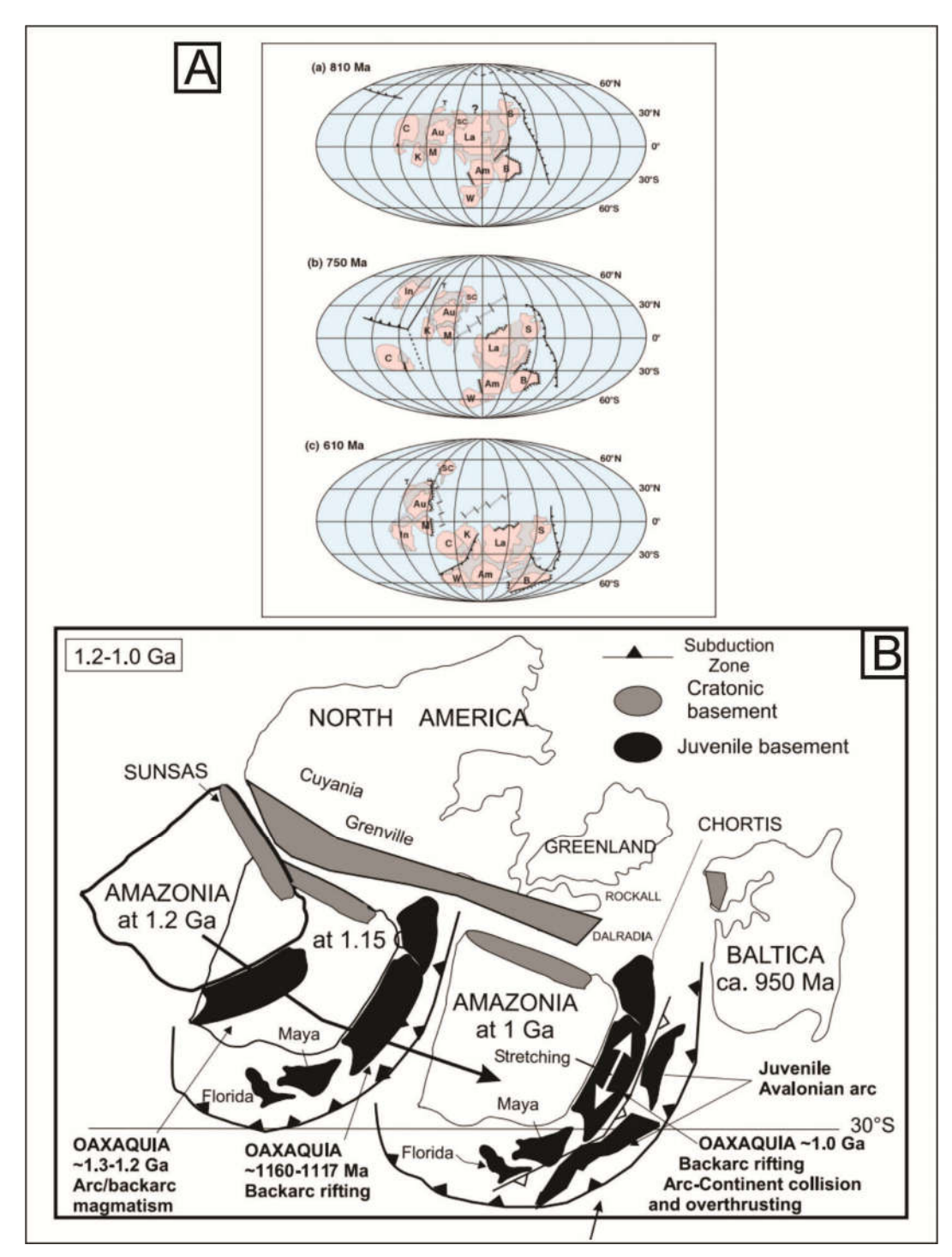
Ramos (2010a) propõe uma revisão a respeito da conexão Laurentia-Gondwana considerando o conhecimento atual das idades e composição dos terrenos que formam o embasamento pré-andino.

Os Terrenos alóctones e para-autóctones do embasamento pré-andino registram uma complexa história de aglutinação, separação e reacresção até formarem a configuração atual da costa ocidental Sul-Americana (Monger *et al.*, 1982; Ramos, 1988; Loewy *et al.*, 2004; Cawood, 2005; Rapela *et al.*, 2007; Ramos, 2008a; Ramos 2010a). Segundo Li *et al.* (2008) as idades Grenvillianas de zircões herdados demonstram que a maior parte destes terrenos fizeram parte do Supercontinente Rodínia.

Segundo Ramos (2010a) depois da quebra do Rodínia alguns terrenos, como Cuyania e Chilenia, ficaram unidos a Laurentia, enquanto Arequipa, Antofalla, Pampia, Chibcha, Patagônia e Paracas ao Gondwana. Posteriormente Cuyania e Laurentia foram amalgamados à proto-margem do Gondwana, no Ordoviciano e Devoniano inferior. Algumas dessas suturas passaram por reativações, muitas vezes formando aulocógenos ou bacias desde o Neoproterozóico, também no Paleozóico Inferior e até o Ordoviciano. E no Neopaleozóico os terrenos Tahami, Tres Lagunas e Tahuin foram unidos ao Gondwana. E assim foram configurando o que hoje é o embasamento pré Andes.

Powell *et al.* (2001; Fig. II.1) sugere uma evolução da configuração paleogeográfica mundial do Rodínia ao Gondwana com base em dados paleomagnéticos e rotação dos pólos, considerando o início da fissão do Rodínia em 810 Ma no Toniano até 610 Ma com a junção dos continentes e Crátons (Índia, Congo, São Francisco, Kalahari, Amazônia e Rio de La Plata) para formar o Gondwana.

Tohver *et al.* (2002) e Keppie (2004) estabelecem a reconstrução de Rodínia considerando que de 1.2 Ga a 950 Ma ocorreu um percurso sinistral do Cráton Amazônico em relação a Laurentia.



FiguraII.1 - A) Remontagem de Rodínia a Gondwana por Powell *et al.* (2001). B) Reconstrução do Rodínia entre 1.2 e 1.0 mostrando a rotação sinistral em relação ao Leste de Laurentia (Keppie 2004).

Cawood (2005;Fig. II.2) posiciona alguns dos terrenos acrescidos à margem oeste do Gondwana, afirmando que trata-se de uma complexa história, com a formação do Oceano Iapetus durante o Paleozoico seguido da formação do Orógeno Terra Australis no Paleozoico Inferior.

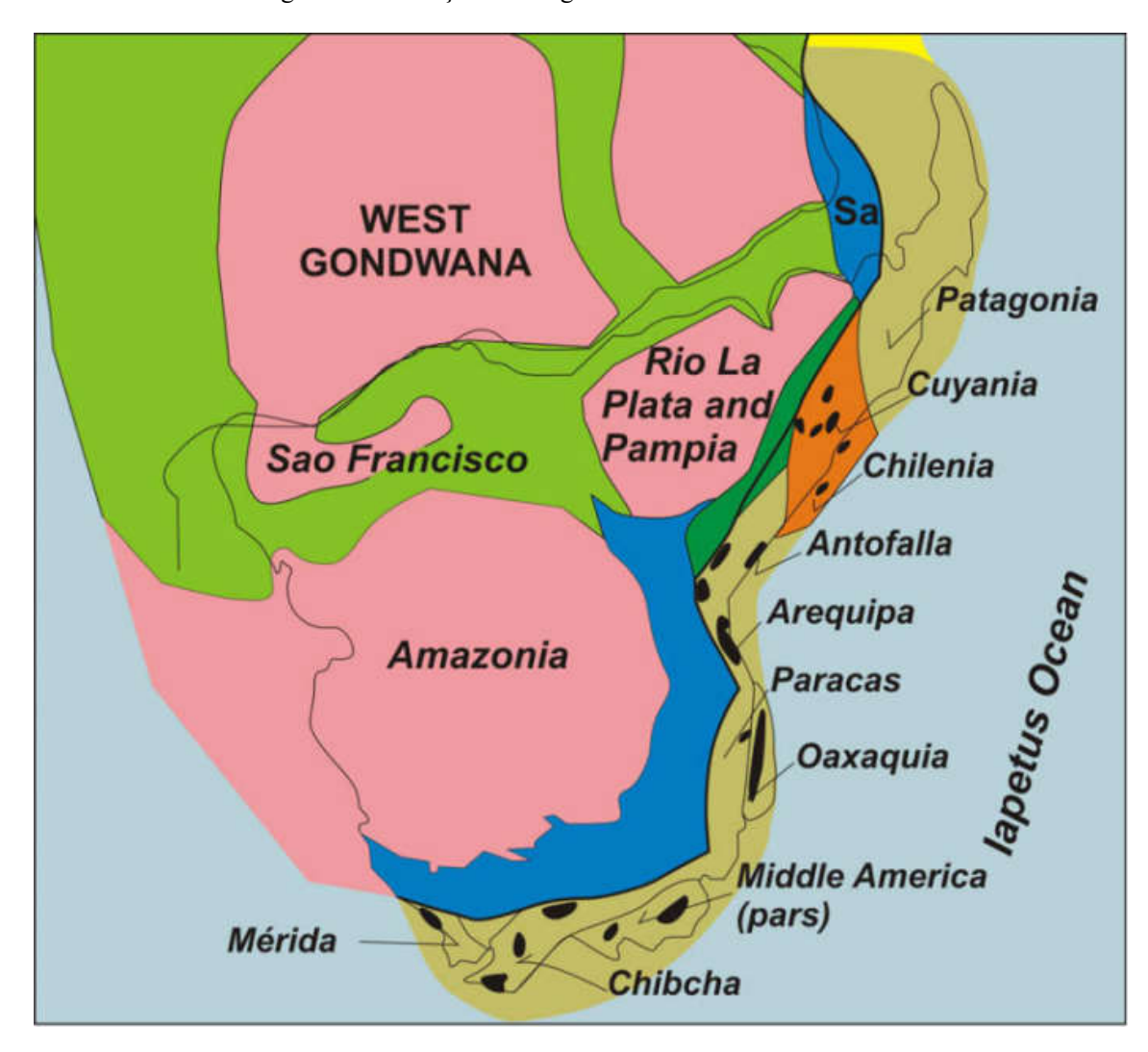


Figura II.2 - Parte sul do Orógeno Terra Australis mostrando a posição dos terrenos que formaram o embasamento do Andes durante o Paleozóico inferior e superior. Extraído de Ramos, 2010a e modificado de Cawood, 2005.

Ramos (2010a;Fig.II.3A) baseado nos estudos ainda não publicados na época, de Pindell e Kennan (2009) propõe uma reconstrução do Pangea considerando os terrenos Tahami, Tres Lagunas e Tahuin, e através de dados paleomagnéticos confirmam que os terrenos do embasamento pré andino instalaram-se entre Laurentia e Gondwana porém as localizações exatas de cada terreno ainda é um assunto de debate. Também inclui nesta região a existência dos terrenos Mérida, Oaxaquia, Mixteca eChortis, além dos já reconhecidos Chibcha, Paracas, Arequipa e Antofalla (Ramos, 2010a;Fig. II.3B)

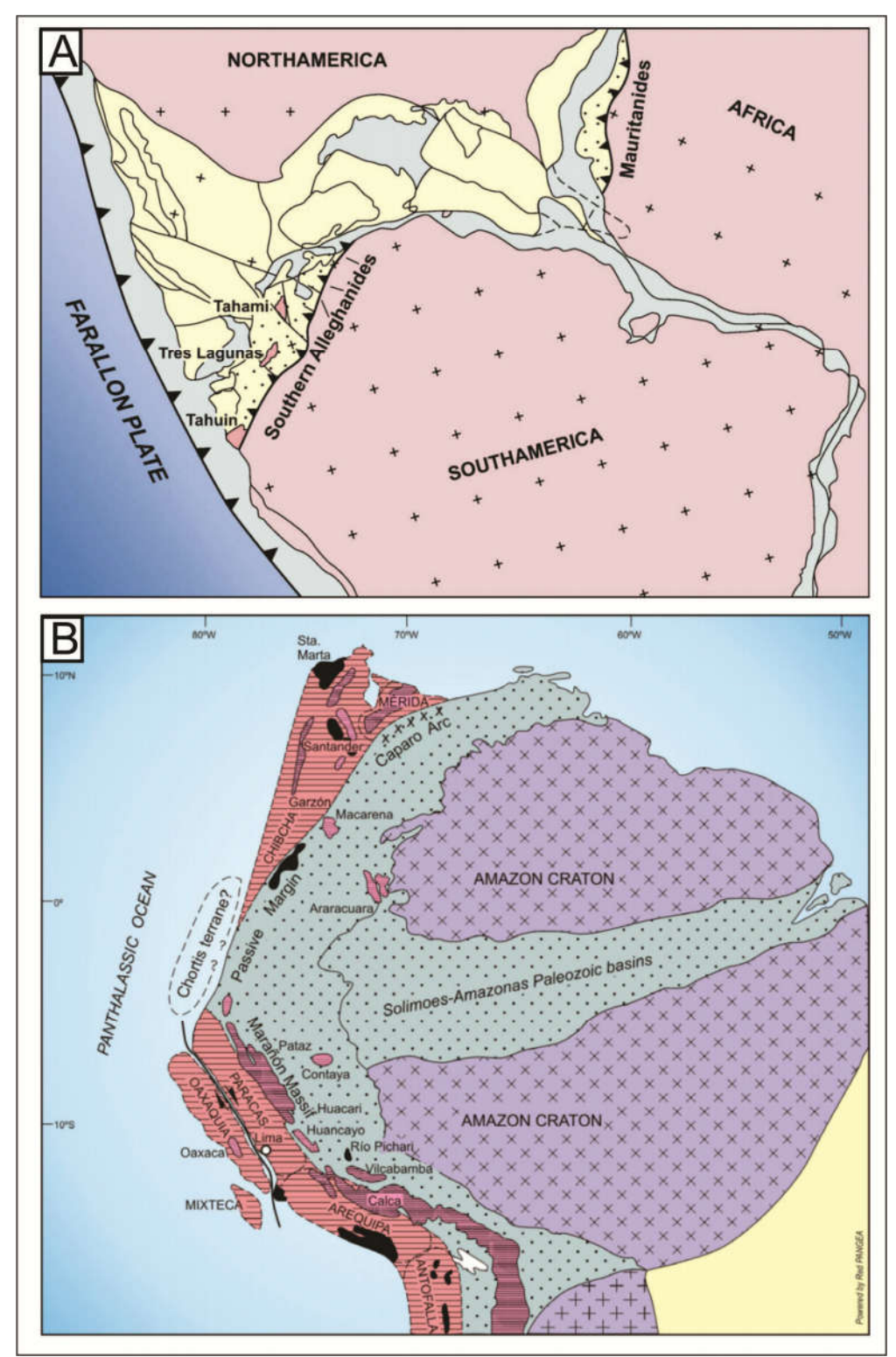


Figura II.3 -A) Terrenos Tahami , Tres Lagunas e Tahuin em evidência nesta configuração do Pangea B) Reconstrução da margem do Gondwana no Paleozóico superior. Extraídos de Ramos (2010a).

Ramos (2010a, Fig.II.4.) mostra uma configuração geotectônica atual da America do Sul considerando os principais terrenos e inclui histogramas com idades de zircões detríticos.



Figura II.4. Os principais terrenos que compõe o embasamento pré-andino, demonstrando a característica autóctone destes terrenos. Extraído de Ramos 2010a.

II.1.2. Andes central - Arequipa e Antofalla

Ramos (1988) e Bahlburg & Hervé (1997) propõe que os terrenos Arequipa e Antofalla eram dois terrenos distintos que após o primeiro choque passaram a se comportar como um só e segundo Ramos (2008a) o Terreno Antofalla chocou-se com o Cráton Amazônico em três momentos distintos, inicialmente durante a formação do Rodínia, na Orogenia Sunsás, em seguida constituindo o Gondwana pela Orogenia Brasiliana e finalmente na Orogenia Andina compondo a estruturação atual do continente Sul-Americano.

A margem continental andina é dividida em Andes Superior, Central e Inferior (Mpodozis e Ramos 1990), ao qual estão inseridos na configuração dos Andes Central os Terrenos Arequipa, Antofalla, Marañon, Mejillonia, Chilenia, Cuyania, Famatina e Patagonia (Dalziel & Forsythe 1985; Ramos 1988, 2008a, 2010a).

Loewy *et al.* (2004, Fig. II.5) define três domínios para os Terrenos Arequipa e Antofalla, Domínio Norte, Central e Sul, a partir das idades de magmatismo e metamorfismo apresentadas pelas rochas destes terrenos.

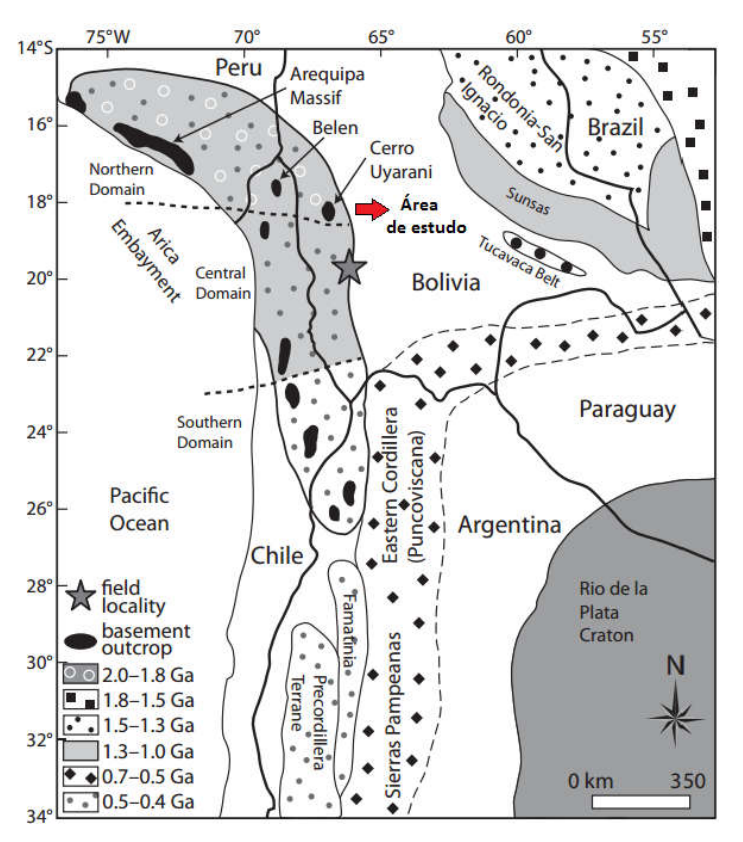


Figura II.5. Mapa dos Terrenos Arequipa e Antofalla e das províncias ao seu redor evidenciando a divisão das unidades de embasamento dos Terrenos Arequipa e Antofalla em domínios norte, central e sul. Extraídode McLeod *et al.* (2013), modificado de Loewy *et al.* (2004).

O primeiro domínio abrange o terreno Arequipa e o Cerro Uyarani sendo formado por magmatismo e metamorfismo paleoproterozoico e um arco magmático neoproterozoico; o segundo domínio fica na porção norte a central do Antofalla e é caracterizado por um magmatismo e metamorfismo mesoproterozoico e um magmatismo tardio neoproterozoico, o terceiro domínio se estabelece na porção sul do terreno Antofalla, registrando magmatismo e metamorfismo neoproterozoico a ordoviciano.

O Terreno Antofalla (Fig. II.6) extende-se desde a porção oeste de Puna, Argentina até o litoral norte do Chile, formado pelos corpos Cerro Uyarani (área de estudo da dissertação do mestrado), Belén, Quebrada Choja, Sierra Moreno, San Andrés, Berenguela, Saxamar, Cauchari, Cordón de Lila, Limón Verde e Antofalla, rochas graníticas e metamórficas orto e paraderivadas de idade pré-cambriana a paleozoica (Lehmann 1978, Tosdal 1996, Wörner *et al.* 2000, Loewy *et al.* 2004) que registram a história geológica pré-andina.

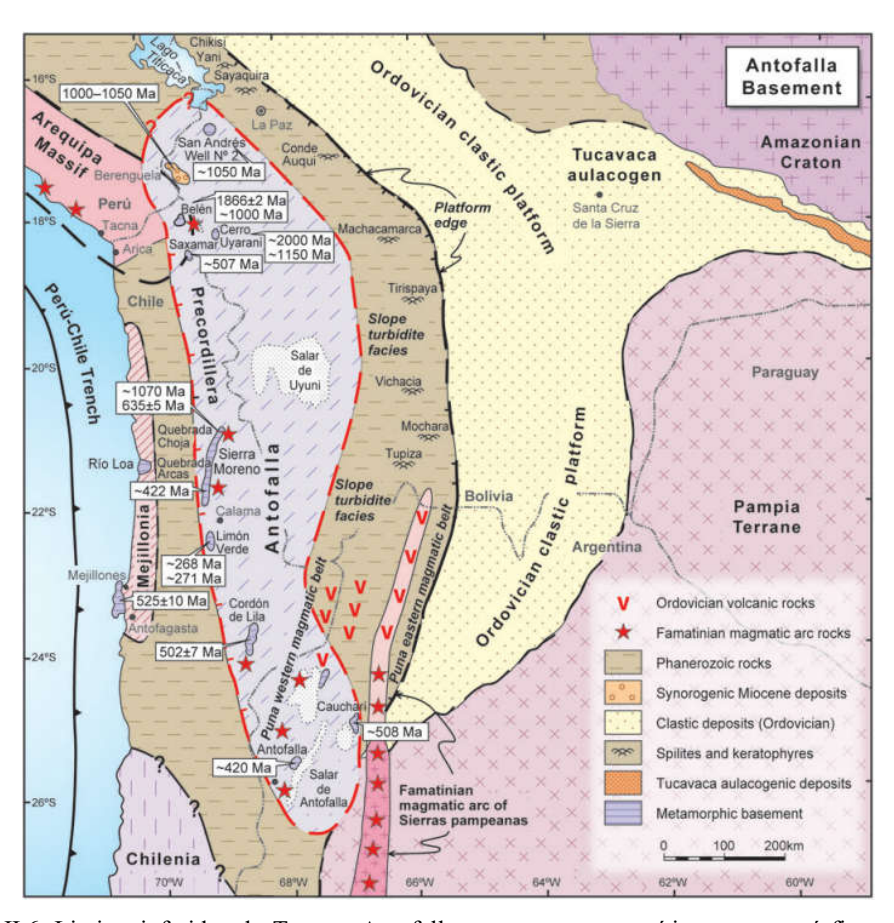


Figura II.6. Limites inferidos do Terreno Antofalla e seus corpos graníticos e metamórficos representantes do embasamento (Ramos 2008a).

II.1.3. Cerro Uyarani

O Cerro Uyarani, alvo deste estudo, é uma serra de aproximadamente 32km² situada na porção oeste do Altiplano da Bolívia. Foi inicialmente definido pelo Serviço Geológico da Bolívia e se encontra no extremo norte do Terreno Antofalla (Ramos, 1988) como um representante metamórfico do embasamento pré-andino em meio à cadeia de montanhas andina.

As rochas desta serra foram descritas inicialmente por Troeng *et al.*, (1994;Fig. II.7.), como um gnaisse de composição granítica a granodiorítica, com a ocorrência de um ignimbrito ao norte e oeste do maciço e cobertos por sedimentos quaternários e apresentaram os primeiros resultados radiométricos para os granulitos félsicos, com idade isocrônica Rb/Sr em rocha total de 1859±200 Ma.

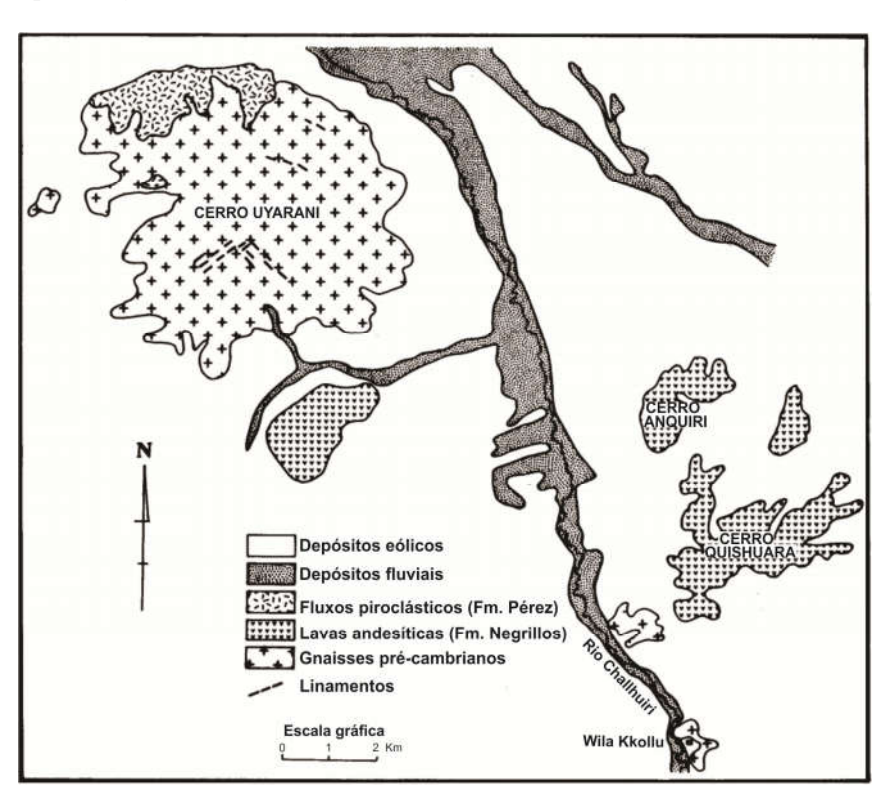


Figura II.7. Mapa geológico da região do Cerro Uyarani por Troeng et al., (1994).

Wörner *et al.* (2000, Fig. II.8.) descreveram as rochas do Cerro Uyarani como granulito máfico e granulitos félsicos, apresentando idades U/Pb em zircão, com cristalização em 2020±130 Ma e resfriamento de metamorfismo em 1157±60 Ma, uma idade Ar/Ar em hornblenda com um platô de 982±2 Ma e uma idade Sm-Nd a partir de isócronas minerais de 1008±16 Ma, interpretada como o arrefecimento de um pico metamórfico.

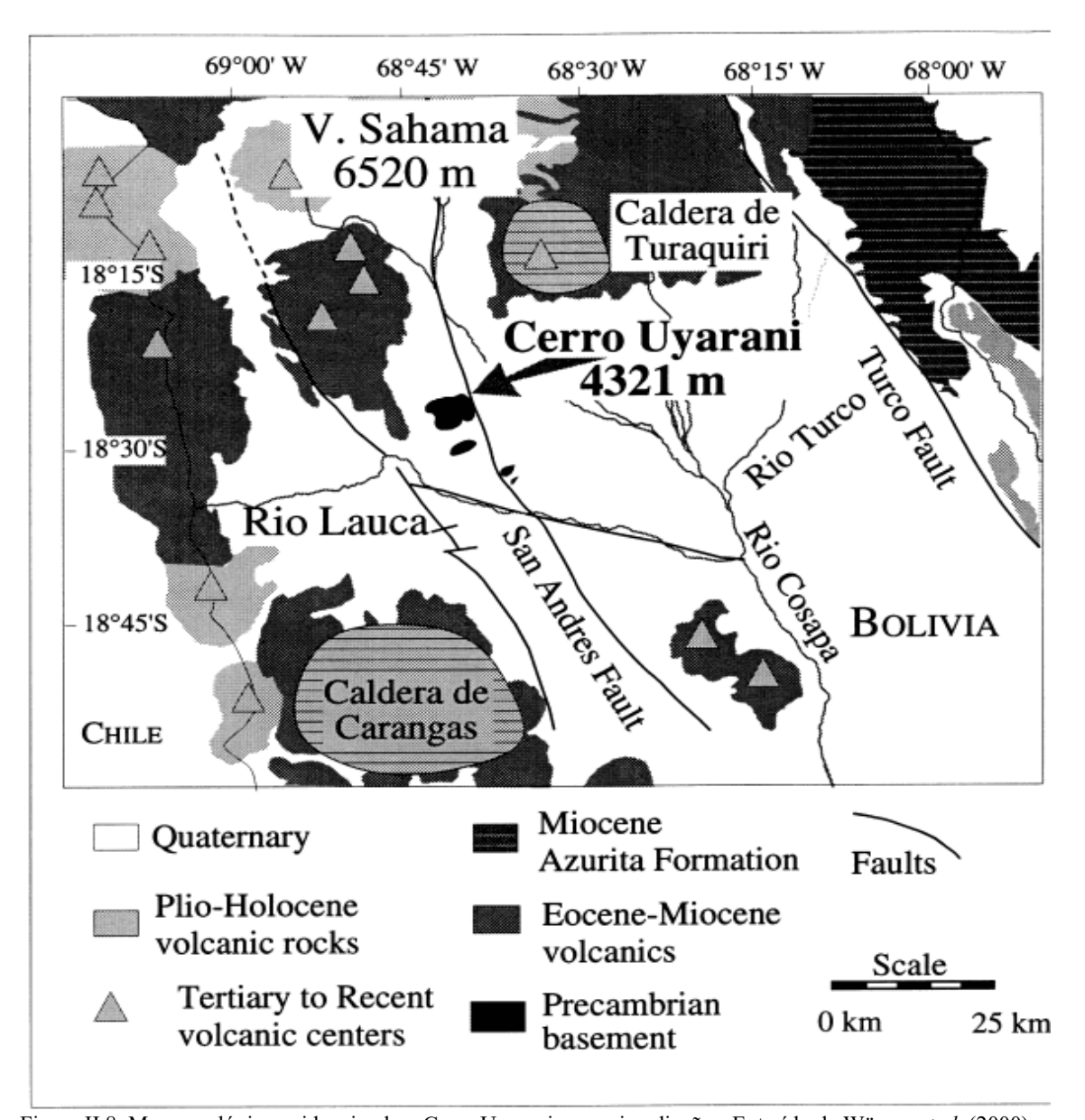


Figura II.8. Mapa geológico evidenciando o Cerro Uyarani e suas imediações. Extraído de Wörner et al. (2000).

Oliveira *et al.* (2015) demonstraram o caráter polideformado dessas rochas, indicando o registro de pelo menos três fases de deformação e duas fases de metamorfismo, que marcam a evolução tectônica pré-cambriana.

Buscando realizar uma síntese dos dados geocronológicos existentes para o Cerro Uyarani foi montada a Tabela II.1.com base nos resultados de Troeng *et al.* (1994) e Wörner *et al.* (2000).

Tabela II.1. Síntese dos dados geocronológicos já conhecidos das rochas do Cerro Uyarani a partir de Troeng et

Unidade	Litologia	Referências	U-Pb	Rb-Sr	Sm-Nd	Ar-Ar
Cerro Uyarani	Gnaisse cinza a vermelho com bandamento de níveis máficos de até 0.5 mm de espessura.	Troeng <i>et al</i> . (1994)		(15 amostras) Rocha Total 1859±200Ma		
	Charnockito, rocha de granulação média, maciça, com camadas sutis composta por quartzo, plagioclásio, k-feldspato, ortopiroxênio, magnetita, ilmenitahematita e biotita.	Wörner <i>et al.</i> (2000)	Cristalização 2020±130 Ma Resfriamento 1157±60 Ma		Isócronas minerais 1008±16 Ma	
	Anfibolito,rocha foliada com granulação fina, textura granoblástica, constituído por clinopiroxênio, plagioclásio, biotita, apatita e magnetita	Wörner <i>et al.</i> (2000)				Anfibólio Idade platô 982±2 Ma

Rochas granulíticas de idades paleoproterozoicas também podem ser encontradas no Cráton Amazônico, inseridas noTerreno Paraguá, que pertence à Província Rondoniana-San Ignácio, formando o Complexo Granulítico Lomas Manechis (Litherland *et al.*, 1986; Bettencourt *et al.*, 2010). Este complexo é formado por rochas ortoe paraderivadas com idade de cristalização de 1658±15 U-Pb em zircão (Matos *et al.*, 2013)geradas durante a Orogênese Lomas Manechis (Ruiz, 2009; Bettencourt *et al.*, 2010).

CAPÍTULO III

MATERIAIS E MÉTODOS

III.1. Materiais e métodos de pesquisa

III.1.1.Área de estudo

A região estudada situa-se na porção Oeste da Bolívia a aproximadamente 2.000 km de Cuiabá-MT. Com as coordenadas UTM 535070/7958469 em Datum WGS84.

A serra, denominada na Bolívia como Cerro Uyarani, encontra-se no departamento de Oruro, Província Sajama, município de Turco, próximo às Vilas Água Rica e Iru Pampa.

O acesso (Fig.III.1.) é realizado por via terrestre, partindo da capital do Estado de Mato Grosso, Cuiabá, pela rodovia federal BR-070,percorre-se 270 km até o município de Cáceres. Deste ponto continua-se pela BR-070 entrando à direita na rodovia estadual MT-388,percorre-seum trajeto de 102 km,atravessando a fronteira com a Bolívia, em que a rodovia passa a se chamar Rota 10, até chegar ao município de San Matías.

Percorre-se aproximadamente 288 Km até o município de San Rafael, tomando a rota 17 por 131 Km até São José de Chiquitos, a partir de então o percurso é feito pela Rota Nacional 4 por mais 273 km até o município de Santa Cruz de La Sierra e após 503 Km até Cochabamba, continuando por mais 215 Km, até chegar em Ouro pela Rota 12.

O trajeto até a área de estudo é feito a partir de Oruro, tomando a Rota 27 e depois estradas vicinais não asfaltadas que interligam as vilas da região.

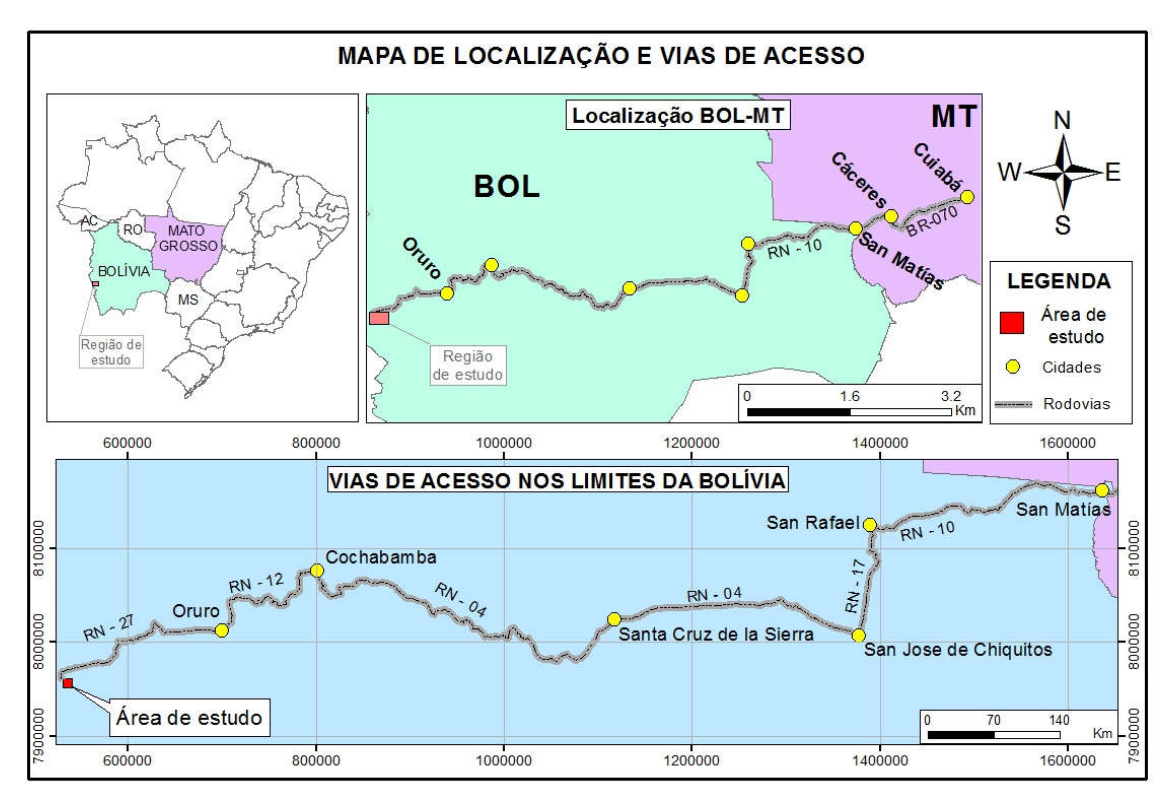


Figura III.1. Localização e vias de acesso desde Cuiabá até a área de estudo, no departamento de Oruro.

III.1.2 Métodos utilizados

A fim de alcançar os objetivos estabelecidos neste projeto de pesquisa realizou-se as seguintes etapas de trabalho:

III.1.2.1. Etapa Preliminar

Levantamento e estudo do acervo bibliográfico, seguido de interpretação geológica utilizandose de LANDSAT 8 (Land Remote SensingSatellite) e SRTM (Suttle Radar Topography Mission).Confecção de mapa geológico interpretativo preliminar e mapa-base em escala 1:50.000 e 1:25.000, que foram utilizados no trabalho de campo.

III. 1.2.2. Etapa de Coleta de Dados (Trabalhos de Campo)

Mapeamento geológico sistemático do Cerro Uyarani em escala 1:25.000com coleta de amostras de rocha para estudo petrográfico (descrição macroscópica e de seções delgadas), estudo litogeoquímico e geocronológico, coleta sistemática de dados estruturais para análise descritiva e cinemática dos eventos deformacionais.

III. 1.2.3. Etapa de Coleta de Dados (Trabalhos em Laboratório)

III. 1.2.3.1.Análises Petrográficas

Foram selecionadas amostras do granulito félsico e do granulito máfico para a confecção de 48 lâminas delgadas, preparadas no Laboratório de Laminação do Departamento de Recursos Minerais (DRM/UFMT). A partir da descrição petrográfica foi possível descrever detalhadamenteas rochas do Granulito Uyarani em relação à composição mineralógica, feições texturaise estruturais.

III. 1.2.3.2. Análises Litogeoquímicas

Foi determinada a composição química (elementos maiores, menores, traços e terras-raras) em rocha total (RT). Os resultados foram empregados na interpretação da filiação geoquímica e na discriminação do ambiente tectônico gerador das rochas. As amostras foram britadas, moídas e pulverizadas no Laboratório de Preparação de Amostras Geoquímica – LAMUTA, na Faculdade de Geociências (FAGEO/UFMT). Posteriormente foram enviadas para o Laboratório Bureau Veritas Commodities Canada Ltd. em Vancouver, Canadá.

III. 1.2.3.3. Análise Geocronológica (U-Pb SHRIMPem zircão)

Com a finalidade de identificar a idade de cristalização do Granulito foi selecionada a amostra UY1337 de granulito félsico para a realização de análise geocronológica, processadas no LaboratórioIntermediário de Preparação de Amostras para Geocronologia do DRM/UFMT e foram separados 100 grãos de zircão para realização de análise U-Pb.

Segundo Geraldes (2010) o sistema U-Th-Pb é um método tradicional utilizado para fornecer idades radiométricas que vem passando por aprimoramentos significativos resultando em análises cada vez mais precisas.

O U apresenta três isótopos naturais radioativos, são estes, o 238 U com uma abundância de 99.2743%, meia vida de $4.468X10^9$ e taxa de decaimento $\lambda = 1.55125 \text{ x } 10^{-10}$; o 235 U com uma abundância de 0,7200%, meia vida de $0.703x10^{-9}$ e taxa de decaimento de 9,8485 x 10^{-10} , já o 234 U tem 0,0057% de abundância, $2.47x10^9$ de meia vida e taxa de decaimento $\lambda = 2.806 \text{ x } 10^{-6}$. O Th existe de forma primária como um único isótopo radioativo, o 232 Th com abundância de 100,00%, meia vida de $14.01x10^9$ e taxa de decaimento de $\lambda = 4,9475 \text{ x} 10^{-10}$.

O princípio deste método se baseia no decaimento de U e Th para isótopos estáveis de Pb. Este sistema U-Th-Pb gera três séries de decaimento independentes, o elemento radioativo da primeira série, 238 U, produz 206 Pb pela emissão de 8 partículas α 6 partículas β 8. Já o decaimento do isótopo radioativo 235 U gera 207 Pb pela emissão de 7 partículas α 4 partículas β 8. Finalmente o 232 Th isótopo radioativo da terceira série de decaimento suscita no isótopo estável 208 Pbpela emissão de 6 partículas α 4 partículas β 8.

Cada uma dessas séries pode ser aplicada como um sistema de datação independente, se consideramos o decaimento dos isótopos de U e Th radioativos ocorrendo diretamente para os respectivos isótopos radiogênicos de Pb. Uma vez reconhecida asdistintas constantes de decaimento pode se considerar para o cálculo das idades a abundância do isótopo radiogênico e radioativo.

A partir de cálculos matemáticos específicos são gerados isócronas que fornecem inclinações que permitem o cálculo da idade de um grupo de amostras, porém em geral as isócronas U-Pb não apresentam resultados precisos, já que podem ocorrer perdas ou ganhos de U, Th e Pb.

Buscando obter melhores resultados foi criado o diagrama concórdia, neste diagrama existe uma curva chamada concórdia e uma reta chamada discórdia, a concórdia é formada por idades padrão considerando um sistema totalmente fechado e a discórdia é formada pelas idades obtidas na análise realizada, com os ganhos e/ou perda de elementos.

Existem dois pontos analíticos em que a concórdia coincide com a discórdia, o intercepto superior e o intercepto inferior, interpretados como idade de cristalização e idade do evento metamórfico.

A técnica utilizada para datação U-Pb deste trabalho foi por Microssonda Iônica por meio do equipamento SHRIMP (*Sensitive High Resolution Íon Micro Probe*) em zircão. Esta técnica fornece análises *insitu* da superfície do mineral e é ideal para zircão por evitar problemas com zircões zonados na preparação química do grão e não éum método destrutivo.

A amostra é atingida com um feixe de íons de até 20µm de diâmetro focado em um ponto do mineral e essa fração volatizada do mineral é eletrostaticamente ionizada e enviada para um espectrômetro de massa de duplo foco.

A utilização do SHRIMP tem a desvantagem de ser menos preciso que o método convencional, porém além da vantagem da rapidez, com análises em até 20 minutos, possui a vantagem das idades não serem prejudicadas pelo zoneamento do zircão.

Quanto ao mineral escolhido, o zircão (ZrSiO₄), é o mais utilizado por ser um mineral comum nas rochas, encontrado em abundância. Alem disso o zircão aceita facilmente a entrada de U em seu retículo cristalino, substituindo o Zr, porém não aceita com facilidade a entrada de Pb comum, admitindo-se que praticamente todo Pb existente nesse mineral seja por decaimento de U e Th.

O zircão também é um mineral resistente ao intemperismo com pouca perda de Pb nesses casos e com temperatura de bloqueio de 800°C.

III. 1.2.4. Etapa de Tratamento e Sistematização dos Dados Obtidos

Tratamento dos dados estruturais com emprego do softwareOpenStereo; elaboração ilustrações e gráficos utilizando-se dos softwaresCorelDraw X6; tratamento dos dados isotópicos com

emprego do softwareIsoplotEx; tratamento dos dados de química de rocha com a utilização dos softwareGCDkit 2.3; elaboração de um banco de dados relacionado empregando-se o softwareArcMap 10.1 e elaboração do mapa geológico, utilizando-se do softwareArcMap 10.1.

III. 1.2.5. Etapa de Conclusão e Divulgação dos Resultados

Participação em Eventos de Divulgação Científica (Simpósios e Congressos); publicação do artigo em periódico especializado, de circulação nacional, qualificação, elaboração da dissertação de mestradoe apresentação da dissertação do trabalho de mestrado.

CAPÍTULO IV

RESULTADOS E DISCUSSÃO

IV.1. Resultados

IV.1.1. Geologia e petrografia

Neste trabalho iremos utilizar o termo geográfico Cerro Uyarani para tratar da exposição geográfica, considerando todas as litologias presentes na Serra e o termo geológico Granulito Uyarani para definir o conjunto de granulitos que forma esta Serra. Os estudos acerca das rochas do Granulito Uyarani foram realizados através de uma interpretação inicial de imagem de satélite, seguido de mapeamento em escala 1:25.000 com obtenção de dados geológicos, estruturais e amostras para petrografia, geoquímica e gecronologia.

Através da interpretação dos dados obtidos foi possível a confecção do mapa geológico e estrutural do Cerro Uyarani (Fig. IV. 1.) com a utilização do software ArcMap 10.2.1.

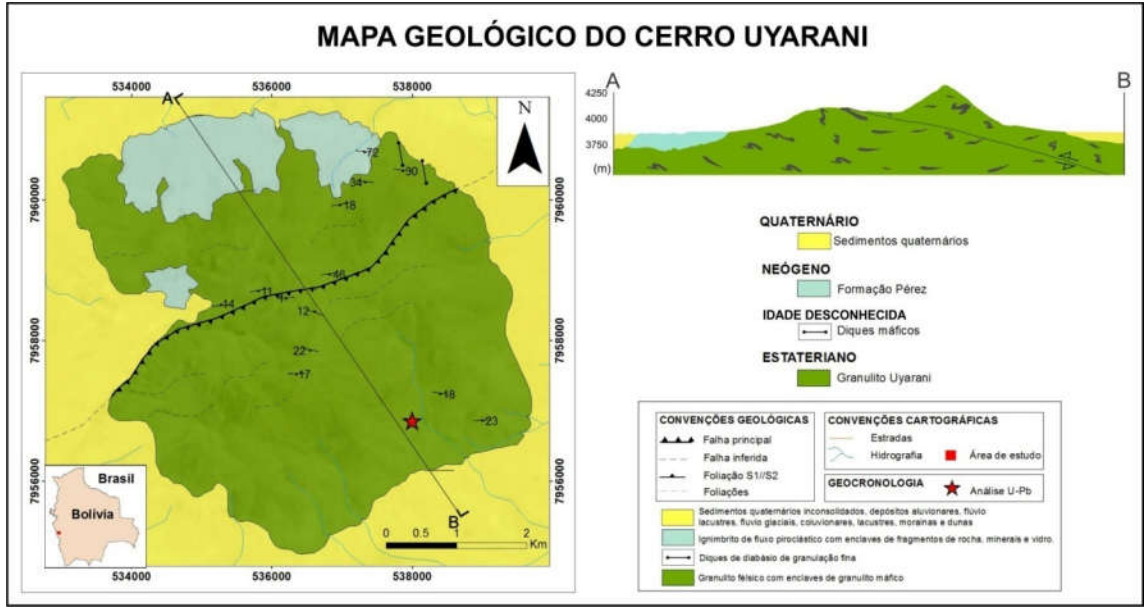
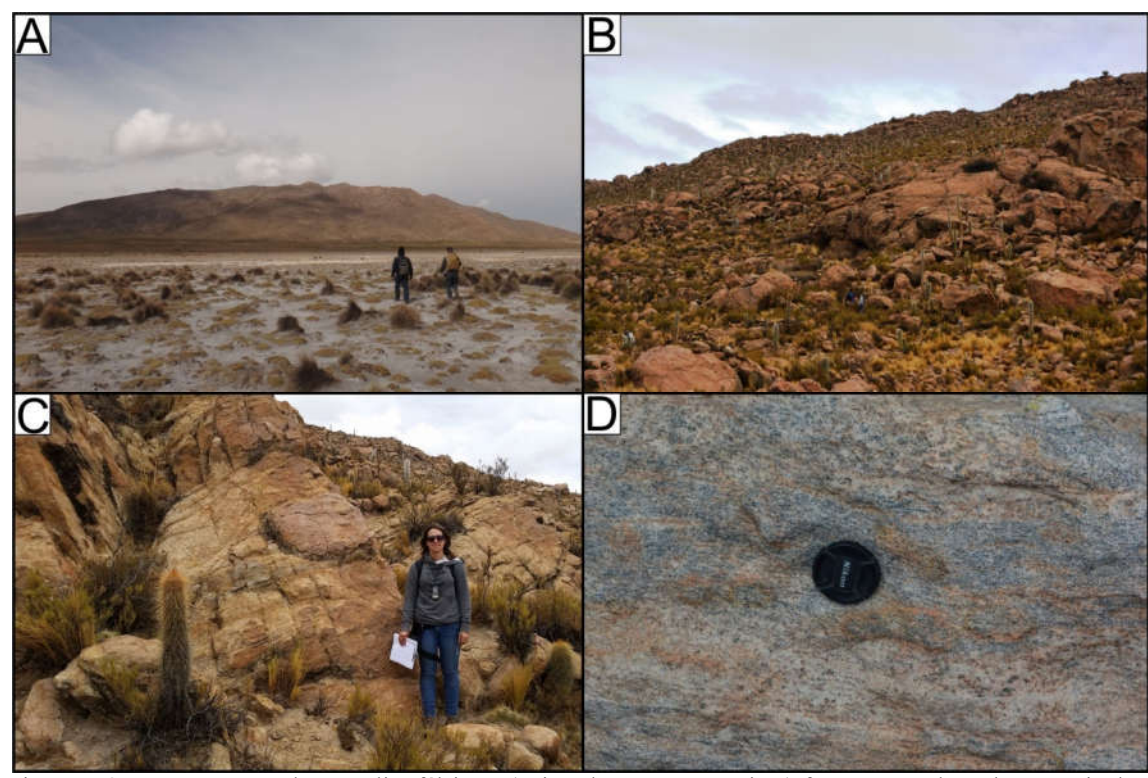


Figura IV.1. Mapa geológico do Granulito Uyarani, com perfil esquemático AB mostrando as principais estruturas existentes e localização dos pontos de amostragem da análise U-Pb.

O Granulito Uyarani é constituído por rochas granulíticas, parcialmente recoberto por rochas vulcanoclásticas e por sedimentos quaternários inconsolidados, eólicos e lacustres.

Dois tipos de granulitos foram identificados, o Granulito félsico ocorre em matacões, lajes e blocos e apresenta um bandamento descontínuo (Fig. IV.2.) e outro granulito é máfico e ocorre como enclaves no primeiro, denominados granulito máfico.



FiguraIV.2. Representação do granulito félsico. A)Vista da Serra Uyarani; B) foto mostrando a abrangência dos afloramentos de granulito félsico; C) principal forma de ocorrência, em blocos, do granulito félsico; D) figura evidenciando o bandamento descontínuo do granulito félsico.

Os enclaves (Fig. IV.3.) são de dimensões centimétricas a métricas, apresentando-se dobrados com boudinage e morfologia variável entre alongados, arredondados e sigmoidais, sendo também observadas porções pegmatíticas.

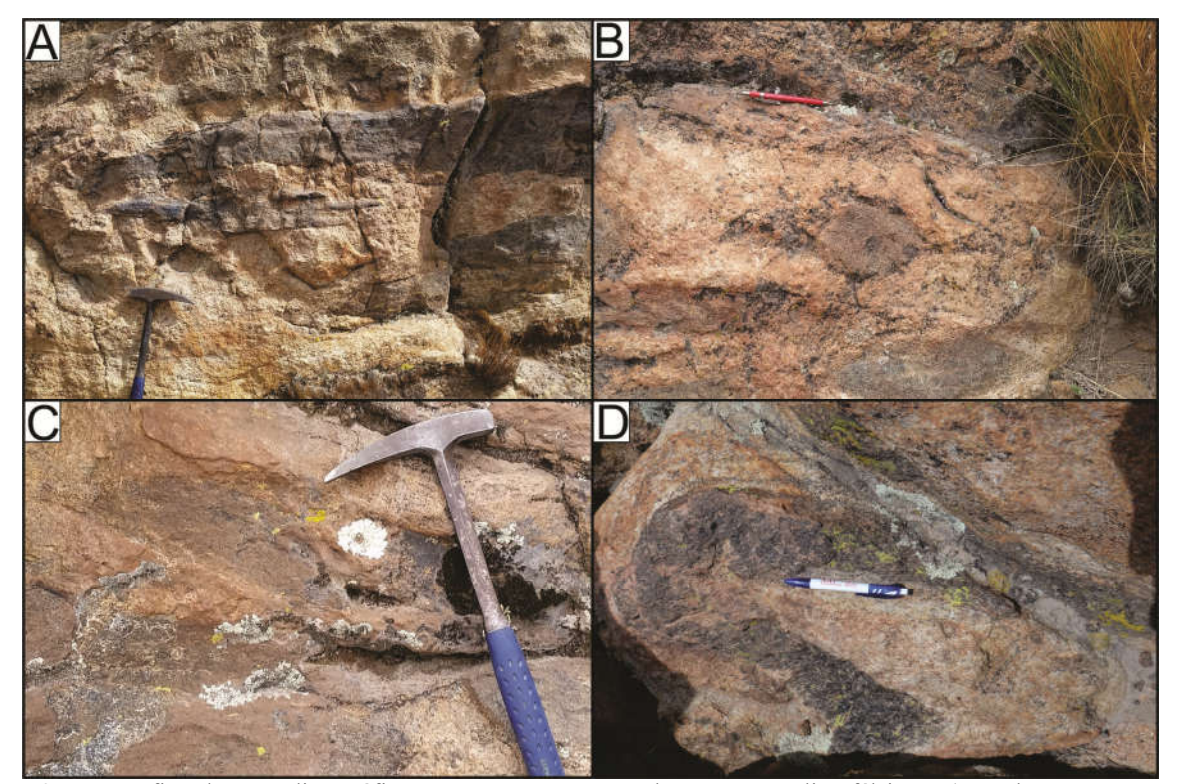


Figura IV.3. Fotografias do granulito máfico que ocorre como enclave no granulito félsico. A) Enclaves alongados, orientados segundo a foliação; B) enclave arredondado, rotacionado apresentando sombra de pressão; C) enclave com formado sigmoidal; D) granulito máfico dobrado.

Na porção N e NW do Granulito Uyarani, encontram-se rochas piroclásticas formadas por fluxo de púmice de cor cinza-clara com diversos clastos de fragmentos de rocha, minerais e vidro, bem como vacúolos por escape de gás, correspondendo a um Ignimbrito Pliocênico da Formação Pérez (Troëng *et al.*, 1994, Fig. IV.4.), que cobre parcialmente os granulitos, em contato discordante.

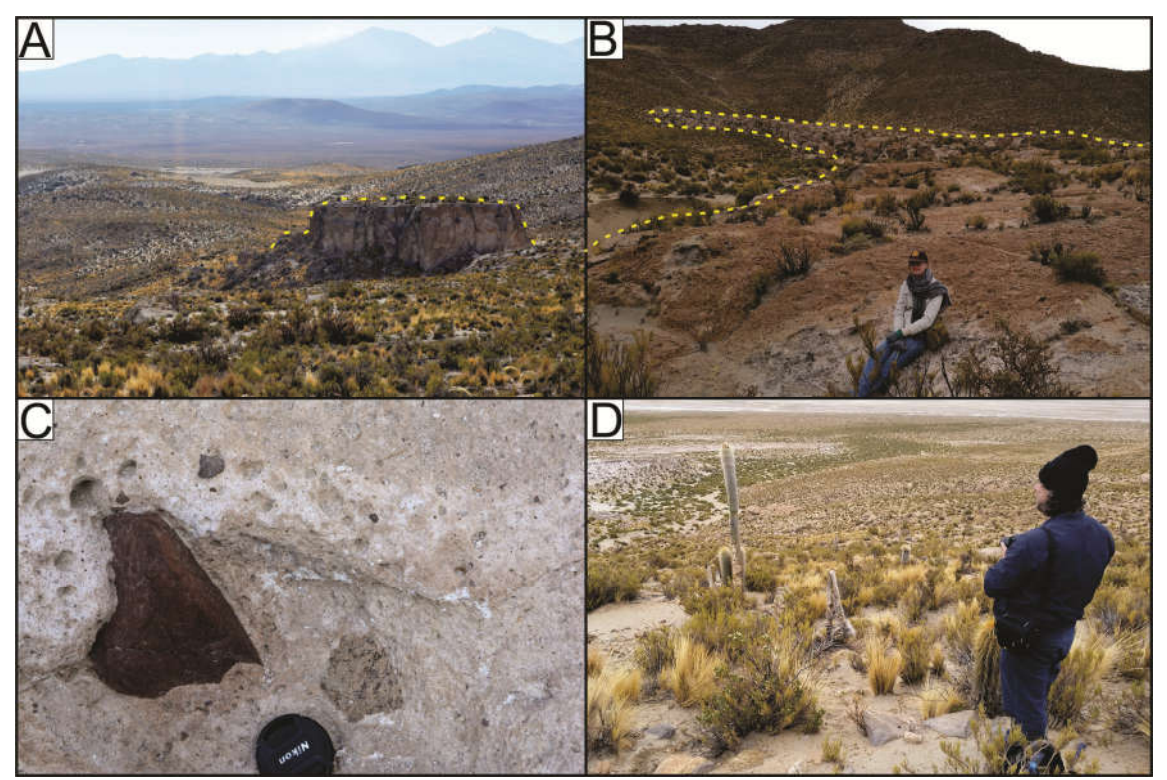
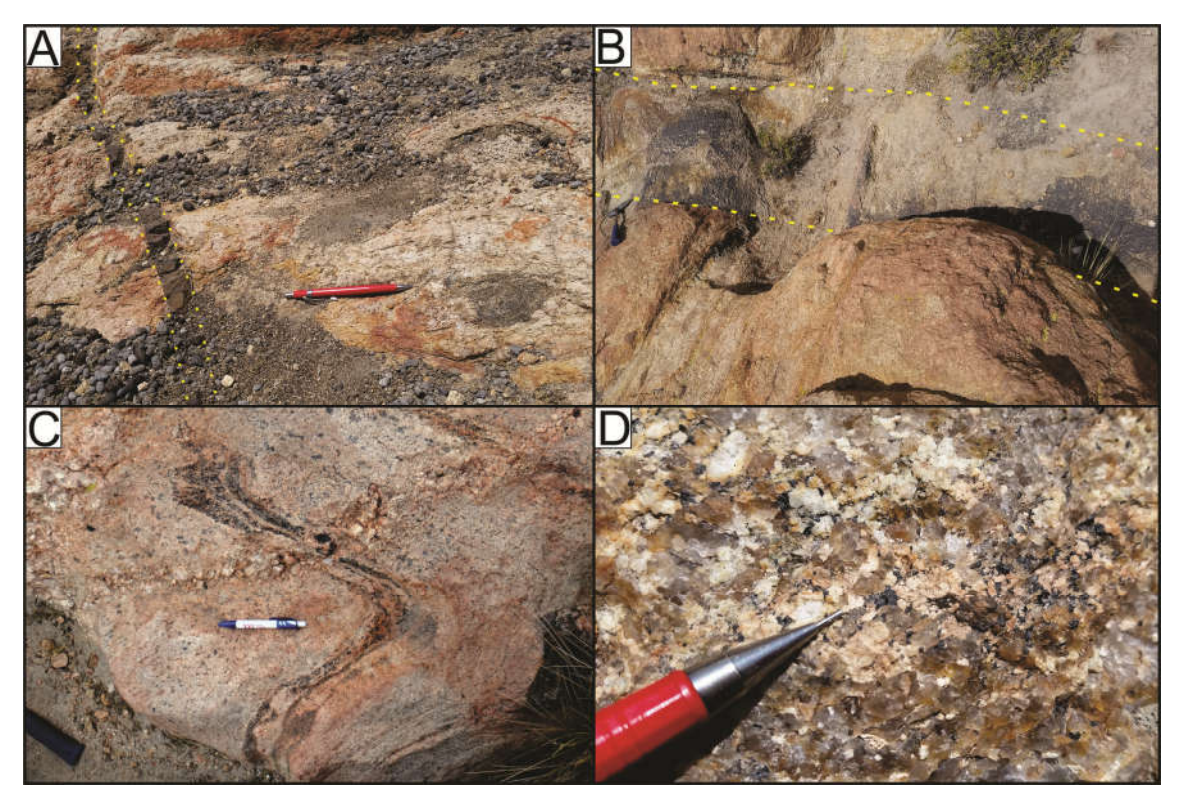


Figura IV.4. As imagens representando o ignimbrito (Formação Perez) e a cobertura sedimentar. A) Forma de ocorrência do ignimbrito; B) ignimbrito cobrindo parcialmente as rochas do Granulito Uyarani C) fotografia aproximada do ignimbrito mostrando os enclaves de pedaços de rocha e vacúolos; D) sedimentos inconsolidados em meio a alguns blocos de granulitos.

Encontram-se ainda diques máficos de composição basáltica e granulação muito fina de larguras centimétricas a métricas e diques félsicos de granulação fina a pegmatítica, compostos por quartzo, feldspato alcalino e magnetita (Fig IV.5.).



FiguraIV.5. Diques máficos e félsicos que cortam as rochas do Granulito Uyarani. A) Dique máfico fino cortando o granulito félsico e ao lado de um enclave arredondado de granulito máfico B) dique máfico de aproximadamente 1.2 m. de largura; C) Dique félsico pegmatítico cortando as rochas do Granulito Uyarani; D) Imagem aproximada do dique félsico, de granulação fina a média, mostrando os minerais que o compõe.

IV. 1.1.1. Granulito félsico

O granulito félsico apresenta granulação média e um bandamento descontínuo de bandas félsicas e máficas de cores, respectivamente cinza-rosada e cinza, ocorrendo uma variação grande na porcentagem dos minerais entre as porções com mais minerais félsicos e as porções com quantidade maior de minerais máficos. A banda félsica é formada principalmente por feldspato alcalino, plagioclásio e quartzo com níveis finos de piroxênio, anfibólio e biotita (Fig. IV.6.A, IV.6.B); enquanto a banda máfica constitui-se de intercalações de leitos formados por anfibólio e piroxênio e níveis subordinados quartzo-feldspático (Fig. IV.6.C, IV.6.D).

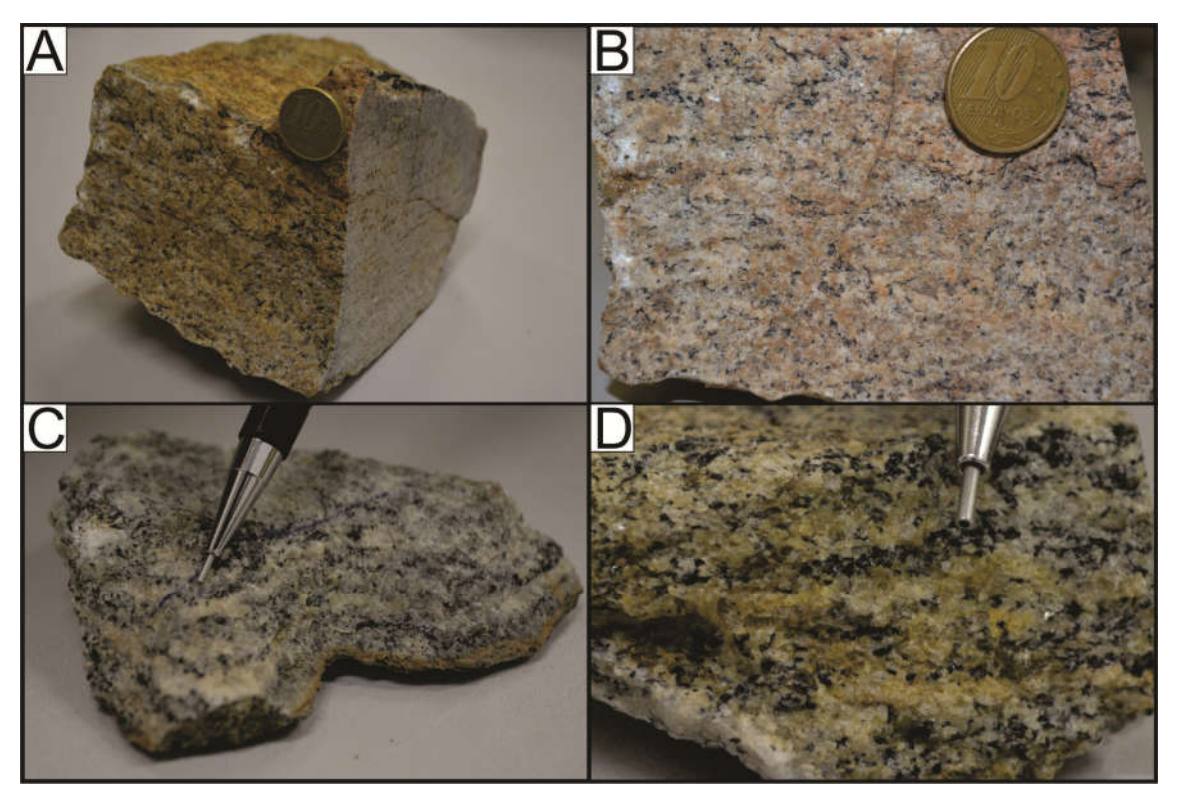


Figura IV.6. Amostras de mão do granulito félsico. A) Banda félsica do granulito félsico; B) detalhe das intercalações de níveis claros e escuros; C) banda máfica do granulito félsico com maior porcentagem de minerais máficos em relação à banda félsica; D) detalhe da banda máfica.

Microscopicamente, o granulito félsico apresenta texturas granoblástica e nematoblástica, expressas pela disposição orientada de, principalmente, grãos quartzo-feldspáticos e cristais de piroxênio e anfibólio. Esta rocha apresenta um bandamento descontínuo, nas bandas mais félsicas (Fig. IV. 7.) existe uma porcentagem menor dos minerais máficos e nas bandas máficas (Fig. IV.8) o contrário, porém a mineralogia é a mesma. A mineralogia principal é composta por feldspato alcalino, quartzo, plagioclásio, piroxênio, anfibólio e biotita; enquanto os minerais de alteração e acessórios estão representados por biotita, clorita, sericita e anfibólio da série actinolita-tremolita, carbonatos, argilominerais, óxido/hidróxido de Fe (opacos), zircão, apatita e granada e ocorrem texturas do tipo pertita no feldspato alcalino e mirmequita no plagioclásio.

O feldspato alcalino representa de 20% a 40% da rocha, tem dimensões de 0,5 a 1,5 mm. É incolor, com cor de interferência cinza de primeira ordem. Apresenta textura pertítica, característica de fácies granulito, a alteração varia de fraca a forte para sericita cinza e os grãos estão subédricos a anédricos, com o formato granular, afetado pela textura.

O quartzo varia entre 20% a 50 % do granulito félsico, possui tamanho entre 0,3 e 1,8 mm. Tem hábito granular, é incolor, apresenta em algumas seções extinção ondulante, sem alteração e com sinal óptico uniaxial positivo diagnóstico. Também ocorre como vênulas milimétricas.

O plagioclásio perfaz 10% a 45% da rocha e sua dimensão varia entre 0,2 a 1,5 mm. Foi reconhecido como andesina e oligoclásio através do método Michel-Lévy, é incolor, com cor de interferência geralmente cinza e os grãos estão subédricos a anédricos, com o formato tabular a granular, afetado pela textura granoblástica. Exibe macla polissintética e raramente carlsbad e por vezes textura mirmequítica. Os processos de alteração geram calcita, sericita e saussurita (fino agregado de epidoto, albita e sericita).

Foram reconhecidos dois tipos de piroxênio, um ortopiroxênio definido como hiperstênio e um clinopiroxênio descrito como diopsídio, a presença desses dois minerais é comum para rochas granulíticas, sendo o hiperstênio mais abundante no granulito félsico do que o diopsídio. O piroxênio está comumente associado nesta rocha com outros minerais máficos, hornblenda e biota principalmente, formando níveis.

O hiperstênio varia de 3% na banda félsica do granulito félsico e chega a 10% na banda máfica. Varia de 0,2 a 0,8 mm de tamanho, possui pleocroismo variando entre marrom e laranja e hábito granular, muitas vezes englobando grãos de quartzo. Os processos de alteração que ocorrem neste mineral produzem clorita e epidoto.

O diopsídio ocorre em pequena porcentagem no granulito félsico, de 0 até 5% e tem 0,4 a 1,5 mm de dimensão. Apresenta cor verde acastanhado, porém quando muito alterado torna-se incolor. O hábito é granular, anédrico e com alteração do tipo uralitização para actinolita-tremolita nas bordas e nos planos de clivagem.

O anfibólio principal foi definido como hornblenda e totaliza 5% a 15% do granulito félsico, faz parte de níveis máficos que ocorrem na rocha e a dimensão varia de 0,2 a 1,0 mm. O hábito é tabular a granular, com pleocroismo variando de verde escuro a castanho e apresenta clivagem característica. As alterações são para biotita, clorita, carbonato e epidoto e é possível ver inclusões de plagioclásio.

A biotita ocorre como mineral principal e como alteração da hornblenda. A biotita da paragênese principal representa até 3% do granulito félsico, possui 0,5 a 1,8 mm de comprimento, com hábito tabular e por vezes simplectítico com o plagioclásio. A cor é marrom escuro, mostra lamelas típicas de mica e por vezes apresenta alteração para clorita ou sericita.

Os seguintes minerais alcançam baixas porcentagens no granulito félsico, chegando a 2% como um todo. Os carbonatos ocorrem como alteração da hornblenda e também como vênulas cortando a rocha, os argilominerais como produto de alteração dos plagioclásios e os grãos de zircão estão inclusos em diversos minerais do granulito félsico.

A apatita ocorre em grãos arredondados de até 0,1 mm, a titanita ocorre associada a granada e hornblenda tendo ate 0,7 mm, a granada foi definida como da série piralspita, característica de

granulito, com cor laranja, hábito granular, incluindo plagioclásio e com até 8,0 mm, também ocorre comumente opacos.

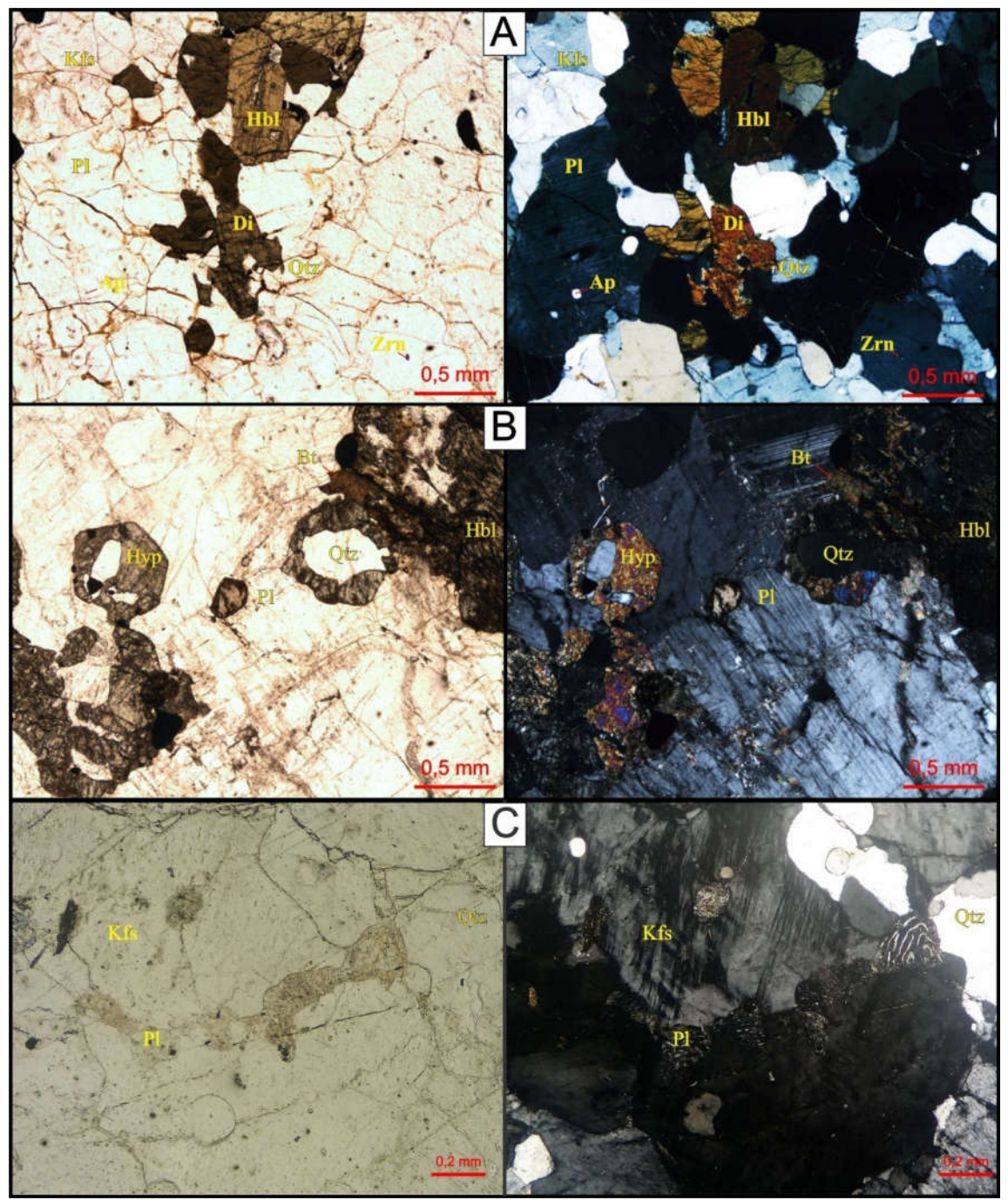


Figura IV.7. Fotomicrografías da banda félsica do granulito félsico, polarizadores paralelos à esquerda e cruzados à direita. A) Felspato alcalino pertítico, plagioclásio, hornblenda e diopsídio gerando textura granoblástica; B) hiperstênio envolvendo quartzo e associação de hornblenda e biotita, saussuritização do plagioclásio e calcita formando vênulas; C) representação do plagioclásio com textura mirmequítica.

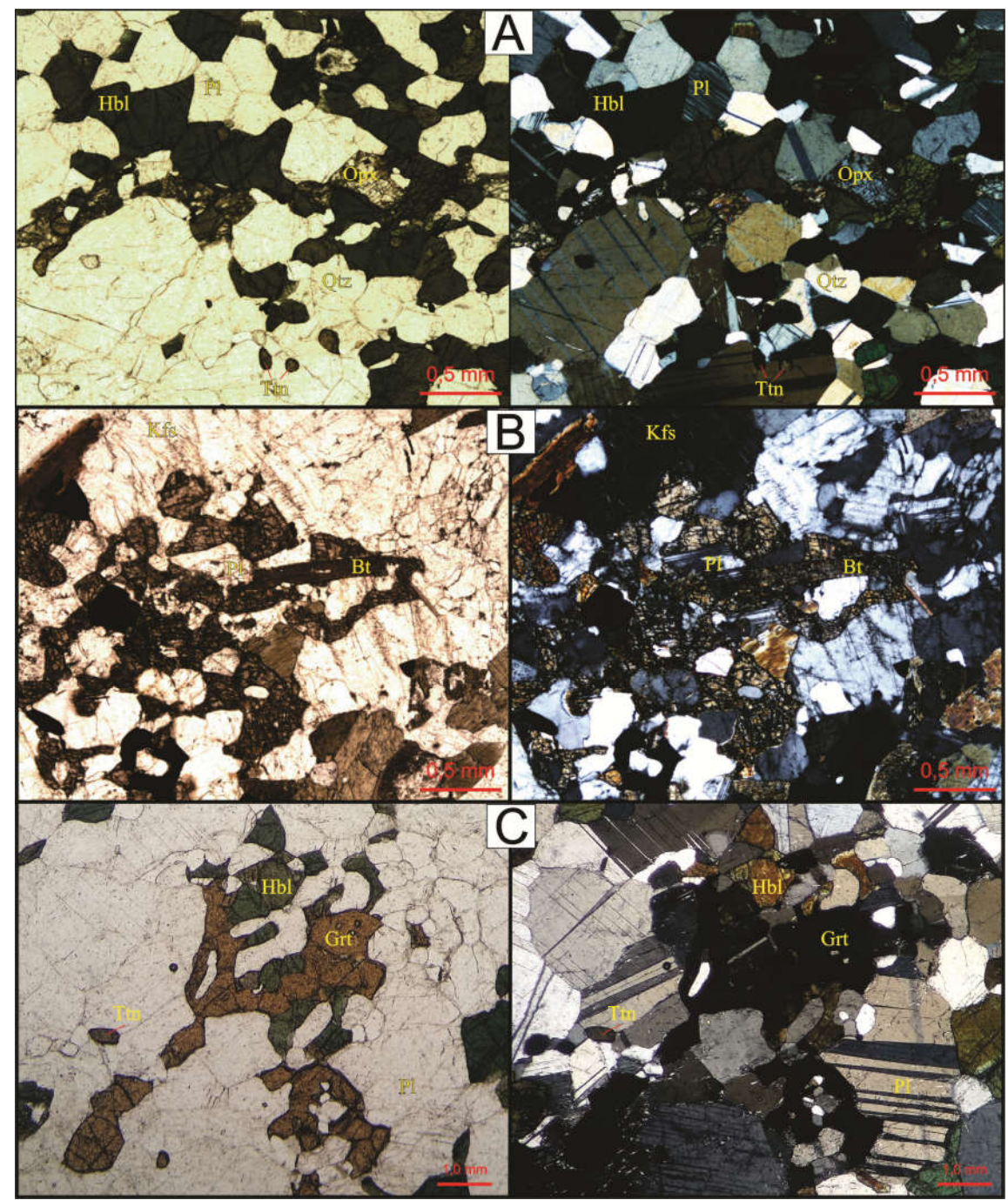


Figura IV.8. Fotomicrografias da banda máfica do granulito félsico com polarizadores paralelos à esquerda e cruzados à direita. A) Detalhe de nível máfico com hornblenda dominante e peresença de ortopiroxênio (hiperstênio), plagioclásio, quartzo e titanita; B) detalhe da banda máfica com ortopiroxênio dominando.

IV. 1.1.2. Granulito máfico (enclave)

O granulito máfico é cinza-escuro, de granulação variando desde fina até grossa, constituído por hornblenda, plagioclásio e raro quartzo (Fig. IV.9).

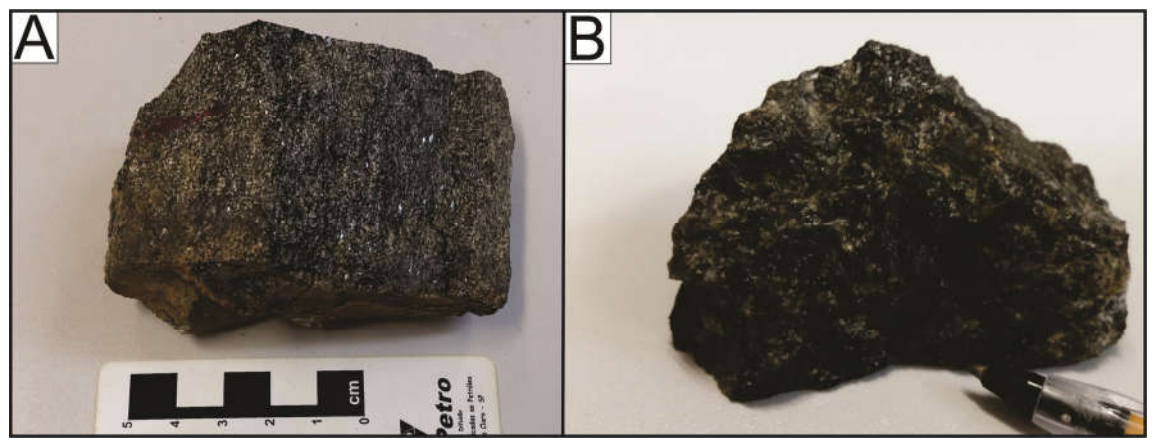


Figura IV.9. Amostras do granulito máfico de cor cinza-escuro composto por anfibólio, piroxênio, plagioclásio e raro quartzo. A) Amostra ilustrando granulação fina e orientação; B) amostra granulação grossa.

O granulito máfico (Fig. IV.10.) apresenta textura granoblástica e por vezes nematoblástica. É constituído por agregados e níveis de piroxênio, hornblenda, plagioclásio e raros grãos de quartzo, tendo clorita, sericita, talco, actinolita-tremolita e argilominerais como minerais de alteração e apatita, zircão e opacos como acessórios (Fig. IV.11). Foram reconhecidos dois tipos de piroxênio, um ortopiroxênio definido como hiperstênio e um clinopiroxênio descrito como diopsídio, a presença desses dois minerais é comum para rochas granulíticas, sendo o hiperstênio mais abundante do que o diopsídio.

O hiperstênio perfaz 60% do granulito máfico, de 0,4 a 2,0 mm de tamanho, possui pleocroismo variando entre marrom e laranja e hábito granular, muitas vezes englobando grãos de quartzo. O processo de alteração que ocorre neste mineral produz clorita e talco. O diopsídio ocorre em pequena porcentagem, até 3% e chega a 1,5 mm de dimensão. Alguns têm cor verde acastanhado e outros incolores, hábito granular, anédrico com alteração do tipo uralitização para actinolita-tremolita nas bordas e nos planos de clivagem. O anfibólio foi definido como hornblenda e totaliza 20% do granulito máfico, a dimensão varia de 0,6 a 2,7 mm. O hábito é tabular a granular, com pleocroismo variando de verde escuro a castanho e apresenta clivagem característica. As alterações são para clorita.

O plagioclásio perfaz 15% da rocha e sua dimensão varia entre 0,9 a 1,7 mm. Foi reconhecido como andesina pelo método estatístico Michel-Lévy, é incolor, com cor de interferência geralmente cinza e os grãos estão subédricos a anédricos, com o formato tabular a granular. A macla é polissintéticae os processos de alteração geram sericita e argilominerais.O quartzo é raro chegando a 1% do granulito máfico, possui tamanho entre 0,3 e 0,8 mm. Tem hábito granular, é incolor, apresenta em algumas seções extinção ondulante, sem alteração e com sinal óptico uniaxial positivo diagnóstico. Os seguintes minerais alcançam baixas porcentagens no granulito félsico, chegando a 1% como um todo. A apatita ocorre em grãos arredondados de até 0,2 mm, o zircão é raro e está incluso no plagioclásio e hornblenda e os opacos ocorrem dispersos na lâmina como um todo.

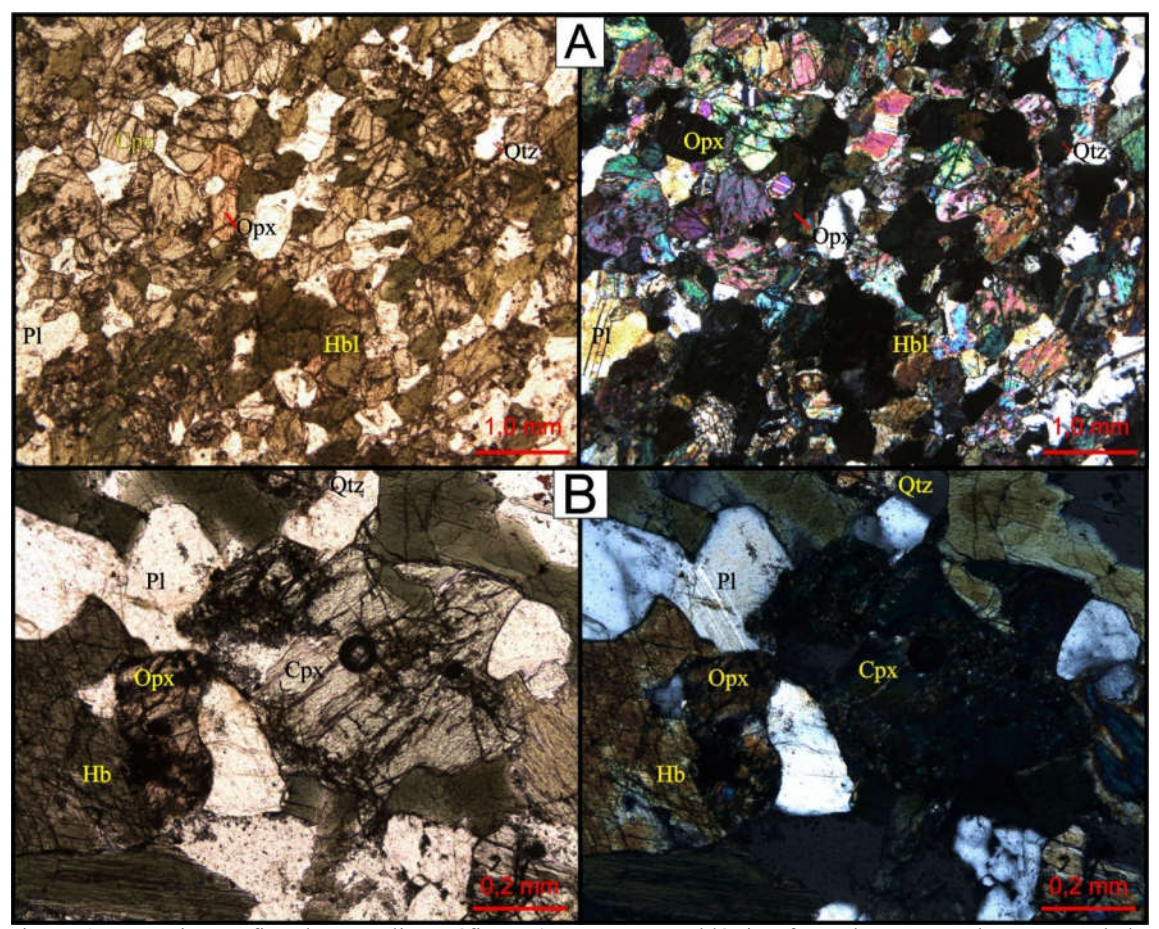


Figura 9. Fotomicrografias do granulito máfico. A) textura granoblástica formada por grande percentual de piroxênio (principalmente hiperstênio) e hornblenda e raros cristais de plagioclásio (andesina) e quartzo; B) fotomicrografia aproximada mostrando a existência do ortopiroxênio (hipertênio) e clinopiroxênio (diopsídio). Polarizadores paralelos à esquerda e cruzados à direita.

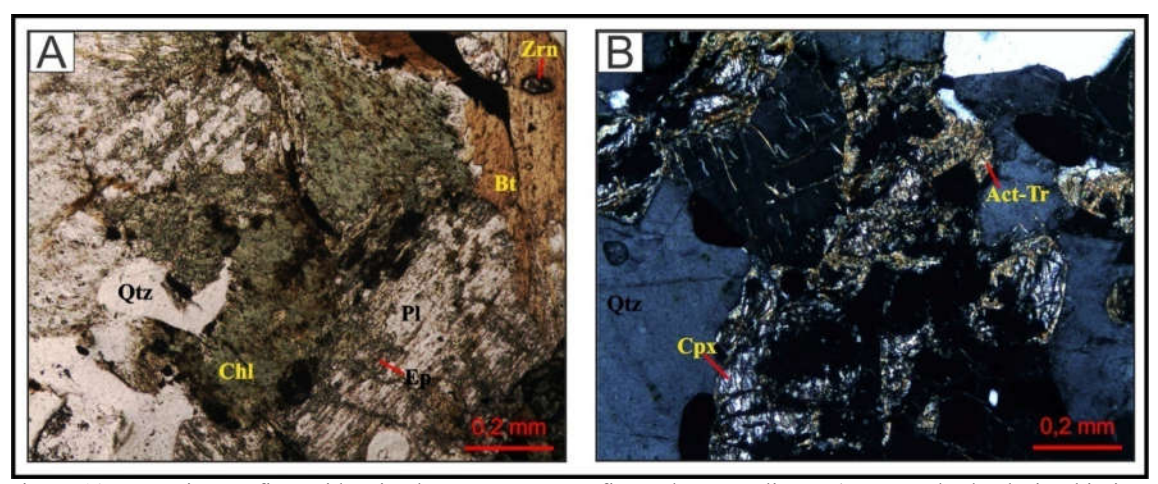


Figura 10. Fotomicrografias evidenciando o retrometamorfismo dos granulitos. A) Agregado de clorita, biotita, epidoto e sericita; B) diopsídio parcialmente substituído por actinolita-tremolita. Polarizadores paralelos em (A) e cruzados em (B).

CAPÍTULO V

CONCLUSÃO

V. 1. Discussões e conclusões

O embasamento pré-andino, na cordilheira dosAndes bolivianos, é formado por terrenos précambrianos expostos em janelas estruturais, sendo o Granulito Uyarani uma ocorrência dessa natureza no Altiplano Andino, na porção oeste da Bolívia. Trata-se de uma exposição em uma serra de pequeno porte, com extensão em torno de 32 km². No mapa de Troeng *et al.* (1994) percebe-se que uma pequena porção do Granulito Uyarani é deslocada para Sul pela Falha de San Andres, e esta unidade encontra-se parcialmente recoberta ao N e NW pelo ignimbrito da Formação Pérez (Troëng *et al.*, 1994). Este ignimbrito apresenta-se como uma rocha piroclástica formada por fluxo de púmice de cor cinza-clara, com diversos clastos de fragmentos de rocha, minerais e vidro, bem como vacúolos por escape de gás, que cobre parcialmente os granulitos, em contato discordante.

As rochas do Granulito Uyarani, unidade estratigráfica definida neste trabalho, são divididas, petrograficamente, em granulitos félsicos dominantes e granulitos máficos que ocorrem em enclaves de até 5 metros de comprimento constituindo grande volume ao longo de todo o corpo.

É possível nomear detalhadamente os granulitos, usando o nome raiz e a respectiva mineralogia. A banda félsica do granulito félsico pode ser denominada de biotita-hiperstênio granulito e a banda máfica de hiperstênio±hornblenda granulito e o granulito máfico recebe o nome de hornblenda-hiperstênio granulito.

Diques máficos de composição basáltica e granulação muito fina de larguras centimétricas a métricas e diques félsicos de granulação fina a pegmatítica, compostos por quartzo, feldspato alcalino e magnetita cortam as rochas do Granulito Uyarani. Os diques félsicos são originários do protólito ígneo do granulito félsico, já os diques máficos são associados ao vulcanismo Andino recente que ocorre na região.

A análise estrutural demonstra o caráter polideformado das rochas do Granulito Uyarani, com registro de pelo menos de três fases de deformação F1 (bandamento S1), F2 (xistosidade S2, superimposta ao bandamento S1, e dobras recumbentes D2) e F3 (dobras abertas D3), bem como, a existência de tectônica rúptil marcada por fraturas e falhas coincidentes com a orientação da terceira fase de deformação. As duas primeiras fases deformacionais são atribuídas à evolução estrutural précambriana, sendo a F2 vinculada a Orogenia Sunsás, conforme idades Ar-Ar e Sm-Nd discutidas a seguir. Possivelmente, as dobras abertas e falhas reversas descritas na fase F3 sejam manifestações tectônicas relacionadas à evolução do Cinturão Andino.

Duas paragêneses metamórficas, M1 e M2, são atribuídas a estas rochas. A M1 é relacionada à primeira fase de deformação, fase F1, responsável pelo desenvolvimento dobandamento gnáissico, alcançando condições metamórficas de fácies granulito para o conjunto de rochas máficas e félsicas, com geração de silicatos ferromagnesianos, dominantemente desitratados (orto e clinopiroxênio), a presença de feldspatos e ausência de muscovita primária é imprescindível. Durante a fase de deformação F2, desenvolve-se uma foliação S2 plano-axial à D2 e paragênese metamórfica M2, com neoformação de biotita, clorita, sericita, epidoto, anfibólio (actinolita-tremolita) e calcita, caracterizando retrometamorfismo para fácies xisto verde. A deformação F3 é posterior e, aparentemente, não está vinculada a metamorfismo, sendo apenas marcada por estruturas rasas, que devem estar associadas à tectônica andina.

As assinaturas químicas do granulito félsico revelam que o protólito foi gerado por um magmatismo cálcio-alcalino, metaluminoso a peraluminoso, magnesiano; enquanto o estudo geoquímico dos enclaves de granulito máfico mostra a existência de um magma básico associado. A geologia, petrografía e geoquímica em conjunto sugere um ambiente convergente, de arco magmático com a ocorrência de mistura de magmas.

As idades de cristalização do granulito félsico disponíveis na literatura são contraditórias e têm erros elevados, 1859±200 Ma (Troeng et al.,1994) e 2020±130 Ma (Wörner et al., 2000) obtidas, respectivamente, pelos métodos Rb/Sr, em rocha total e U/Pb, em zircão. A análise U/Pb (SHRIMP) em zircão, obtida nesse trabalho, revelou uma idade de cristalização de 1736 ±5.1 Ma do granulito félsico considerada como a mais adequada para essas rochas devido aos valores semelhantes do intercepto superior e idade concórdia e natureza magmática dos zircões, sugeridas pelas razões Th/U de 0,30 a 0,92. Não foi possível obter a idade do granulito máfico por não ser obtido zircão após preparação da mesma.

Considerando as idades apresentadas por Wörner *et al.* (2000), através dos métodos U/Pb em zircão de 1157±60 Ma, Ar/Ar em hornblenda com um platô de 982±2 Ma e Sm-Nd por isócrona mineral de 1008±16 Ma sugerem a atuação de um episódio termal regional, associado à evolução da Orogenia Grenvilliana-Sunsás, nas rochas granulíticas.

Com base nos dados obtidos nesse trabalho, admite-se que a parte félsica do Granulito Uyarani é formada por rochas ortoderivadas, cujo protólito ígneo formou-se no Estateriano, Paleo-proterozóico, correlacionado cronologicamente ao Complexo Lomas Manechis, do Terreno Paraguá, da Província Rondoniana-San Ignácio (Litherland *et al.*, 1986; Bettencourt *et al.*, 2010; entre outros). As idades mais jovens, apresentadas por Wörner *et al.* (2000), sugerem que esse fragmento crustal foi posteriormente retrabalhado pela Orogenia Sunsás durante o Toniano, no Neo-proterozoico, que afeta toda a borda oeste do Cráton Amazônico, da Colômbia a Bolívia. Sugerindo que a conexão do Granulito Uyarani com o Cráton Amazônico está vinculada a aglutinação do supercontinente Rodínia.

Com a proposta de buscar a contínua evolução do conhecimento geológico da região sugerimos a realização das análises geocronológicas U-Pb do granulito máfico (enclave), Sm-Nd em rocha total do granulito félsico e máfico e Ar-Ar do granulito félsico, o que pode levar a interpretações mais precisas quanto à idade de geração do enclave, ambiente gerador e eventos metamórficos que atingiram as rochas do Granulito Uyarani.

Também propomos que seja realizado um estudo específico do ignimbrito da Serra Uyarani, envolvendo caracterização geológica, petrografia e geocronologia, ainda não efetuados, para poder assim associá-los ou não com a Formação Pérez, interpretado por Troeng *et al.*, (1994) através de análise de campo e proximidade litológica.

Referências

Artini E. and Melzi G. 1900. Ricerche petrografiche e geologiche sulla Valsesia. *Memorie delRegio Istituto Lombardo di Scienze e Lettere*, 18: 219-390.

Bahlburg H., Hervé F. 1997. Geodynamic evolution and tectonostratigraphic terranes of northwestern Argentina and northern Chile. *Geol. Soc. Am. Bull.*, **109**:869–84.

Behr H.J., den Tex E.D., de Waard D., Mehnert K.H., Scharbert H.G., Sobolev V.S., Watznauer A., Zoubek V., Zwart H.J. 1971. Granulites - Results of a discussion., N. Jb. Mineral, Monatshefte-Stuttgart, 97-123.

Berthelsen A. 1960. Structural studies in the Precambrian of western Greenland. II. Geology of Torqussap Nuná. - Grönlands geologiske Undersogelse. *Bulletin*, **25**:1-223.

Bettencourt J.S., Leite Jr. W.B., Ruiz A.S., Matos R., Payolla B.L., Tosdal R.M. 2010. The Rondonian-San Ignácio Province in the SWAmazonian Craton: An overview. *Journal of South American Earth Sciences*, **29(1)**:28-46.

Brito Neves B.B. 2003. A saga dos descendentes de Rodínia na construção deGondwana. *Rev. Brasil. Geociênc.*, **33**:77–88.

Brito Neves, B.B. (Ed.). 2011. Glossário de geotectônica. Oficina de textos, São Paulo, 197 pp.

Bucher K. and Frey M. 1994. Petrogenesis of metamorphic rocks. Springer, Berlin, 318 pp.

Cawood P.A. 2005. Terra Australis Orogen: Rodinia breakup and development of the Pacific and Iapetus margins of Gondwana during the Neoproterozoic and Paleozoic. *Earth-Science Reviews* **69**: 249-279.

Cobbing E.J., Ozard J.M., Snelling N.J. 1977. Geol. Soc. Am. Bull., 88:241-246.

Coira B., Davidson J., Mpodozis C., Ramos V.A. 1982. Tectonic and magmatic evolution of the Andes of northern Argentina and Chile. *Earth Sci. Rev.*, **18**:303–32.

Coney P.J., Jones D.L., Monger J.W.H. 1980.Cordilleran suspect terranes. Nature, 288:329-33.

Coombs D.S., Ellis A.J., Fyfe W.S., Taylor A.M. 1959. The zeolite facies, with comments on the interpretation of hydrothermal syntheses. *In*: Geochim. Cosmochim., 17, *Atas*, p. 53-107.

Cordani U.G., Milani E.J., Thomaz Filho A., Campos D.A. (Eds.) 2000. Tectonic *Evolution of South America.31st Int. Geol. Congr.*, Rio de Janeiro.

Cordani U.G., Cardonna A., Jímenez D.M., Liu D., Nutran A.P. 2005. Geochronologyof Proterozoic basement inliers from the Colombian Andes: tectonic history of remnants from a fragmented Grenville belt. In: Vaughan A.P.M., Leat P.T., Pankhurst R.J. (eds.): *Terrane Processes at the Margin of Gondwana*. Geological Society of London, 246, Special Publication, p:329-346.

Cordier P.L.A. 1868. Description des roches composant l'ecorce terreste et des terrains cristallins constituent le sol primitif (Ch D'Orbigny, ed.). Savy, Dunod, Paris, 533pp.

Cronstedt A. 1758. Försök til Mineralogie eller Mineral-rikets Uppstålning. 2nd edition, Stockholm, 303pp.

Dalmayrac B., Lancelot J.R., Leyreloup A. 1977. Two-billion-year granulites in the late Precambrian metamorphic basement along the southern Peruvian coast. *Science*, **198**:49–51.

Dalziel IWD. 1997. Overview: Neoproterozoic–Paleozoic geography and tectonics: review, hypothesis, environmental speculations. *Bull. Geol. Soc. Am.*, **109**:16–42.

Dalziel I.W.D., Forsythe R.D. 1985. Andean evolution and the terrane concept.In *Tectonostratigraphic terranes of the Circum-Pacific-Region*, ed. DG Howell, pp. 565–81. Circum-Pac.- Counc. Energy Miner.Resourc., Earth Sci. Ser. 1.

- de Oliveira J. R. 2016. Cerro Uyarani Uma Janela Estrutural Pré-Cambriana no Altiplano Boliviano: Petrogênese e Significado Tectônico.
- Debon F., Le Fort P. 1983. A chemical–mineralogical classification of common plutonic rocks and associations. Transactions of the Royal Society of Edinburgh. *Earth Sciences.*, **73**:135-149.,
- Engelbrecht Ch.A. 1802. Kurze Beschreibung des Weisssteins, einer im geognostischen System bis jetztunbekannt gewesenen Gebirgsart. Schr. Linneschen Gesell., 26-34. Leipzig.
- Eskola P. 1915.On the relations between the chemical and mineralogical composition in the metamorphic rocks of the Orijarvi region. *Comm. geol. Finlande Bull.*, 44: 1-107.
 - Eskola P. 1920. The mineral facies of rocks. Norsk. Geol. Tidsskr. 6: 143-194.
- Eskola P. 1939. Die metamorphen Gesteine. *In*: Barth T.F.W., Correns C.W., Eskola P. (eds.) *Die Entstehung der Gesteine*. Springer, Berlin, p.: 422.
- FettesD., Desmons J. (Eds.) 2007. Metamorphic rocks.A classification and glossary ofterms. Cambridge UniversityPress, Cambridge, 244 p.
- Fucks R.A., Brito Neves B.B., Schobbenhaus C. 2008. Rodinia descendants in South America. *Precambrian Res.*, **160**:108–26.
- Geraldes M.C. (Eds.) 2010. *Introdução à geocronologia*. Sociedade Brasileira de Geociências, São Paulo, 146 pp.
- Harris N.B.W., Pearce J.A., Tindle A.G. 1986. Geochemical characteristics of collision-zone magmatism. *Geological Society.*, **19**:67-81.
- Hoffman P.F. 1991. Did the breakout of Laurentia turnGondwanaland inside-out?. Science, 252:1409-1412.
 - doi:10.1126/science.252.5011.1409.
- Howell D.G. 1985. Terranes. In: Moores E. (Ed.). 1990. Shaping the Earth Tectonics of Continents and Oceans. 7, Chapman & Hall, p. 112-124.
- Grohmann, C.H., Campanha, G.A.C. and Soares Junior, A.V., 2011. OpenStereo: um programa Livre e multiplataforma para análise de dados estruturais. In: XIII Simpósio Nacional de Estudos Tectônicos.
- Irvine I. N. & Baragar W. R. A. 1971. A Guide To The Chemical Classification Of The Common Volcanics Rocks. *Canadian Journal Earth Science*, **8**:523-548.
- Jaillard E., Hérail G., Monfret T., Díaz-Martínez E., Baby P. 2000. Tectonic evolution of the Andes of Ecuador, Peru, Bolivia y Northernmost Chile. See Cordani *et al.* 2000, pp. 481–559.
- James D.E. 1971. Plate tectonic model for the evolution of the Central Andes. *Geol. Soc. Am. Bull.*, **82**:3325–46.
- Janoušek, V., Farrow, C. M. & Erban, V. 2006. Interpretation of whole-rock geochemical data in igneous geochemistry: introducing Geochemical Data Toolkit (GCDkit). *Journal of Petrology*, **47**(6):1255-1259.
 - Justi J.H.G.V. 1756. Grundriss des gesamten Mineralreiches. Göttingen, 233pp.
- Kay S.M., Orrell S., Abbruzzi J.M. 1996. Zircon and whole rock Nd-Pb isotopicevidence for a Grenville age and a Laurentian origin for the Precordillera terranein Argentina. *Journal of Geology* **104**: 637–648.
- Keppie J.D., Solari L.A., Ortega-Gutiérrez F., Ortega-Rivera A., Lee J.W.K., Hames W.E. 2004. U-Pb and Ar/39 Ar constraints on the cooling history of thenorthern Oaxacan complex, southern Mexico: tectonic implications. *In*: TolloR.P., Corriveau L., McLelland J.B., Bartholemew G. (eds.) *Proterozoic tectonic evolution of the Grenville Orogen in North America*. Geological Society of America Memoir, 197, p.: 771–781.

- de Oliveira J. R. 2016. Cerro Uyarani Uma Janela Estrutural Pré-Cambriana no Altiplano Boliviano: Petrogênese e Significado Tectônico.
- La Roche H. de, Leterrier J., GrandClaude P., Marchal M. 1980. A classification of volcanic and plutonic rocks using R1-R2 diagram and major-element analyses. Its relationships with current nomenclature. *Chem. Geol.*, **29**(2):183-210.
- Lehmann B. 1978. A Precambrian core sample from the Altiplano. *Bolivia. Geol. Rundsch*, **67**:270–78.
- Le Maitre, R.W. (Ed.) 1989. A classification of igneous rocks and glossary of terms. Blackwell Sci. Publ.,Oxford, 193 pp.
- Le Maitre, R.W. (Ed.) 2002. A classification of igneous rocks and glossary of terms. CambridgeUniversity Press, Cambridge, 236pp.
- Li Z.X., Bogdanova S.V., Collins A.S., Davidson A., De Waele B., Ernst R.E., Fitzsimons I.C.W., Fuck R.A., Gladkochub D.P., Jacobs J., Karlstrom K.E., Lu S., Natapov L.M., Pease V., Pisarevskya S.A., Thrane K., Vernikovsky V. 2008. Assembly, configuration and break-up history of Rodinia: a synthesis. *Precambrian Research* 1-2:179–210.
- Litherland M.; Annells R.N., Appleton J.D., Berrrangé J.P., Bloomfield K., Burton C.C.I., Darbyshire D.P.F., Fletcher C.J.N., HawkinsM.P., Klinck B.A., Llanos A., MitchellW.I., O'Connor E.A., Pitfield P.E.J., PowerG., Webb B.C. 1986. The geology and mineral resources of theBolivian Precambrian Shield. *Overseas Memoir/ British Geological Survey*, London, 9:1-153.
- Loewy S.L., Connelly J.N., Dalziel I.W.D. 2004. An orphaned basement block: the Arequipa–Antofalla Basement of the central Andean margin of South America. *Geological Society of America, Bulletin*, **116**:171–187.
- Maniar P.D. & Piccoli P.M. 1989. Tectonic discrimination of granitoids. *Geol. Soc. Amer. Bull.*, **101**:635-643.
- Matos, J.B., Juliani, C., Tokashik, C.C., Oliveira, R.F., Ruiz, A.S.2013. Granulitos Ortoderivados da Suite Lomas Manechis, Fronteira Brasil-Bolívia Geoquímica e Geocronologia. *In*: XIII Simpósio da Amazônia, p:305-308.
- McLeod C.L., Davidson J.P., Nowell G.M., de Silva S.L., Schmitt A.K. 2013. Characterizing the ContinentalBasement of the Central Andes: Constraints Form Bolivian Crustal Xenoliths. *Geological Society of America Bulletin*, **125**:985-997.
- Mehnert, K. R., 1972. Granulites Results of a discussion II. N. Jb. Mineral., Monatshefte-Stuttgart, 139-150.
- Merriman R. J. and Frey M. 1999. Patterns of very low-grade metamorphism in metapelitic rocks. *In*: Frey M. and Robinson D. (eds.) *Low-grade metamorphism*. Blackwell Scientific Publ., Oxford, p.: 10-60.
- Mezger K., Hanson G.N., Bohlen S.R. 1989. HighprecisionU-Pb ages of metamorphic rutile: application to the cooling history of high-grade terranes. *Earth and Planetary Science Letters*, **96**:106-118.
 - Miyashiro A. 1973. Metamorphism and metamorphic belts. Allen & Unwin, London, 492 pp.
- Miyashiro A. 1974. Volcanic rock series in island arcs and active continental margins. *American Journal of Science*, **274**:321–355.
 - Miyashiro A. 1994. Metamorphic Petrology. UCL Press, London, 404 pp.
- Monger J.H.W., Price R.A., Tempelman-Kluit D.J. 1982. Tectonic accretion and theorigin of two major metamorphic and plutonic welts in the Canadian Cordillera. *Geology*, **10**:70–75.
- Mpodozis C, Forsythe R. 1983. Stratigraphy and geochemistry of accreted fragmentsof the ancestral Pacific floor in Southern South America. *Palaeogeogr. Palaeoclim. Palaeoecol.* **41**:103–24.

- de Oliveira J. R. 2016. Cerro Uyarani Uma Janela Estrutural Pré-Cambriana no Altiplano Boliviano: Petrogênese e Significado Tectônico.
- Mpodozis, C., Ramos, V.A. 1990. The Andes of Chile and Argentina. In: Ericksen, G.E., Cañas Pinochet, M.T., Reinemud, J.A. (Eds.), Geology of the Andes and its relationto Hydrocarbon and Mineral Resources. Circumpacific Council for Energy and Mineral Resources, *Earth Sciences Series Houston*, 11:59–90.
- Nakamura K. 1977. Volcanoes as a possible indicator of tectonic stress orientation: principle and proposal. *J. Volcanol. Geotherm. Res.*, **2**:1-16.
- Neves S.P. (Ed.) 2008. Dinâmica do manto e deformação continental: uma introdução à geotectônica. Editora Universitária da UFPE, Recife, 168 pp.
- Oliveira J.R., Ruiz A.S., Souza M.Z.A., Salinas R.M. 2015. Análise estrutural e metamórfica das rochas do Cerro Uyarani: janela tectônica pré-cambriana no altiplano boliviano. *Simp.Nac. Est. Tect.*, **15**:55-58.
- Pearce J.A., Harris N.B.W., Tindle A.G. 1984. Trace element discrimination diagrams for the tectonic interpretation of granitic rocks. *J. Petrol.*, **25**(4):956-983.
- Pindell J.L. e Kennan L. 2009. Tectonic evolution of the Gulf of Mexico, Caribbean and northernSouth America in the mantle reference frame: an update. *In*: James K. H., Lorente M.A., Pindell J. L. (eds.) *The Origin and Evolution of the Caribbean Plate*. Geological Society, London, Special Publications, 328, p.: 1–55.
- Powell C. McA., Jones D.L, Pisarevsky S.A., Wingate M.T.D. 2001. Paleomagnetic constraintson the position of the Kalahari craton in Rodinia. *Precambrian Research*, **110**:33-46.
- Ramos VA. 1986. El diastrofismo oclóyico: un ejemplo de tectónica de colisión durante el Eopaleozoico en el noroeste Argentino. *Rev. Inst. Cienc. Geol.*, **6**:13–28.
- Ramos V.A. 1988. Tectonics of the Late Proterozoic—Early Paleozoic: a collisional history of Southern South America. *Episodes*,**11**:168–74.
- Ramos V.A. 2008a. The basement of the Central Andes: the Arequipa and related terranes. *Annual Review on Earth and Planetary Sci.*, **36**:289–324.
- Ramos V.A. 2010a. The Grenville-Age Basement of the Andes. *Journal of South American Earth Sciences*, **29**:77–91.
- Rapela C.W., Pankhurst R.J., Casquet C., Fanning C.M., Baldo E.G., González Casado J.M., Galindo C., Dahlquist J. 2007. The Río de la Plata craton and the assembly of SW Gondwana. *Earth Science Reviews*, **83**:49–82.
- Restrepo-Pace P.A., Ruiz J., Gehrels G., Cosca M. 1997. Geochronology and Ndisotopic data of Grenville-age rocks in the Colombian Andes: new constraintsfor late Proterozoic—early Paleozoic paleocontinental reconstructions of the Americas. *Earth and Planetary Science Letters*, **150**:427–441.
- Ruiz A.S. 2009. Compartimentação tectônica (Pré-Sunsás) do SW doCráton Amazônico: ênfase em Mato Grosso Brasil. *In*: XVIII CongressoGeológico Boliviano, 18, *Actas*, p.159-163.
- Santos J.O.S., Rizzotto G.J., Potter P.E., Mcnaughton N.J., Mato R.S., Hartmann L.A., Chemale Jr. F., Quadros M.E.S. 2008. Age and autochthonous evolution of the Sunsás Orogen in the West AmazonCraton based on mapping and U-Pb geochronology. *Precambrian Research*, **165**:120-152.
- Sederholm J.J. 1897. Über eine archäische Sedimentformation im südwestlichen Finland und ihre Bedeutungfür die Erklärung der Entstehungsweise des Grundgebirges. *Bull. Comm. geol. Fin.* **23**:91-110.
- Stelzner A. 1871. Untersuchungen im Gebiete des sächsichen Granulitgebirges. Neu. Jahrb. Mineral. Geol., XX:244-249.
 - Streckeisen A. 1976. To each plutonic rock its proper name. Earth Science Reviews, 12:1-33.

Tohver E., Van der Pluijm B.A., Van der Voo R., Rizotto G., Scandolara J.E. 2002.Paleogeography of the Amazon craton at 1.2 Ga: early Grenvillian collision withde Llano segment of Laurentia. *Earth and Planetary Science Letters*, **199**:185-200.

Tosdal R.M. 1996. The Amazon–Laurentian connection as viewed from Middle Proterozoic rocks in the central Andes, western Bolivia and northern Chile. *Tectonics*, **15**:827–42.

Troeng B., Soria E., Claure H., Mobarec R., Murillo F. 1994. Descubrimiento de Basamento Precambrico em La Cordillera Occidental Altiplano de los Andes Bolivianos. *In:*XI Congreso Geologico Boliviano. La Paz, *Atas*, p. 231-236.

Turner F.J. 1968. Metamorphic petrology, mineralogical and field aspects.McGraw-Hill, New York, 403 pp.

Turner F.J. 1981. Metamorphic Petrology.2nd ed. McGraw-Hill, New York, 524 pp.

Vogel D.E. 1967. Petrology of an eclogite and pyrigarnite-bearing polymetamorphic rock complex at Cabo Ortegal. *Leidse geol. Meded*, **40**:121-213.

Wasteneys H.A., Clark A.H., Farrar E., Langridge R.J. 1995. Grenvilliangranulite-facies metamorphism in the Arequipa massif: a Laurentia-Gondwana link. *Earth Planet*.Sci. Lett., **132**:63–73.

Winkler H.G.F. 1974.Petrogenesis of metamorphic rocks.3rd ed. Springer, Berlin, 320 pp.

Wörner G., Lezaun J., Beck A., Heber V., Lucassen F., Zinngrebe E., Rössling R., Wilke H.G. 2000. Precambrian and Early Paleozoic evolution of the Andean basement at Belen (northern Chile) and Cerro Uyarani (western Bolivia Altiplano). *South America Earth Sci.*, 13:717–37.

Yardley B.W.D. 1989. An introduction to metamorphic petrology. Longman Earth Science Series, Singapore, 248pp.

ANEXO 1 Artigo submetido

Cerro Uyarani - Uma Janela Estrutural Pré-Cambriana no Altiplano Boliviano: Petrogênese e Significado Tectônico

Cerro Uyarani - A Pre-Cambrian Structural Window at the Bolivian Plateau: Petrogenesis and Tectonic Meaning

Cerro Uyarani - Petrogênese e Significado Tectônico

Juliana Rezende de Oliveira - Programa de Pós Graduação em Geociências, Faculdade de Geociências - Universidade Federal de Mato Grosso – UFMT, Cuiabá (MT), Brasil; Instituto Nacional de Ciência e Tecnologia de Geociências da Amazônia (GEOCIAM). E-mail: ju_azuma@hotmail.com (Avenida Agrícola Paes de Barros num.: 682 Edifício Ilhados Açores, apto.: 1102 Bloco B, Bairro: Cidade Alta, Cidade: Cuiaba, Estado: Mato Grosso, Brasil, CEP: 78030210, cel: (65) 92076109)

Maria Zélia Aguiar de Sousa-Faculdade de Geociências -Faculdade de Geociências - Universidade Federal de Mato Grosso – UFMT, Cuiabá (MT), Brasil; Instituto Nacional de Ciência e Tecnologia de Geociências da Amazônia (GEOCIAM). E-mail: prof.mzaguiar@gmail.com

Amarildo Salina Ruiz - Faculdade de Geociências - Universidade Federal de Mato Grosso - UFMT, Cuiabá (MT), Brasil; Instituto Nacional de Ciência e Tecnologia de Geociências da Amazônia (GEOCIAM). E-mail: asruiz@gmail.com

Gerardo Ramiro Matos Salinas - Departamento de Geologia, Instituto de Investigaciones Geológicas y del Medio Ambiente - IGEMA, Universidad Mayor de San Andrés – UMSA, La Paz, Bolívia.E-mail: rmatoss@yahoo.com

Número de palavras: 7.230

Total de figuras: 26 Total de tabelas: 2

RESUMO

O embasamento pré-andino é formado por terrenos paleoproterozoicos como o Terreno Arequipa-Antofalla e dentre suas unidades ocoore o Granulito Uyarani, parcialmente recoberto por sedimentos quaternários e por um Ignimbrito do Neógeno. O Granulito Uyarani é caracterizado neste trabalho como um granulito félsico que apresenta enclaves de granulito máfico. A análise estrutural demonstra o caráter polideformado destas rochas, com três fases de deformação F_1 , F_2 e F_3 e tectônica rúptil marcada por fraturas e falhas na F_3 . A fase F_1 é ligada ao metamorfismo M1 que alcançou condições de fácies granulito para o Granulito Uyarani, já na fase F₂ ocorre o M₂, como um retrometamorfismo para fácies xisto verde. A litoquímica mostra que os granulitos foram gerados por mistura de magma, o protólito do granulito félsico apresenta magmatismo cálcio-alcalino, metaluminoso a peraluminoso e magnesiano, já os enclaves de granulito máfico revelam um magmatismo cálcio-alcalino. A análise geocronológica revelou uma idade de cristalização de 1736 ±5.1 Ma para os granulitos félsicos enquanto a idade de metamorfismo já existente de 1157±60 Ma indica a atuação de um episódio termal regional associado à evolução da Orogenia Grenvilliana-Sunsás, também nas rochas granulíticas estudadas sugerindo sua conexão com as faixas móveis da Província Geocronológica Sunsás do SW do Cráton Amazônico.

PALAVRAS-CHAVE: Granulito Uyarani; embasamento pré-Andino; metamorfismo de alto grau; Orogenia Grenvilliana-Sunsás.

ABSTRACT

The pre-Andean basement consists paleoproterozoic terranes as well as the Arequipa-Antofalla Terrane, and among its outcrops occurs the Uyarani Granulite partially covered by quaternary sediments and a Neogene ignimbrite. The Uyarani Granulite is characterized in this paper as a granulite felsic who presenting enclaves of mafic. The structural analysis reveals the polydeformed character of these rocks which have undergone three phases of deformation F₁, F₂ and F₃ and a brittle event marked by F₃ fractures and faults. The F₁ stage is related to the M₁ granulite facies metamorphism acting on the Uyarani Granulite, while the F₂ phase is marked by M₂, for greenschist facies retro-metamorphism. Lithochemistry reveals that the granulites are originated by mixing magma, the protolith of felsic granulite has a calcalkaline signature, varying from metaluminous to peraluminous, magnesian, however the Mafic Granulite enclaves reveal calc-alkaline magmas. Geochronological analysis yielded a crystallization age of 1736±5.1 Ma for the felsic granulites while a already existing metamorphic age of 1157±60 Ma indicate the involvement in a regional thermal episode associated with the evolution of the Grenvillian-Sunsás Orogeny also in the studied granulites rocks, suggesting though its relationship with mobile belts of the geochronological Sunsás Province in the SW Amazon Craton.

KEYWORDS: Uyarani Granulite; pre-Andean basement; high-grade metamorphism; Grenvillian-Sunsas Orogeny.

INTRODUÇÃO

O embasamento pré-Andino foi inicialmente considerado como uma aglomeração de terrenos autóctones, ou seja, parte integrante da margem oeste do atual continente sul americano desde a configuração do Super Continente Rodínia (James, 1971; Cobbing *et al.*, 1977; Dalmayrac *et al.*, 1977). Porém, segundo Coira *et al.* (1982), Monger *et al.* (1982), Dalziel & Forsythe (1985), Ramos (1986), Loewy *et al.* (2004), Rapela *et al.* (2007), este embasamento é formado por diversos terrenos suspeitos acrescidos à margem do Cráton Amazônico.

O Terreno Arequipa-Antofalla registra idades paleoproterozoicas (Dalmayrac *et al.*, 1977; Cobbing *et al.*, 1977; Shackleton *et al.*, 1979; Wörner *et al.*, 2000; Loewy *et al.*, 2004) e de acordo com Ramos (2008a) teria uma relação direta com a formação do arco magmático Sunsás, por ter atuado como um terreno intermediário entre o Cráton Amazônico e Laurentia durante o Mesoproterozoico.

Encontra-se nos limites do Terreno Antofalla a Cerro Uyarani, parcialmente recoberto por sedimentos quaternários e por um Ignimbrito Pliocênico. São granulitos félsicos com enclaves de granulito máfico, revelados por um alçamento do embasamento, sendo assim, um importante registro da história geológica pré-cambriana dos terrenos. São rochas analisadas do ponto de vista geocronológico e geoquímico por Wörner et al. (2000), porém, não possui um mapeamento geológico de detalhe, tampouco análise estrutural-metamórfica e a geoquímica precisa ser mais detalhada, o que leva à necessidade de estudos mais aprofundados nesta região.

O objetivo deste trabalho é contribuir com o entendimento da evolução geológica e tectônica do embasamento andino, buscando definir a relação do Terreno Antofalla com o Cráton Amazônico. O Cerro Uyarani, aqui denominado Granulito Uyarani, consiste no alvo deste estudo que envolve a sua caracterização petrológica, deformação e metamorfismo a ele impostos, e datações geocronológicas U-Pb (SHRIMP) em zircão.

CONTEXTO GEOLÓGICO REGIONAL

A margem continental andina é dividida em Andes Superior, Central e Inferior (Mpodozis e Ramos, 1990), ao qual estão inseridos na configuração dos Andes Central os Terrenos Arequipa-Antofalla, Marañon, Mejillonia, Chilenia, Cuyania, Famatina e Patagonia (Dalziel & Forsythe, 1985; Ramos 1988, 2008a, 2009b; Fig. 1).

Dalziel (1997), Cordani *et al.* (2000), Jaillard *et al.* (2000), Brito Neves (2003) e Fucks *et al.* (2008) sugerem que o lado oeste do Cráton Amazônico tenha se chocado com Laurentia gerando o arco magmático Sunsás, porém o arco magmático localiza-se muito longe da possível sutura, o que causava dúvidas quanto a essa teoria.

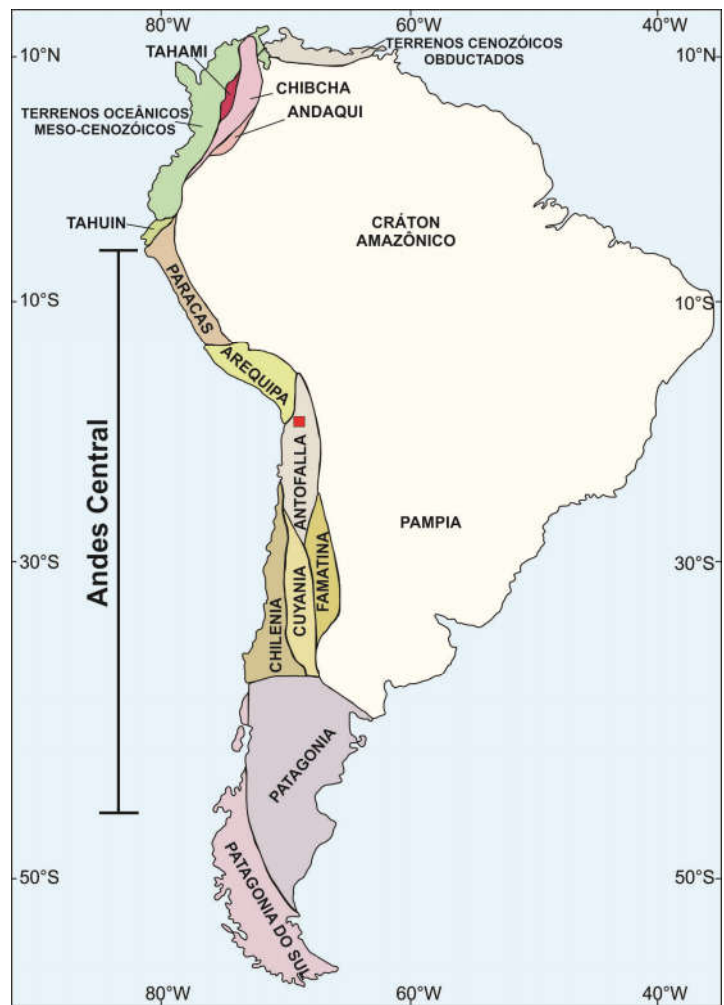


Figura 1. A) Mapa da América do Sul com principais terrenos do embasamento pré-andino, extraído de Ramos (2010a); marcação em vermelho corresponde à região pesquisada.

Posteriormente Loewy *et al.* (2004) propôs que o terreno Arequipa-Antofalha seria intermediário ao Cráton Amazônico e Laurentia, dando um maior sentido ao fato do arco magmático estar longe da sutura.

Ramos (1988) e Bahlburg & Hervé (1997) propõe que os terrenos Arequipa e Antofalla eram dois terrenos distintos que após o primeiro choque passaram a se comportar como um só e segundo Ramos (2008a) o Terreno Antofalla chocou-se com o Cráton Amazônico em três momentos distintos, inicialmente durante a formação do Rodínia, na Orogenia Sunsás, em seguida constituindo o Gondwana pela Orogenia Brasiliana e finalmente na Orogenia Andina compondo a estruturação atual do continente Sul-Americano.

O Terreno Arequipa-Antofalla (AA) foi dividido por Loewy (2004; Fig. 2) em três domínios, o primeiro domínio é restrito ao Arequipa, formado por magmatismo e metamorfismo paleoproterozoico, seguido de magmatismos com metamorfismo e deformação no Mesoproterozoico; o segundo domínio fica na porção central do AA, abrangendo os dois terrenos e é caracterizado por magmatismo associado a metamorfismo e deformação durante o mesoproterozoico, o terceiro domínio se estabelece na porção sul do Terreno Antofalla, registrando magmatismo e metamorfismo ordoviciano, que atingiu os três domínios.

O Terreno Antofalla (Fig. 3) extende-se deste a porção oeste de Puna, Argentina até o litoral norte do Chile. Este terreno compreende corpos graníticos e metamórficos orto e

paraderivados de idade pré-cambriana a paleozoica (Lehmann, 1978; Tosdal, 1996; Wörner *et al.*, 2000; Loewy *et al.*, 2004) que registram a história geológica pré-andina, sendo estes Cerro Uyarani, Belén, Quebrada Choja, Sierra Moreno, San Andrés, Berenguela, Saxamar, Cauchari, Cordón de Lila, Limón Verde e Antofalla.

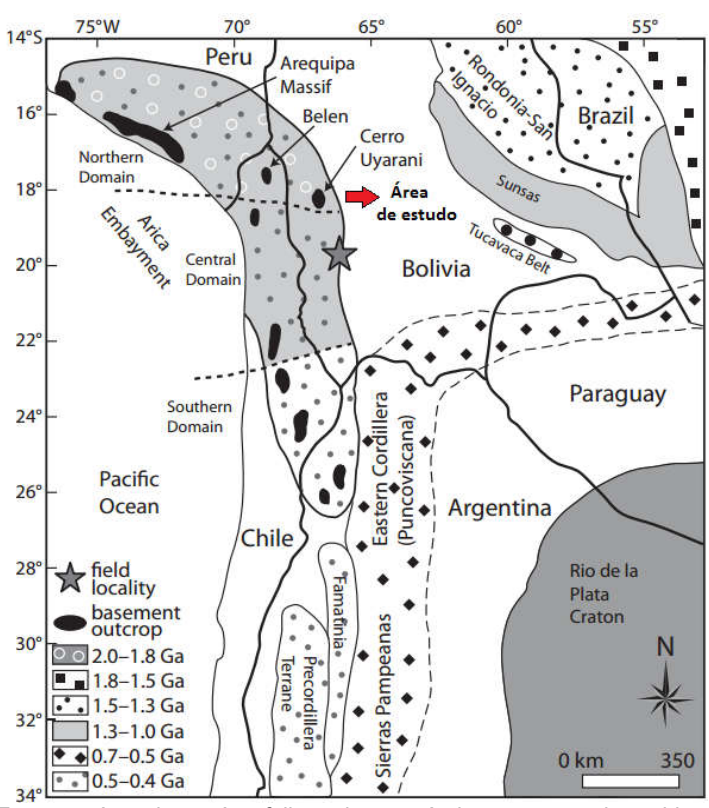


Figura 2. Mapa dos Terrenos Arequipa e Antofalla e das províncias ao seu redor evidenciando a divisão das unidades de embasamento dos Terrenos Arequipa e Antofalla em domínios norte, central e sul. Loewy et al. (2004), modificado por McLeod et al. (2013).

Foi inicialmente definido pelo Serviço Geológico da Bolívia e se encontra no extremo norte do Terreno Antofalla (Ramos, 1988) como um representante metamórfico do embasamento pré-andino em meio à cadeia de montanhas andina. As rochas desta serra foram descritas inicialmente por Troeng *et al.* (1994), como um gnaisse de composição granítica a granodiorítica, com a ocorrência de um ignimbrito ao norte e oeste do maciço e cobertos por sedimentos quaternários e apresentaram os primeiros resultados radiométricos para os granulitos félsicos, com idade isocrônica Rb/Sr em rocha total de 1859±200 Ma.

Wörner *et al.* (2000) descreve as rochas do Cerro Uyarani como granulito máfico, charnoquito e um fels cálcio-silicatado, apresenta idades U/Pb em zircões, com cristalização em 2020±130 Ma e resfriamento de metamorfismo em 1157±60 Ma, idade Ar/Ar em hornblenda com um platô de 982±2 Ma e uma idade Sm-Nd de 1008±16 Ma, e que estas rochas mostram uma assinatura geoquímica típica de elementos traço de crosta com diferentes níveis de enriquecimento, com enriquecimento em LILE, anomalia positiva de Pb e alta razão LREE/HREE.

Oliveira *et al.* (2015) demonstraram o caráter polideformado dessas rochas, indicando o registro de pelo menos três fases de deformação e duas fases de metamorfismo, que marcam a evolução tectônica pré-cambriana.

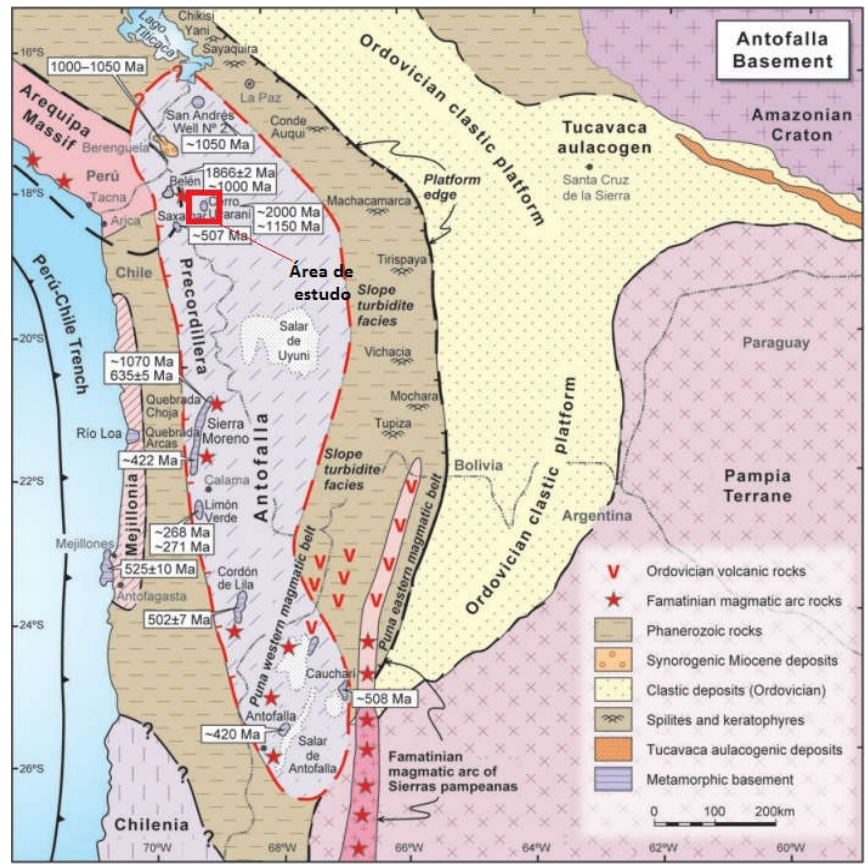


Figura 3. Limites inferidos do Terreno Antofalla e seus corpos graníticos e metamórficos representantes do embasamento (Ramos 2008a).

GEOLOGIA E PETROGRAFIA

O Cerro Uyarani, alvo deste estudo, é uma serra de aproximadamente 32 km² situada na porção oeste do Altiplano da Bolívia, no departamento de Oruro, Província Sajama, município de Turco. Dista em torno de 45 km do Vulcão Sajama, 175 km do Salar de Uyuni e 290 km de Cochabamba.

Os estudos das rochas do Granulito Uyarani foram realizados a partir da interpretação inicial de imagem de satélite, seguida de mapeamento, em escala 1:25.000, com obtenção de dados geológicos e estruturais, bem como, coleta de amostras para petrografia, geoquímica e geocronologia. Através da interpretação desses dados, foi possível a confecção do mapa geológico e estrutural do Granulito Uyarani (Fig. 4) com a utilização do *software* ArcMap 10.2.1. A confecção das lâminas delgadas foi realizada no Laboratório de Laminação da Universidade Federal de Mato Grosso (UFMT) e a petrografia microscópica foi realizada a partir da descrição de 42 lâminas.

A unidade alvo deste trabalho é constituída por rochas granulíticas, parcialmente recobertas por litotipos vulcanoclásticos e por sedimentos inconsolidados quaternários eólicos e lacustres (Fig. 5). Dois tipos de granulitos foram identificados, um félsico volumetricamente dominante com bandamento descontínuo e outro máfico que ocorre como enclaves no primeiro, respectivamente denominados de granulito félsico e granulito máfico.

Os enclaves são centimétricos a métricos, apresentando-se dobrados com *boudinage* e morfologia variável entre alongados, arredondados e sigmoidais, sendo também observadas porções pegmatíticas.

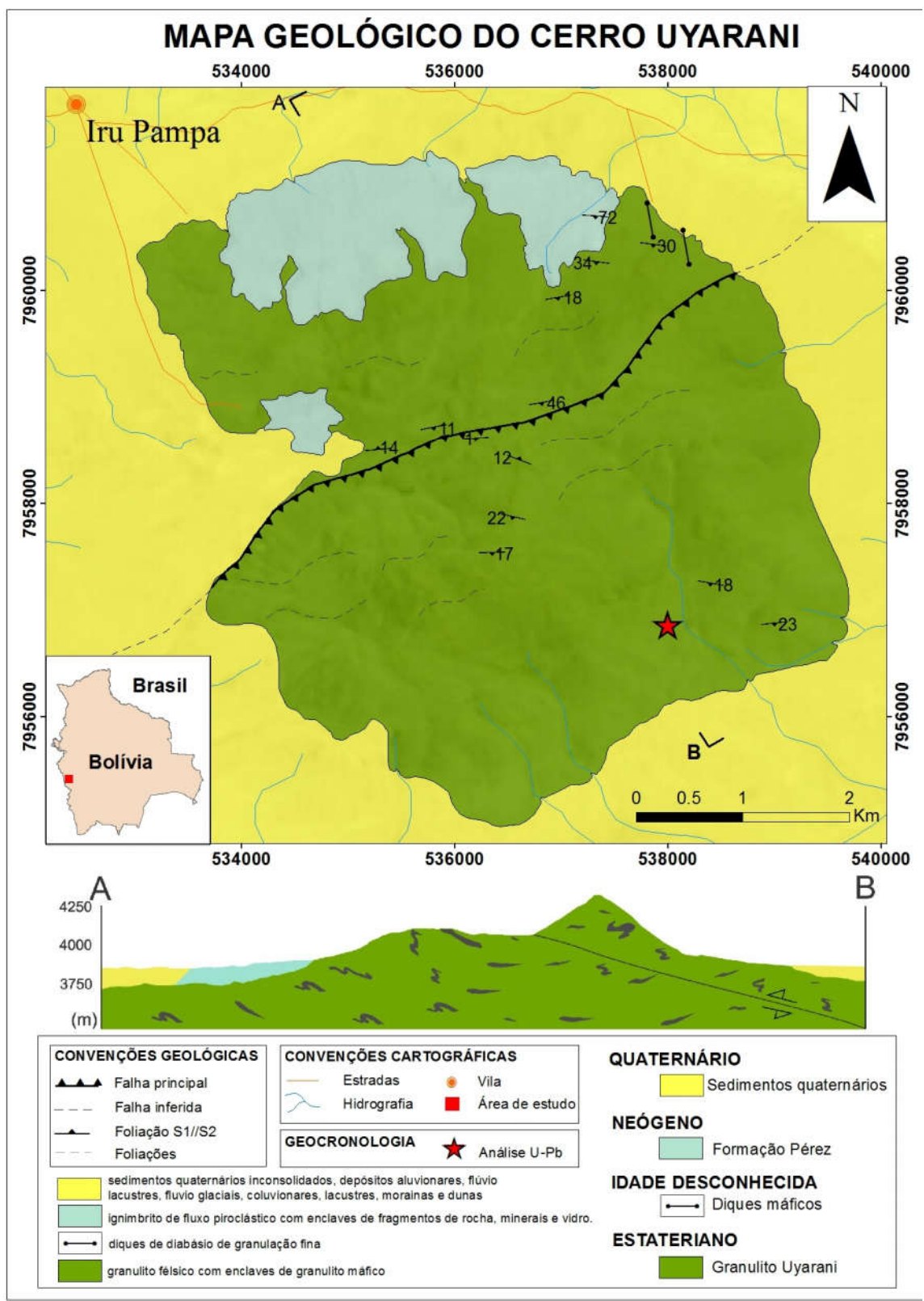


Figura 4. Mapa geológico do Granulito Uyarani, com perfil esquemático AB mostrando as principais estruturas existentes e localização do ponto de amostragem da análise geocronológica.

Na porção N e NW da serra, encontram-se cobrindo parcialmente o Granulito Uyarani, em contato discordante, rochas piroclásticas formadas por fluxo de púmice de cor cinza-clara com diversos clastos de fragmentos de rocha, minerais e vidro, correspondendo a um ignimbrito pliocênico da Formação Pérez (Troëng *et al.*, 1994). Observam-se ainda diques máficos de composição basáltica e granulação muito fina de larguras centimétricas a métricas e diques félsicos de granulação fina a pegmatítica, compostos por quartzo, feldspato alcalino e magnetita.

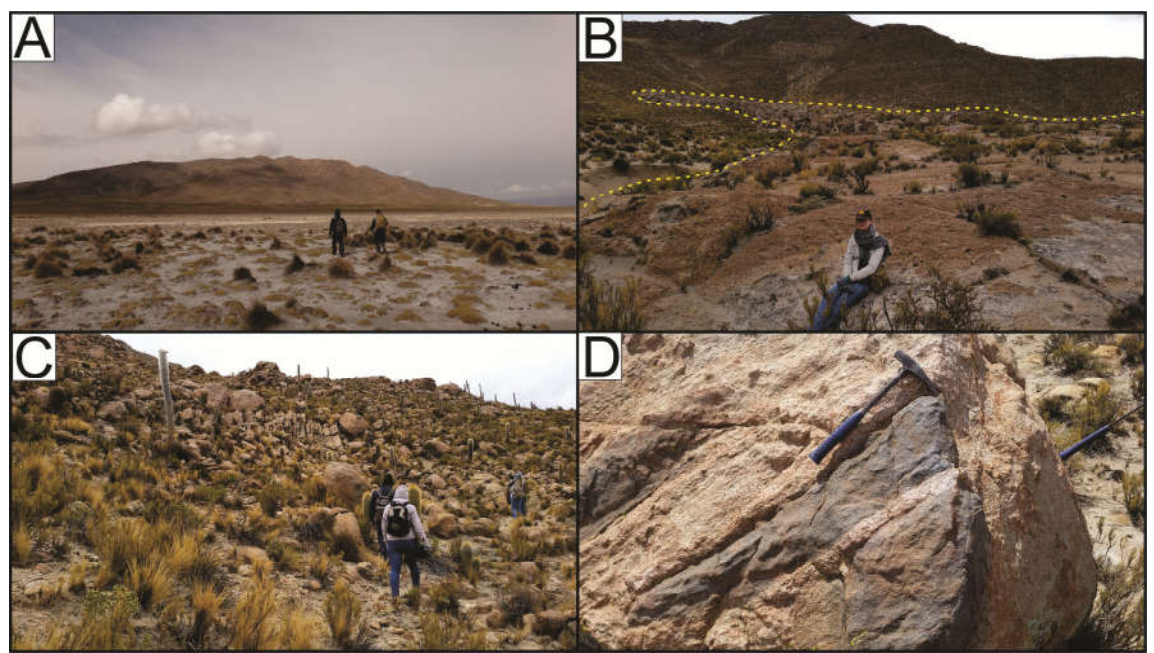


Figura 5. Fotos do Granulito Uyarani. A)Vista da Serra Uyarani; B)) ignimbrito cobrindo parcialmente as rochas do Granulito Uyarani; C) foto mostrando a abrangência dos afloramentos de granulito félsico D) enclaves de granulito máfico no granulito félsico e dique pegmatítico félsico cortando os granulitos.

Granulito félsico

O granulito félsico apresenta granulação média e bandas félsicas e máficas de cores, respectivamente cinza-rosada e cinza. A primeira é formada principalmente por feldspato alcalino, plagioclásio e quartzo com níveis finos de piroxênio, anfibólio e biotita (Fig. 6A); enquanto a banda máfica constitui-se de intercalações de leitos formados por anfibólio e piroxênio e níveis subordinados quartzo-feldspático (Fig. 6B).

Microscopicamente, o granulito félsico (Fig. 7) apresenta texturas granoblástica a nematoblástica, expressas pela disposição orientada de, principalmente, grãos quartzo-feldspáticos e cristais de piroxênio e anfibólio. A mineralogia principal é composta por feldspato alcalino pertítico, quartzo, plagioclásio (andesina a oligoclásio) por vezes mirmequítico, hiperstênio, diopsídio, hornblenda e biotita; enquanto os minerais de alteração e acessórios estão representados por biotita, granada, clorita, sericita e anfibólio da série actinolita-tremolita, calcita, argilominerais, óxido/hidróxido de Fe (opacos), zircão e apatita.

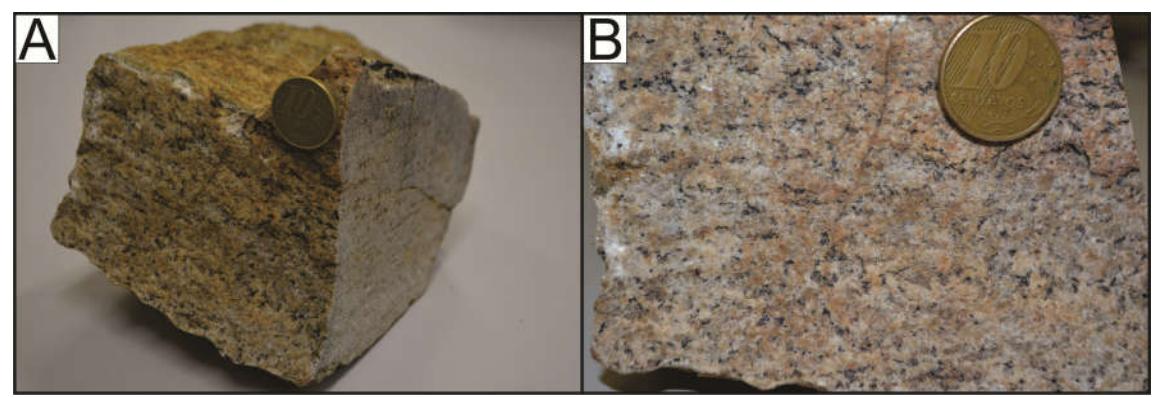


Figura 6. Amostras do granulito félsico. A) bandamento composicional; B) detalhe das intercalações de níveis claros e escuros.

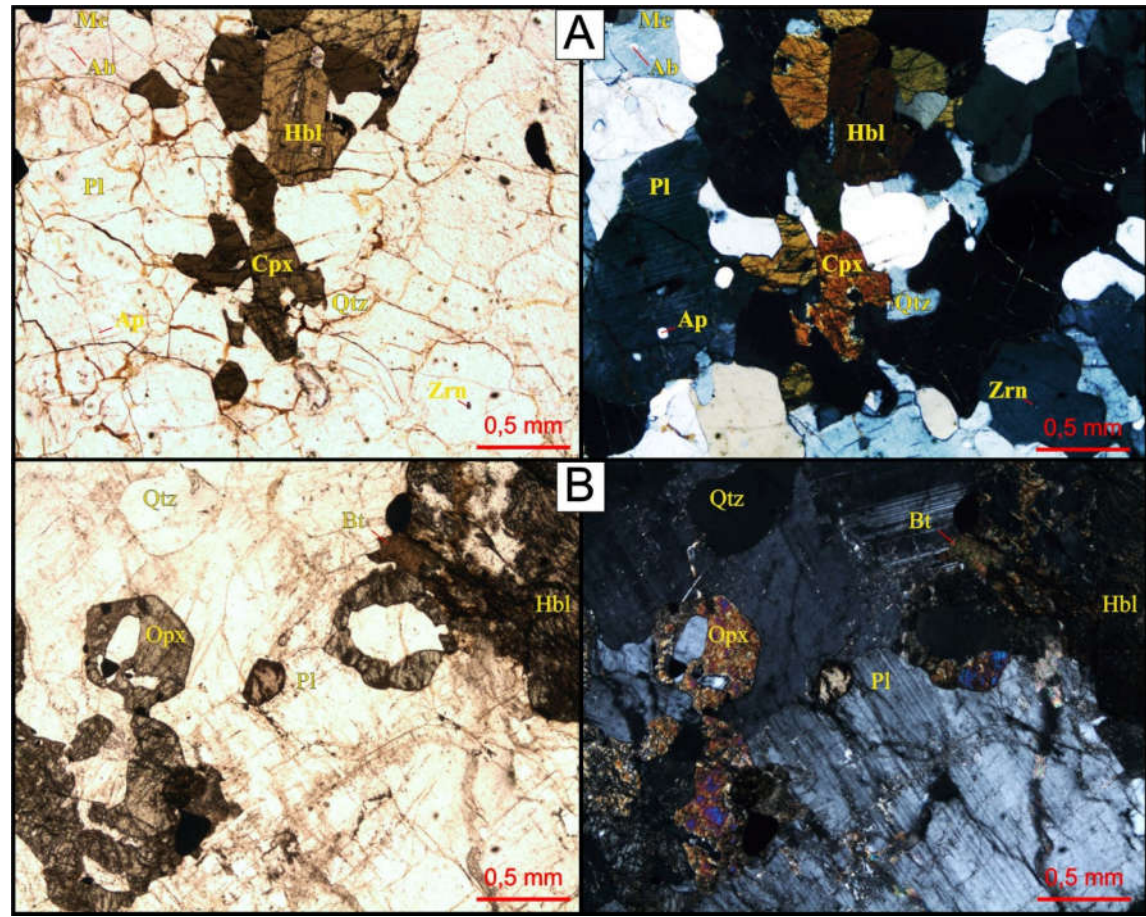


Figura 7. Fotomicrografias do granulito félsico, polarizadores paralelos à esquerda e cruzados à direita. A) Microclina, plagioclásio, hornblenda e diopsídio gerando textura granoblástica; B) hiperstênio envolvendo quartzo e associação de hornblenda e biotita, saussuritização do plagioclásio e calcita formando vênulas.

Granulito máfico (Enclave)

O granulito máfico é cinza-escuro, de granulação variando desde fina até grossa, constituído por hornblenda, plagioclásio, piroxênio e raro quartzo (Fig. 8).

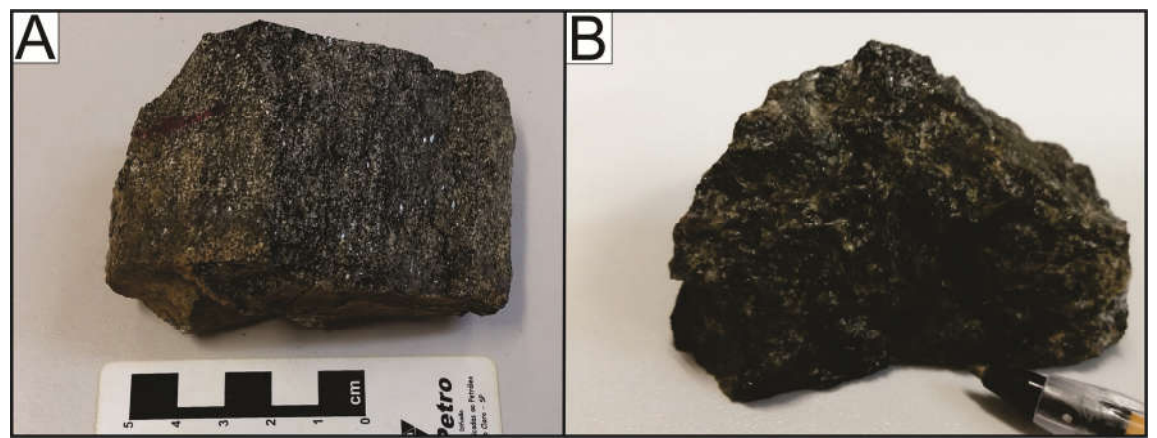


Figura 8. Amostras do granulito máfico de cor cinza-escuro composto por anfibólio, piroxênio, plagioclásio e raro quartzo. A) bandamento milimétrico e granulação fina. B) Granulação grossa.

O granulito máfico (Fig. 9) apresenta textura, predominantemente, granonematoblástica constituída por orto e clinopiroxênio (hiperstênio e diopsídio), hornblenda, plagioclásio (andesina) e raros grãos de quartzo, tendo como minerais de alteração clorita, sericita, talco, actinolita-tremolita e argilominerais já os minerais acessórios são representados por apatita, zircão e opacos (Fig. 10).

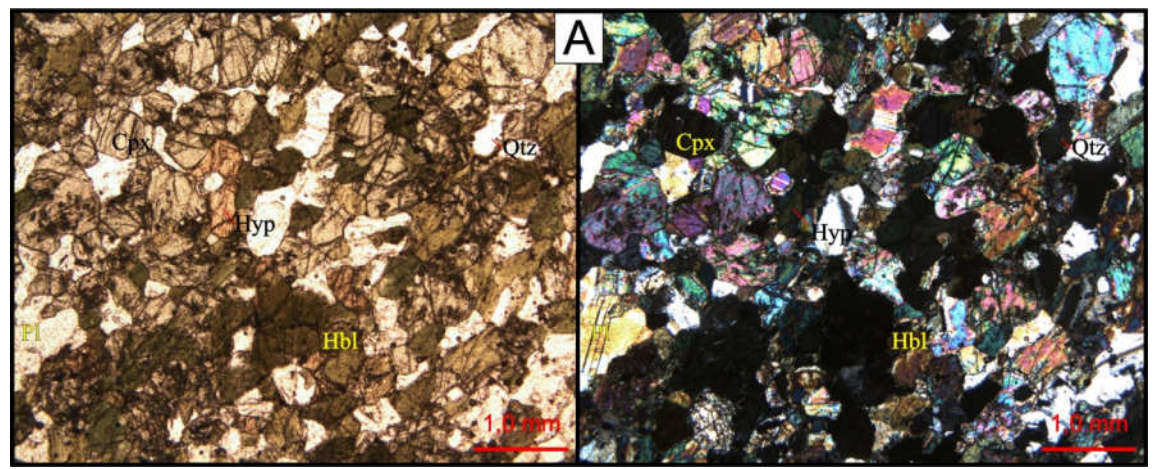


Figura 9. Fotomicrografias do granulito máfico ilustrando textura granonematoblástica formada por grande percentual de piroxênio (hiperstênio) e hornblenda e raros cristais de plagioclásio (andesina) e quartzo. Polarizadores paralelos à esquerda e cruzados à direita.

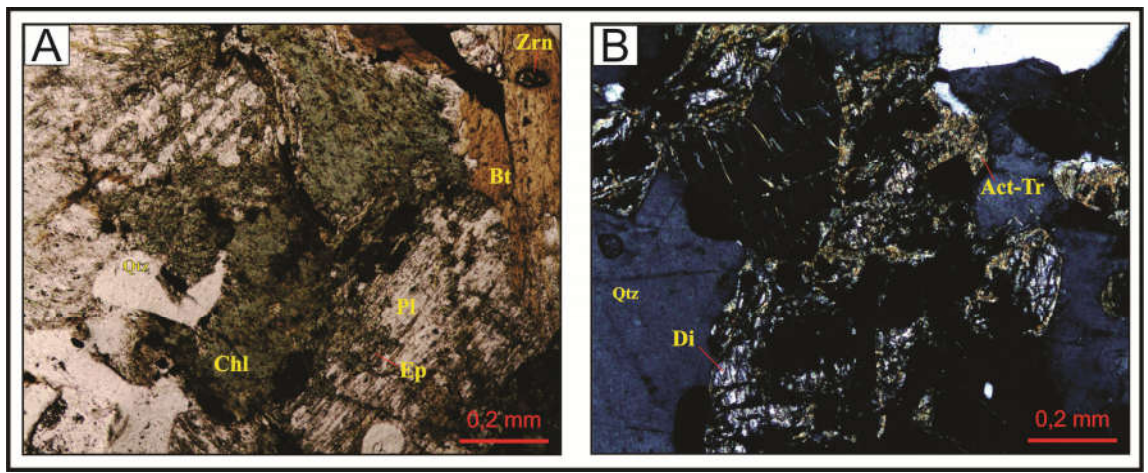


Figura 10. Fotomicrografias evidenciando o retrometamorfismo dos granulitos. A) Agregado de clorita, biotita e epidoto B) diopsídio parcialmente substituído por actinolita-tremolita. Polarizadores paralelos em A e cruzados em B.

ANÁLISE ESTRUTURAL E METAMORFISMO

As observações em campo e os dados estruturais coletados possibilitaram a interpretação da história deformacional registrada pelas rochas do Granulito Uyarani, para o tratamento dos dados estruturais foi empregado o software livre OpenStereo (Grohmann *et al.*, 2011). Foram identificadas estruturas referentes a comportamentos reológicos dúcteis e rúpteis, assim a apresentação dos dados levará em conta a tectônica dúctil, mais antiga, e a rúptil, mais recente.

Tectônica Dúctil

É dividida em três fases de deformação para as rochas do Granulito Uyarani, fases F₁, F₂ e F₃, descritas a seguir.

Primeira fase de deformação (F_l) e metamorfismo (M_l)

A fase F_1 é responsável pelo desenvolvimento da foliação penetrativa S_1 que incide como um bandamento gnáissico (Fig. 11A) de atitude 192/27 mais comum na porção NW do Granulito Uyarani e 360/10 principalmente na região central (Fig. 15). Os enclaves de granulito máfico são foliados, achatados e bandados em concordância com a foliação S_1 (Fig. 11B).A fase de deformação F_1 é associada ao metamorfismo M_1 que possui uma paragênese de fácies granulito representada por hiperstênio, diopsídio, quartzo, andesina ou oligoclásio, biotita e hornblenda (Fig. 7; 9)

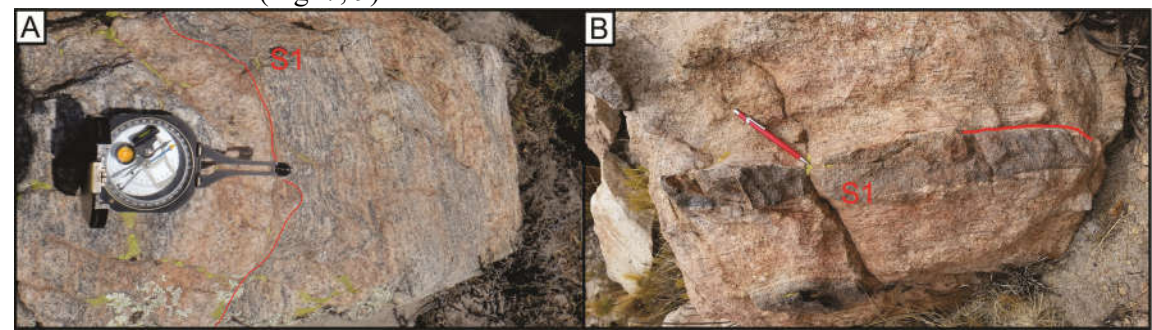


Figura 11. Estruturas geradas na fase de deformação F₁. A) granulito félsico, evidenciando a separação entre bandas félsicas e máficas e a xistosidade evidente na banda máfica; B) contato entre granulito félsico e enclave de granulito máfico obedecendo à orientação da foliação S₁, é possível notar a xistosidade na banda félsica do granulito félsico.

Segunda fase de deformação (F_2) e metamorfismo (M_2)

A fase de deformação F₂ (Fig. 12) é caracterizada por dobras recumbentes D₂, desenhadas pelas superfícies do bandamento S₁, o eixo da D₂ tem atitude 270/25 e o plano axial mede 184/10. A S₂ gera uma xistosidade de 184/10 (Fig. 15) a partir da transposição da S₁ nas charneiras das dobras D₂, portanto nos flancos das dobras D₂ ocorre S1//S2, porém nas charneiras essas foliações são ortogonais. A orientação de minerais máficos contidos nos planos da xistosidade S₂ evidencia a lineação L₂, de atitude 90/11 (Fig. 15).

Está relacionado à fase de deformação F_2 o metamorfismo M_2 , com uma paragênese metamórfica que registra um retrometamorfismo evidenciado por venulações e fraturas preenchidas por calcita (Fig. 7B), presença de clorita, actinolita-tremolita, biotita e sericita (Fig. 10).

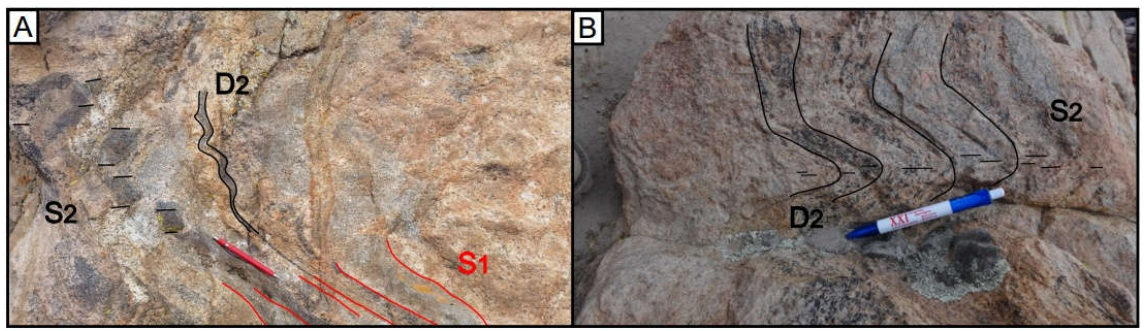


Figura 12. Estruturas geradas na fase de deformação F_2 . A) Granulito bandado e enclaves de Granulito máfico dobrados pela D2, nota-se a transposição da foliação S_1 nas charneiras dos enclaves dobrados; B) dobras D_2 desenhadas pela superfície tanto do bandamento do granulito bandado quanto do contato entre o enclave de granulito máfico.

É comum a formação de dobras sem raiz, dobras similares e indicadores cinemáticos em escala macro e microscópica, como enclaves rotacionados, foliação SC e sigmoides que registram um movimento tangencial de baixo ângulo (cavalgamento), com transporte de topo para NW, ao longo de discretas zonas de cisalhamento reverso Zc₂ (Fig. 13).

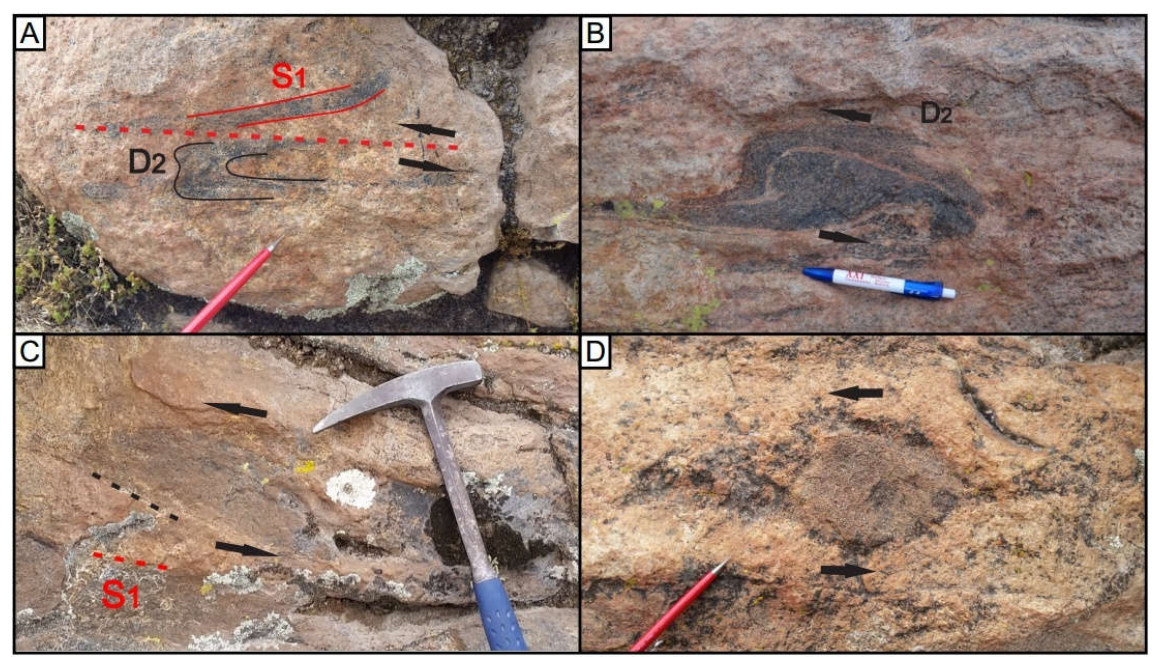


Figura 13. Dobras e indicadores cinemáticos atribuídos à fase F_2 evidenciando movimentos de cavalgamento. A) Dobra D_2 sem raiz ou dobra com estrutura em cabo de guarda-chuva; B) cavalgamento de um flanco da dobra D_2 desenvolvendo um *reverse drag fold*; C) enclave sigmoidal de granulito máfico, oblíquo em relação à xistosidade e ao bandamento; D) enclave rotacionado com sombra de pressão.

Terceira fase de deformação (F_3)

A fase deformacional F_3 é marcada por dobras D_3 (Fig. 14A; 15) de dimensões centimétricas a kilométricas, desenhadas a partir das foliações S_1 e S_2 , são abertas, simétricas e suaves, seus flancos tem atitudes 192/27 e 360/10, e seu plano axial mede 22/89. Exibe uma lineação de intersecção que se comporta como uma clivagem de crenulação S_3 (Fig. 14B; 15) de atitude 60/05.

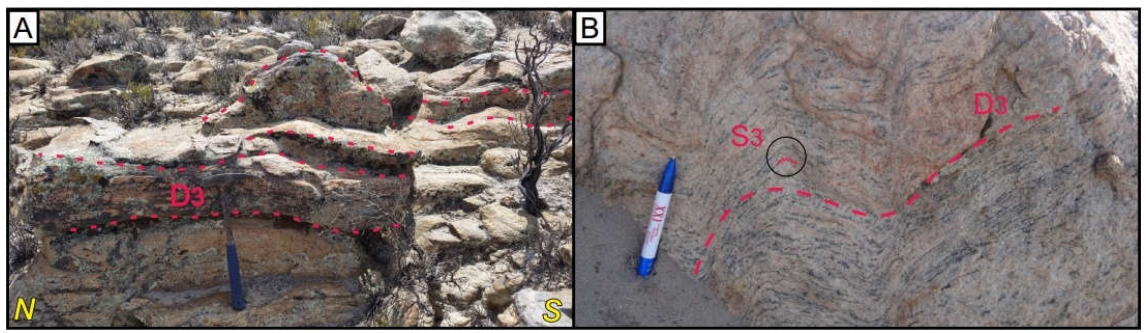


Figura 14. Estruturas geradas na fase de deformação F₃. A) Dobras D3 suaves, abertas e simétricas, superimposta sobre o bandamento e a xistosidade pré-existente; B) detalhe para a clivagem de crenulação S3.

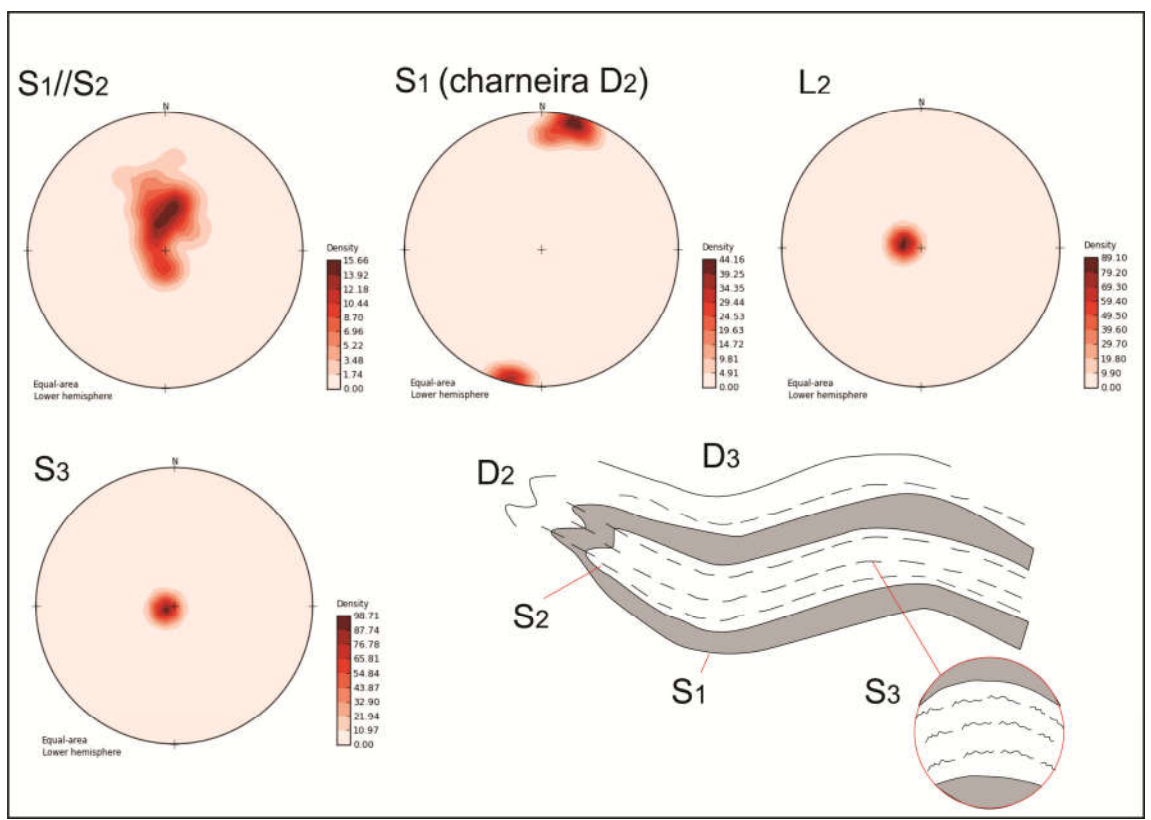


Figura 15. Diagramas de isofrequência para as foliações S1, S2, S3 e lineação L2. Desenho esquemático mostrando a sobreposição das fases deformacionais.

Tectônica Rúptil

As falhas e fraturas que afetam as rochas do Cerro Uyarani são coincidentes com a terceira fase de deformação. As fraturas foram definidas como clivagem disjuntiva J_1 e J_2 (Fig. 16). A J_1 comporta-se como fraturas paralelas ao plano axial das dobras D_3 com uma direção de máxima modal N70E e mergulhos altos, variando entre 65° e 90° para NW. A J2 é perpendicular ao plano axial da dobra D_3 , apresenta direção N34E e mergulhos altos variando entre 70° e 90° para NW. O sistema de falhas normais tem atitude N55E/85SE e deslocam o bandamento S_1 (Fig. 17) e ainda foi possível observar em imagem de satélite um sistema de falhas NW.



Figura 16. Clivagem disjuntiva J₁ e J₂. A) Aspecto geral da disposição das clivagens disjuntivas. B) clivagem disjuntiva J₁ (NEE-SWW) e J₂ (NNE-SSW).

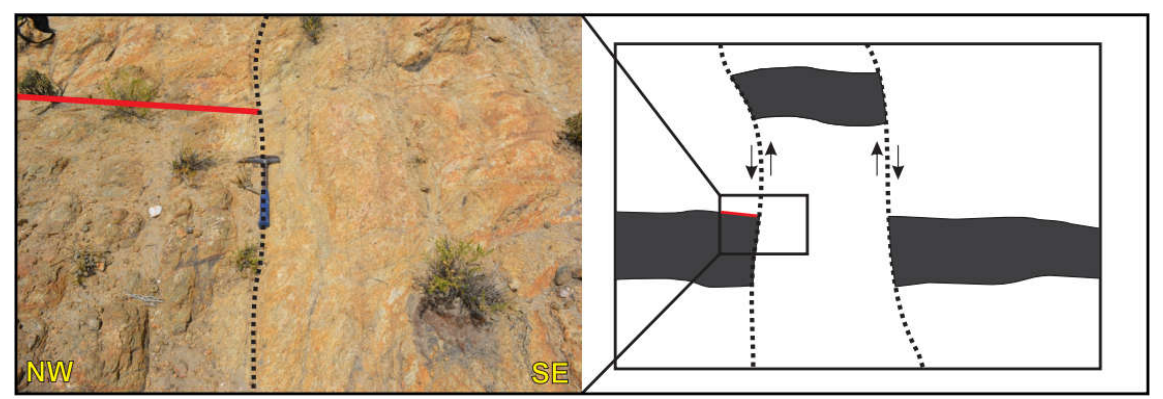


Figura 17. Foto e desenho esquemático mostrando o comportamento das falhas normais.

LITOQUÍMICA DO GRANULITO UYARANI

A escolha das amostras para análise geoquímica foi precedida de caracterização petrográfica, em escala macro e microscópica, que permitiu a separação em granulito félsico e granulito máfico. As 12 amostras foram preparadas nos laboratórios da Faculdae de geociências (UFMT), sendo 8 amostras do granulito félsico e 4 do granulito máfico. As análises químicas (Tab. 1) foram realizadas no Laboratório de Minerais Bureau Veritas, em Vancouver, Canadá, para elementos maiores (SiO₂,Al₂O₃, Fe₂O₃, MgO, CaO, Na₂O, K₂O, TiO₂,P₂O₅ e MnO) por ICPO-ES. Os elementos traço (Ba, Be, Co, Ga, Hf, Nb, Rb, Sr, Ta, Th, U,W, Zr e Y), ETR (La, Ce, Pr, Nd, Sm, Eu, Gd, Tb, Dy, Ho, Er, Tm, Yb e Lu) e metais preciosos e base (Cu, Ni, Pb e Zn) por ICP-MS. O *software* utilizado para o tratamento dos dados e confecção dos diagramas foi o GCDkit 3.00 (Janoušek *et al.*, 2006).

Tabela 1 Composição química de elementos maiores, menores (peso%) e traços (ppm) do Granulito Uyarani.

Elementos				UUY1337 UC 19		009	17A	UC 16	10II	001	007	UN1421	
•				granulito máfico (enclave)									
SiO ₂	74.38	72.67	72.25	71.04	66.93	66.78	64.28	58.23	49.61	49.19	47.9	47.81	
TiO ₂	0.34	0.35	0.25	0.41	0.54	0.53	0.61	0.87	1.07	1.23	0.86	0.73	
Al ₂ O ₃	13.33	13.97	14.44	14.35	15.30	14.64	15.66	17.45	17.83	19.96	10.88	15.91	
Fe ₂ O ₃	1.75	2.51	1.46	2.82	4.64	5.71	5.68	7.50	11.12	7.76	13.36	10.62	
MnO	0.01	0.04	0.04	0.07	0.10	0.12	0.09	0.15	0.22	0.18	0.24	0.21	
MgO	0.19	0.92	0.41	0.74	1.72	2.46	2.56	2.56 3.06		5.5	11.7	8.62	
CaO	1.25	2.52	1.47	2.68	4.21	4.24	5.50	7.32	7.79	11.05	11.05	11.02	
Na₂O	2.89	3.51	3.38	3.89	3.61	4.16	3.55	3.55 3.80		3.52	2.24	2.87	
K₂O	5.33	3.07	5.77	3.49	2.43	0.94	1.46	1.01	1.6	1.17	1.16	1.77	
P ₂ O ₅	0.14	0.1	0.06	0.13	0.16	0.14	0.19	0.28	0.34	0.2	0.13	0.17	
LOI	0.6	0.5	0.7	0.5	0.5	0.8	0.7	0.4	0.7	1.2	1.1	1.4	
Total	100.2	100.1	100.2	100.1	100.1	100.5	100.2	100.0	100.3	100.9	100.6	101.1	
Ва	987	681	1591	1080	772	229	490	374	403	193	1697	490	
Ве	2.00	2.00	1.00	1.00	1.00	2.00	2.00	3.00	9.00	2.00	1.00	2.00	
Со	172.0	153.6	177.8	84.6	158.1	112.9	236.1	120.0	96.0	98.7	111.8	98.9	
Ga	11.10	14.70	13.30	14.20	14.80	16.30	15.70	18.50	21.70	18.80	12.90	14.90	
Hf	3.50	2.80	4.40	4.60	5.00	2.40	2.40 4.30		2.50	3.00	1.70	1.30	
Nb	7.70	4.00	6.80	11.50	8.30	6.70	7.50	8.50	6.00	7.10	3.30	2.50	

de Oliveira J. R. 2016. Cerro Uyarani - Uma Janela Estrutural Pré-Cambriana no Altiplano Boliviano: Petrogênese e Significado Tectônico.

Rb	120.3	63.8	160.0	80.6	55.4	10.1	38.9	16.7	60.7	12.3	13.1	77.3
Sr	177.3	376.3	323.7	328.6	489.2	408.5	343.0	515.9	422.3	606.9	277.6	298.7
Та	0.60	0.40	0.70	0.90	0.80	0.60	0.80	0.60	0.40	0.60	0.30	0.30
Th	10.30	1.00	7.20	1.10	1.70	0.20	1.00	0.20	2.10	2.90	1.70	1.50
U	0.30	0.10	0.10	0.20	0.10	0.10	0.20	0.10	0.40	0.70	0.30	0.40
W	1013.1	857.4	987.6	506.4	853.2	542.3	1225	496.7	327.5	364.9	226.7	287.6
Zr	150.3	108.2	155.1	180.8	189.5	92.9	165.2	209.5	80.9	105.6	60.9	41.4
Υ	13.40	4.20	12.40	62.20	19.50	14.60	22.40	33.10	26.00	34.40	17.40	22.50
Pb	2.00	1.00	2.80	1.20	1.30	1.00	1.30	1.50	1.80	2.00	1.10	1.50
La	51.30	22.80	33.90	38.00	28.00	33.80	27.00	27.20	34.40	27.50	26.70	14.10
Се	102.30	36.90	60.10	86.30	55.60	64.90	57.40	62.80	81.40	54.80	55.20	21.00
Pr	10.80	3.33	5.62	10.13	5.68	6.29	6.53	8.11	9.25	7.40	5.96	3.26
Nd	38.20	11.40	19.00	42.20	22.90	23.40	25.50	36.80	34.70	30.40	21.70	14.10
Sm	6.52	1.75	3.00	9.65	3.92	3.74	5.29	7.60	6.73	6.14	4.00	3.09
Eu	0.89	0.75	1.23	1.54	1.11	1.04	1.19	1.98	2.02	1.79	1.06	0.91
Gd	4.99	1.31	2.65	9.95	3.78	3.36	4.75	7.05	5.51	6.11	3.54	3.68
Tb	0.65	0.16	0.40	1.77	0.53	0.51	0.71	1.10	0.81	1.00	0.57	0.63
Dy	3.10	1.01	2.22	10.65	3.18	2.74	4.16	6.15	4.98	5.92	3.24	3.94
Но	0.51	0.15	0.46	2.31	0.70	0.55	0.84	1.30	0.92	1.18	0.68	0.81
Er	1.18	0.48	1.43	6.57	2.08	1.53	2.59	3.89	2.65	3.47	1.91	2.31
Tm	0.14	0.07	0.20	1.00	0.33	0.23	0.37	0.54	0.43	0.53	0.29	0.35
Yb	0.86	0.46	1.35	6.25	2.06	1.44	2.27	3.36	2.96	3.40	1.93	2.05
Lu	0.11	0.08	0.20	0.87	0.34	0.23	0.35	0.54	0.50	0.56	0.30	0.36
Eu/Eu*	0.48	1.52	1.34	0.48	0.89	0.90	0.73	0.83	1.02	0.90	0.87	0.83
(La/Yb)N	39.90	33.10	16.80	4.10	9.10	15.70	8.00	5.40	7.80	5.40	9.30	4.60

Granulito félsico

Os dados geoquímicos das amostras do granulito félsico do Granulito Uyarani indicam uma ampla variação dos teores de SiO₂, que os classifica como intermediários até ácidos com teores, respectivamente, entre 58,2 e 74,4 %. De maneira semelhante, o Al₂O₃ varia de 13,2 a 17,4 %, o Fe₂O_{3(t)} de 1,4 a 7,5 %, enquanto o MgO apresenta valores altos de 1,7 a 3,1 % e baixos de 0,2 a 0,9 % para as rochas, respectivamente, intermediárias e ácidas.

Utilizando sílica como índice de diferenciação nos diagramas do tipo Harker (Fig. 18), observam-se *trends* bem definidos com correlações negativas entre este índice e Al₂O₃, CaO, Fe₂O₃, MgO, MnO, P₂O₅ e TiO₂. Correlação positiva é identificada entre sílica e K₂O sugerindo o enriquecimento em feldspato alcalino dos litotipos mais evoluídos, enquanto o Na₂O mostra dispersão não estando inserido na figura 18. Nos diagramas envolvendo sílica e elementos traço, observa-se que Ba, Th e Rb apresentam correlação positiva proporcional ao aumento de feldspato alcalino; enquanto Sc, Sr, Ga, V e Y mostram correlação negativa indicando a concentração de plagioclásio e minerais máficos nos litotipos menos diferenciados (Fig. 19). Esses elementos têm, em geral, amplas variações, com valores referentes às rochas menos evoluídas para as mais diferenciadas: Ba (229,0 - 1.591,0 ppm), Th (0,2 - 10,3 ppm), Rb (10,1 - 160,0 ppm) e Sc (27,0 - 3,0 ppm), Sr (515,9 - 177,3ppm), Ga (18,5 - 11,1ppm), V (130,0 - 23,0ppm), Y (62,2 - 4,2ppm).

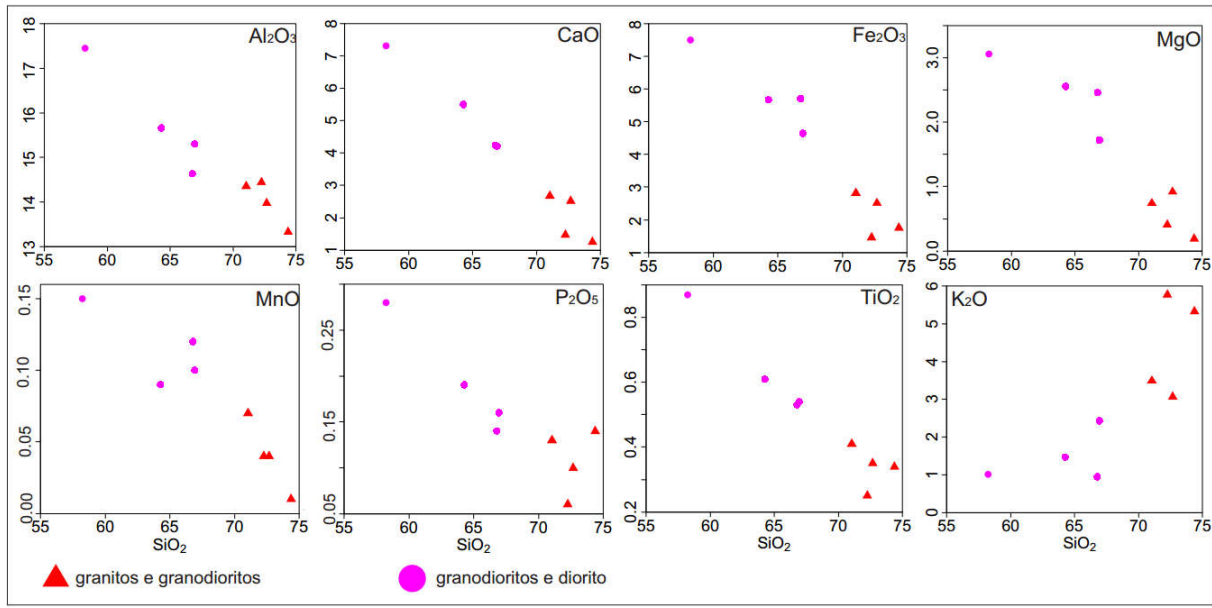


Figura 18. Diagramas de Harker de elementos maiores, expressos em óxidos (%) para as amostras do granulito félsico.

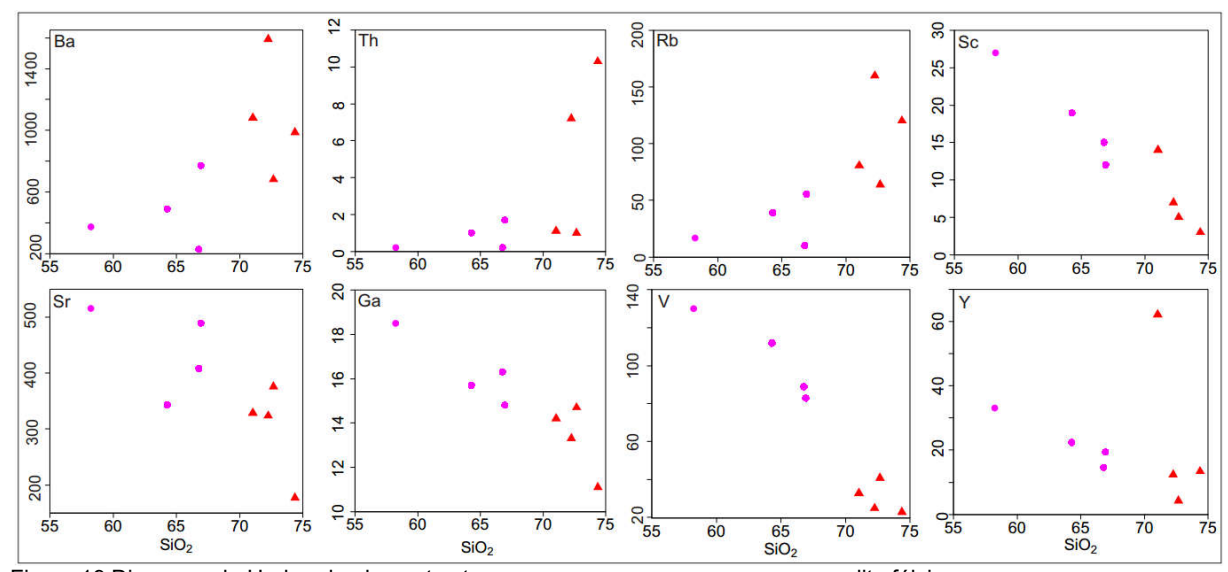


Figura 19 Diagrama de Harker de elementos traço, expressos em ppm, para o granulito félsico.

Os dados geoquímicos do granulito félsico sugerem protólitos com ampla variação composicional, sendo classificados como diorito, tonalito, granodiorito e granito, no diagrama R1- R2 (La Roche *et al.*, 1980; Fig. 20A) e como quartzo diorito, tonalito, granodiorito e granito, no diagrama P-Q (Debon & Le Fort, 1983; Fig. 20B). São rochas, principalmente, metaluminosas com termos graníticos peraluminosos, como ilustrado na figura 20C, que corresponde ao diagrama A/NK *versus* A/CNK, proposto por Maniar & Piccoli (1989), a partir dos índices de Shand. No diagrama SiO₂*versus* FeOt/MgO (Miyashiro, 1974; Fig. 20D) as amostras plotam no campo de séries cálcio-alcalinas, classificação corroborada pelo diagrama AFM (Fig. 20E) de Irvine & Baragar (1971), descrevendo um *trend* de enriquecimento em álcalis e empobrecimento em ferro e magnésio. O diagrama discriminante

de tectônica de granitos de Frost et al. (2001; Fig. 20F) mostra que se tratam de granitoides magnesianos.

Os diagramas discriminantes Rb *versus* Y+Nb e Rb *versus* Ta+Yb propostos por Pearce *et al.* (1984; Fig. 21A e 21B), assim como, o diagrama Hf-Rb/30-3Ta (Harris *et al.*, 1986; Fig. 21C) sugerem que os protólitos do granulito félsico do Granulito Uyarani foram gerados em arcos vulcânicos (VAG).

Os padrões de distribuição dos elementos Terras Raras (ETR), normalizados pelos valores condríticos de Nakamura (1977; Fig. 21D), exibem um enriquecimento dos ETRL em comparação aos ETRP, com razões (La/Yb)n entre 4,10 e 39,9. Observa-se nesta figura uma distribuição similar para a maioria das amostras, à exceção do Eu, cuja razão Eu/Eu* varia entre 0,48 e 1,52, com anomalias negativas para duas amostras, evidenciando fracionamento de plagioclásio; e positivas em outras duas, bem como sem anomalias nas demais, o que pode sugerir a retenção de plagioclásio no líquido.

A distribuição de elementos traço e K₂O, normalizados pelos granitos de Cordilheira Meso-Oceânica (Pearce *et al.*, 1984; Fig. 21E), mostra que existe um enriquecimento de elementos litófilos de raios iônicos grandes (LILE), em relação aos elementos de alto potencial iônico (HFSE). Observam-se também, nesta configuração, anomalias negativas de Ta e Nb corroborando a hipótese de ambiente de arco magmático para a colocação dos protólitos dos granulitos estudados.

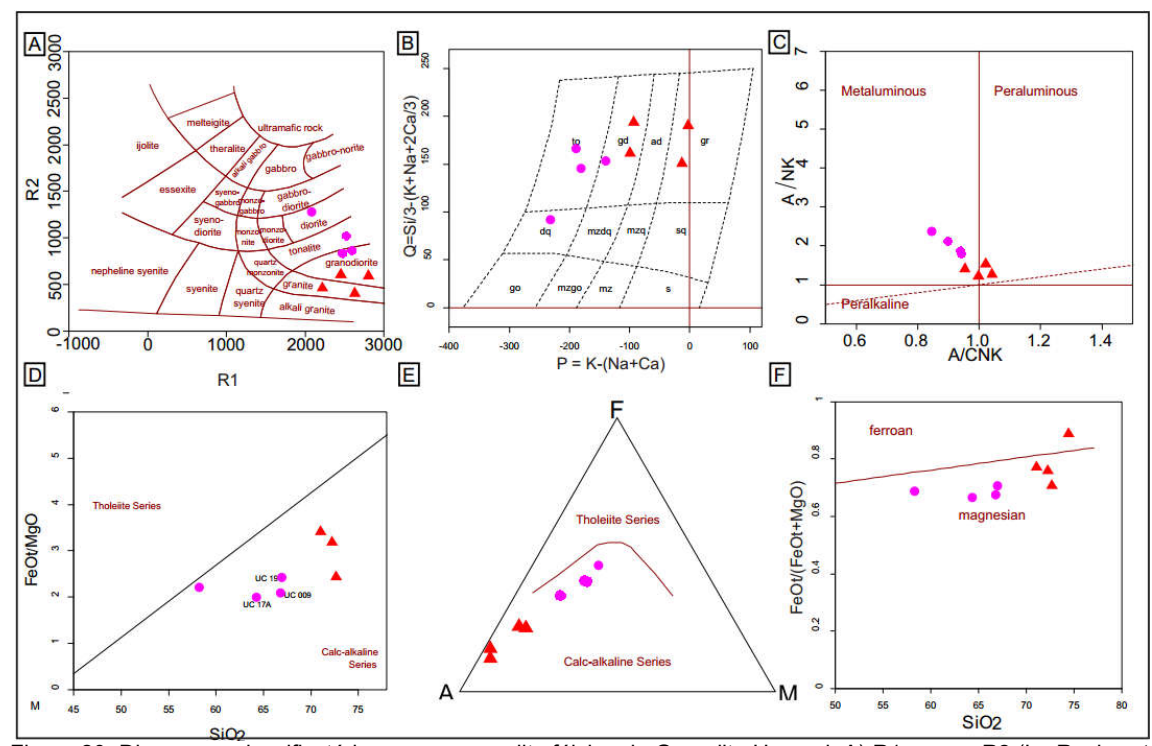


Figura 20. Diagramas classificatórios para o granulito félsico do Granulito Uyarani. A) R1 *versus* R2 (La Roche *et al.*, 1980); B) P-Q (Debon & Le Fort, 1983); C) A/NK *versus* A/CNK (Maniar & Piccoli, 1989); D) SiO₂ *versus* FeO_t/MgO (Miyashiro, 1974); E) AFM (Irvine & Baragar, 1971); F) FeO_t/(FeO_t+ MgO) *versus* SiO₂ (Frost *et al.*, 2001).

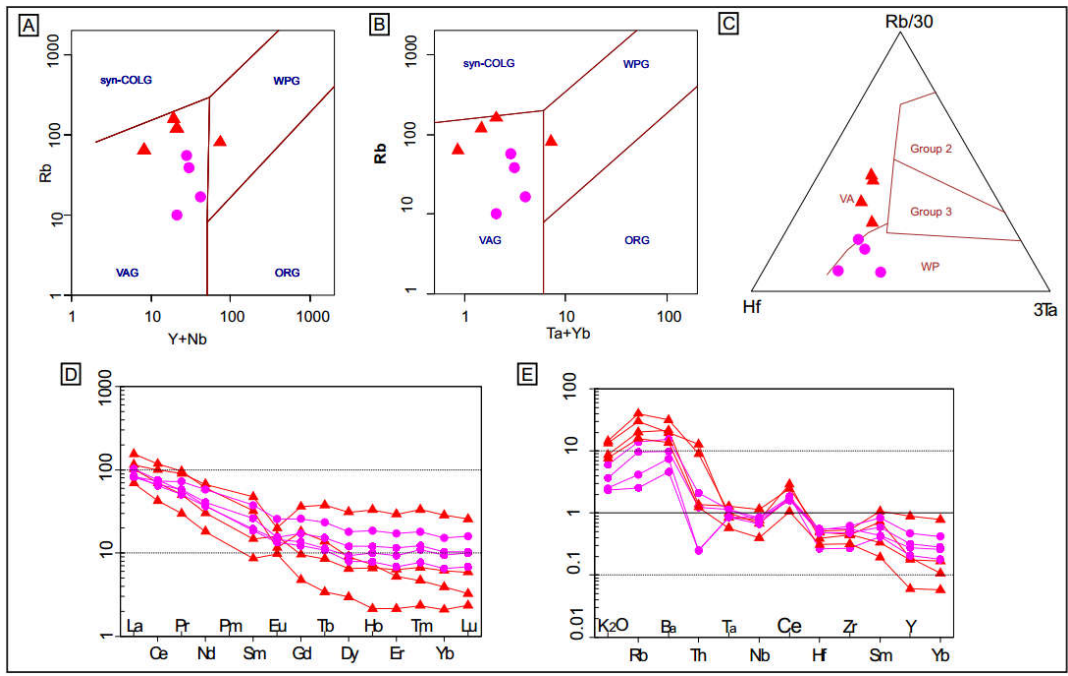


Figura 21. Diagramas para o granulito félsico do Granulito Uyarani. A) Rb *versus* Y+Nb; B) Rb *versus* Ta+Yb propostos por Pearce *et al.* (1984); C) Hf-Rb/30-3Ta (Harris *et al.*, 1986); D) ETR normalizados pelos valores condríticos (Nakamura, 1977); E) elementos traço e K₂O normalizados pelos valores de granitos de Cordilheira Meso-Oceânica (Pearce *et al.*, 1984).

Granulito máfico (enclaves)

Os enclaves do Granulito Uyarani, descritos petrograficamente como granulito máfico, apresentam baixos teores de SiO₂ e variam num pequeno intervalo entre 47,81 e 49,61 %. Os outros óxidos têm teores variáveis: Fe₂O₃ de 7,76 a 13,36 %; TiO₂ de 0,73 a 1,2 %; Na₂O de 2,2 a 4,6 %; Al₂O₃ de 10,88 a 19,96 %; MgO de 5,5 a 11,7 % e K₂O de 1,16 a 1,7 %. O índice de magnésio (mg#) das amostras estudadas, calculado como mg#=Mg⁺²/(Mg⁺²+Fe⁺²), varia num intervalo entre 0,30 e 0,44, sugerindo envolvimento de magma basáltico mais evoluído.Os dados analíticos dessas rochas coincidem com os campos dos gabros/monzogabros e no domínio da série cálcio-alcalina, respectivamente, nos diagramas Q-P (Debon & Le Fort, 1983; Fig. 22A) e AFM (Miyashiro, 1974; Fig. 22B).

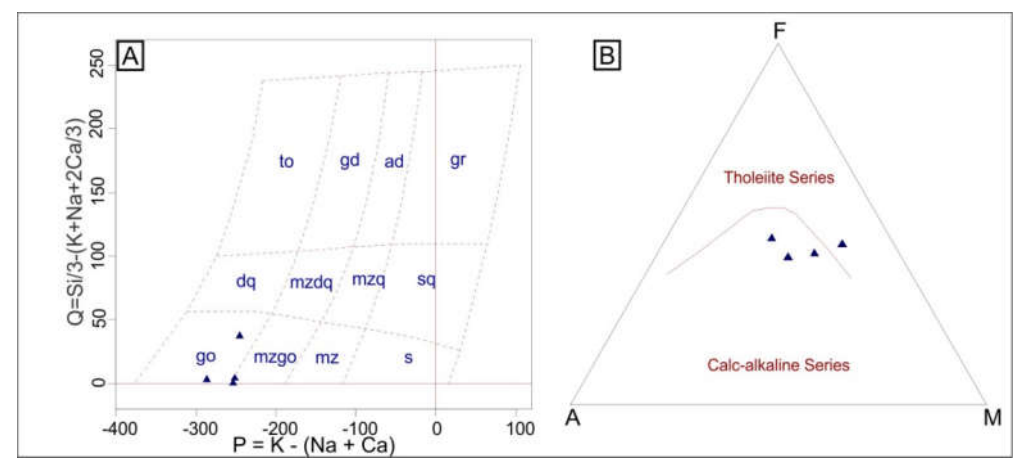


Figura 22. Diagramas classificatórios para o granulito máfico. A) Q-P (Debon & Le Fort, 1983); B) AFM (Miyashiro, 1974; Fig. 22B).

Os diagramas discriminantes de ambiente tectônico 10MnO-TiO₂-10P₂O₅ (Fig. 23A) e Zr-Ti/100-Sr/2(Fig. 23B) propostos, respectivamente, por Mullen (1983) e Pearce & Cann (1973) sugerem que os protólitos do granulito máfico podem ter sido formados, principalmente, em ambiente de basalto cálcio-alcalino (CAB); o que é corroborado nos diagramas de Wood (1980) que utilizam elementos traço (Zr, Th, Hf, Ta e Nb; Fig. 23C; 23D; 23E).

O diagrama de elementos traço, normalizados pelo manto primitivo (McDonough & Sun, 1995; Fig 24A) mostra anomalias negativas em Rb, K, Nb e Zr. Os padrões de distribuição dos Elementos Terras Raras (ETR) normalizados por valores condríticos de Boynton (1984; Fig. 24B) exibem enriquecimento dos ETR Leves em relação aos ETR Pesados, com razões (La/Yb)n entre 4,6 e 9,3, e com muito discreta anomalia negativa de Eu em duas amostras tendo razões Eu/Eu* variando entre 0,83 a 1,02.

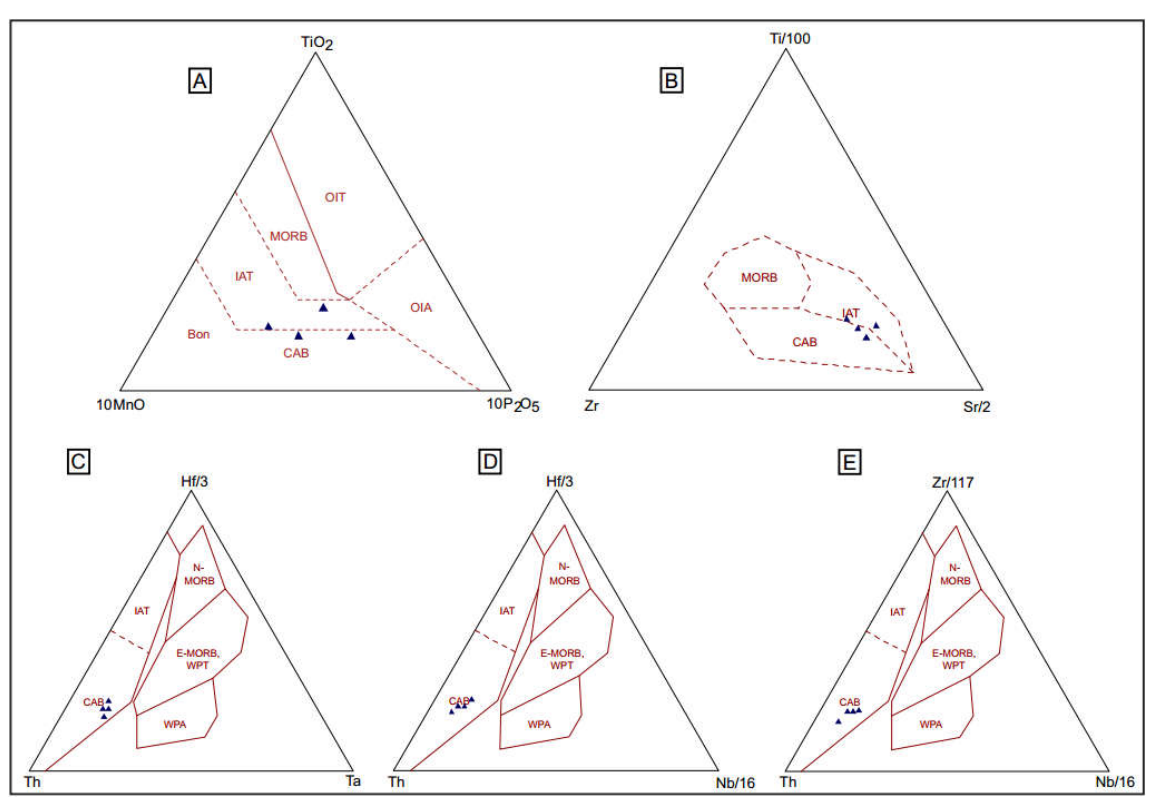


Figura 23. Diagramas discriminantes de ambientes tectônicos para o granulito máfico. A) $10MnO-TiO_2-10P_2O_5$ (Mullen, 1983); B) Zr-Ti/100-Sr/2 (Pearce & Cann, 1973); C) Th-Hf/3-Ta D)Th-Hf/3-Nb/16 e E) Th-Zr/117-Nb/16 propostos por Wood (1980).

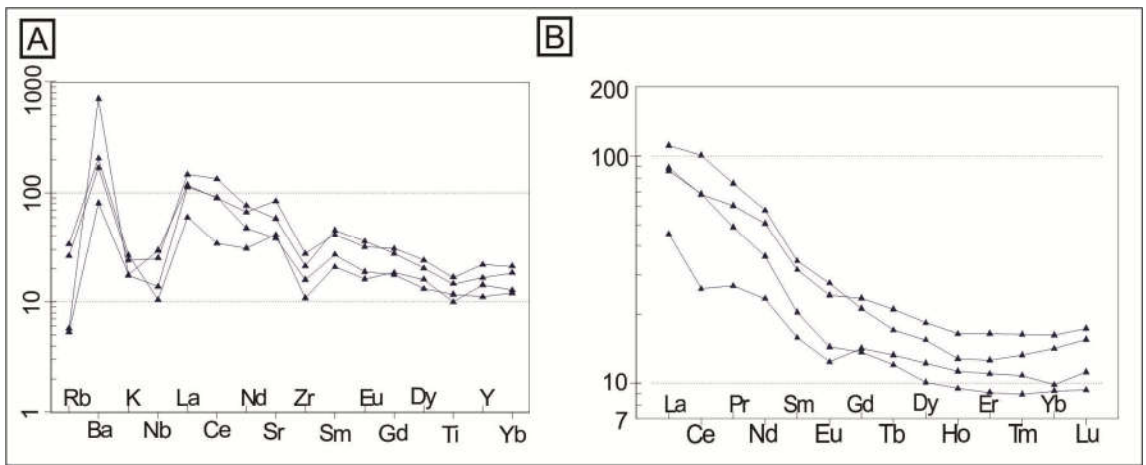


Figura 24. Diagrama multielementar e ETR para o granulito máfico. A) Normalizados pelo manto primitivo (McDonough & Sun, 1995); B) normalizadas por condritos (Boynton, 1984).

GEOCRONOLOGIA U-PB (SHRIMP)

A amostra (UY1337) escolhida para datação era da porção félsica do granulito bandado, de cor cinza claro-rosada, granulação média, com níveis máficos subordinados, classificada em petrografia como sienogranito e geoquimicamente como granodiorito.

A preparação foi realizada no laboratório de preparação de amostras (UFMT) com a utilização de métodos convencionais de britagem, moagem e peneiramento, os minerais pesados foram separados por bateia, posteriormente a amostra foi secada e utilizou-se de imã para separação de grande parte dos minerais magnéticos. As populações de zircões foram obtidas com a utilização do separador magnético *Frantz* e os zircões foram selecionados com o uso de estereoscópio binocular, sendo enviados para análise 100 grãos de zircões.

Primeiramente os cristais de zircão foram dispostos num disco de resina epox seguido de polimento e posteriormente foram fotografados por Microscópio de Varredura Eletrônica (MEV) e microscópio óptico.

Dos 100 grãos de zircão enviados foram utilizados para análise 14 cristais, pequenos, rosados e translúcidos e poucos deles estavam quebrados. A imagem CL obtida mostra que 7 cristais analisados tinham formatos piramidais e a outra metade eram arredondados, sendo que o zoneamento é mais evidente nos cristais piramidais (Fig. 25).

A tabela 2 revela os dados analíticos com as razões isotópicas dos zircões datados. As análises foram realizadas no Centro de Pesquisa Geocronológica da Universidade de São Paulo (CPG-USP) pelo método isotópico U-Pb (SHIRIMP).

As idades foram calculadas com o uso do software Isoplot v.3 (Ludwig 2001) e representadas em diagramas concórdia (Fig. 26). O diagrama concórdia revela uma idade de intercepto superior de 1722±30 Ma, e uma idade concórdia de 1736 ±5.1 Ma interpretada como idade de cristalização do protólito ígneo. Os zircões analisados fornecem idades variando entre 1295 a 1751 Ma.

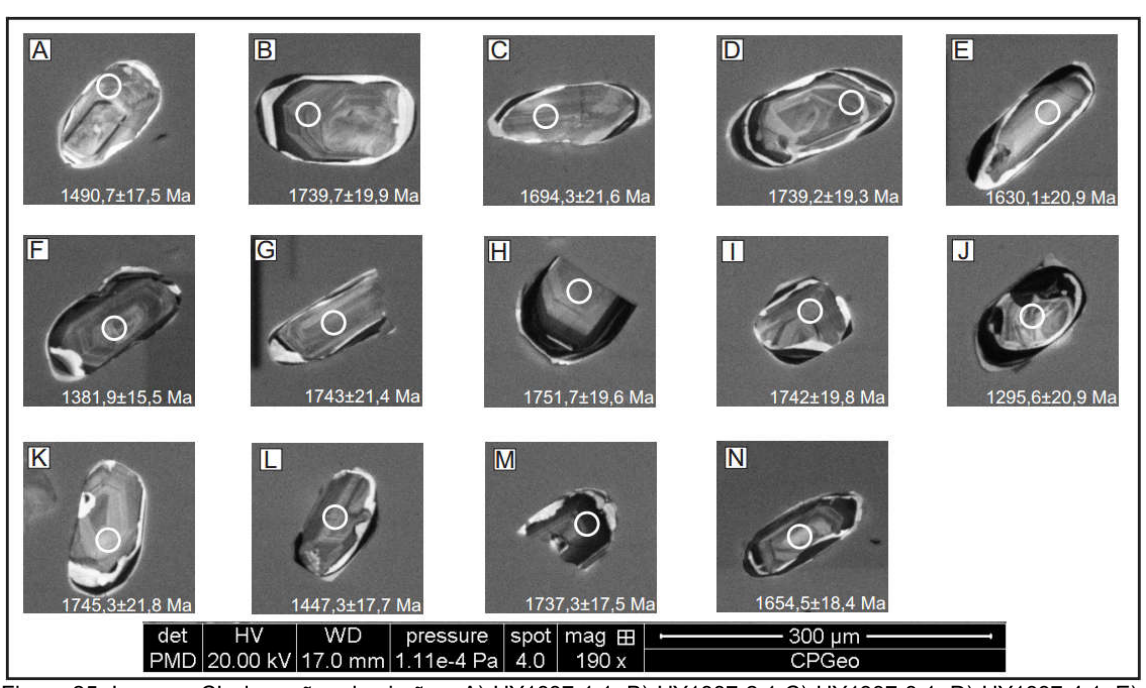


Figura 25. Imagem CL dos grãos de zircões. A) UY1337 1.1; B) UY1337 2.1 C) UY1337 3.1; D) UY1337 4.1; E) UY1337 5.1; F) UY1337 6.1; G) UY1337 7.1; H) UY1337 8.1 I) UY1337 9.1; J) UY1337 10.1; K) UY1337 11.1 L) UY 1337 12.1; M) UY1337 13.1; N) UY1337 14.1. A imagem também ilustra os pontos de aplicação do feixe primário ionizante ou spot.

Tabela 2 Síntese dos dados isotópicos obtidos análise U-Pb (SHIRIMP) em zircões da amostra UY1337.

spot	ppm U	ppm Th	²³² Th/ ²³⁸ U	ppm Rad 206b	204 /206	% err	% comm 206	Total 238 /206	% err	Total 207 /206	% err	238 /206r	% err	207r /206r	% err	207r/ 235	% err	206r /238	% err	err corr	²⁰⁴ corr ²⁰⁶ Pb/ ²³⁸ U	lσ err	$^{204corr}_{^{207}Pb/}_{^{206}Pb}$	lσ err	% Disc
1.1	186	117	0.65	41.7	3.0E-4	20	0.49	3.82	1.3	.1032	1.0	3.84	1.3	.0990	1.5	3.55	2.0	.2602	1.3	.663	1490.7	17.5	1604	28	8
2.1	183	118	0.67	49.0	2.2E-4	22	0.35	3.21	1.3	.1072	1.4	3.23	1.3	.1041	1.6	4.45	2.1	.3098	1.3	.627	1739.7	19.9	1699	30	-2
3.1	136	86	0.66	35.1	1.3E-4	35	0.20	3.32	1.4	.1075	1.1	3.33	1.4	.1058	1.3	4.39	1.9	.3006	1.4	.755	1694.3	21.6	1728	23	2
4.1	212	61	0.30	56.7	1.6E-4	24	0.25	3.22	1.3	.1065	0.8	3.23	1.3	.1043	1.0	4.46	1.6	.3097	1.3	.778	1739.2	19.3	1703	19	-2
5.1	106	65	0.64	26.1	5.3E-5	82	0.08	3.47	1.4	.1039	1.3	3.48	1.4	.1031	1.4	4.09	2.0	.2877	1.5	.719	1630.1	20.9	1681	26	3
6.1	351	226	0.67	72.2	1.1E-4	25	0.18	4.17	1.2	.0939	0.8	4.18	1.2	.0924	0.9	3.05	1.6	.2391	1.2	.801	1381.9	15.5	1475	18	7
7.1	146	119	0.84	39.0	1.0E-4	54	0.16	3.21	1.4	.1085	1.0	3.22	1.4	.1071	1.2	4.58	1.9	.3105	1.4	.745	1743.0	21.4	1751	23	0
8.1	195	151	0.80	52.5	6.0E-5	55	0.09	3.20	1.3	.1077	1.9	3.20	1.3	.1068	2.0	4.60	2.3	.3122	1.3	.548	1751.7	19.6	1746	36	0
9.1	177	141	0.82	47.4	2.4E-4	21	0.38	3.21	1.3	.1103	0.9	3.22	1.3	.1070	1.2	4.58	1.8	.3103	1.3	.728	1742.0	19.8	1749	22	0
10.1	158	98	0.64	30.3	6.8E-5	56	0.11	4.49	1.8	.0919	1.8	4.49	1.8	.0909	2.0	2.79	2.7	.2226	1.8	.671	1295.6	20.9	1445	37	12
11.1	108	57	0.55	28.8	8.6E-5	24	0.13	3.21	1.4	.1092	1.2	3.22	1.4	.1080	1.2	4.63	1.9	.3109	1.4	.757	1745.3	21.8	1767	22	1
12.1	170	139	0.85	36.8	1.0E-4	45	0.17	3.97	1.4	.0948	1.1	3.97	1.4	.0934	1.3	3.24	1.9	.2517	1.4	.719	1447.3	17.7	1496	25	3
13.1	610	472	0.80	162.3	2.2E-5	27	0.03	3.23	1.1	.1060	0.5	3.23	1.1	.1057	0.5	4.51	1.2	.3093	1.1	.921	1737.3	17.5	1727	9	-1
14.1	202	179	0.92	51.2	3.1E-4	18	0.48	3.40	1.3	.1057	0.9	3.41	1.3	.1015	1.3	4.10	1.8	.2926	1.3	.686	1654.5	18.4	1653	25	0

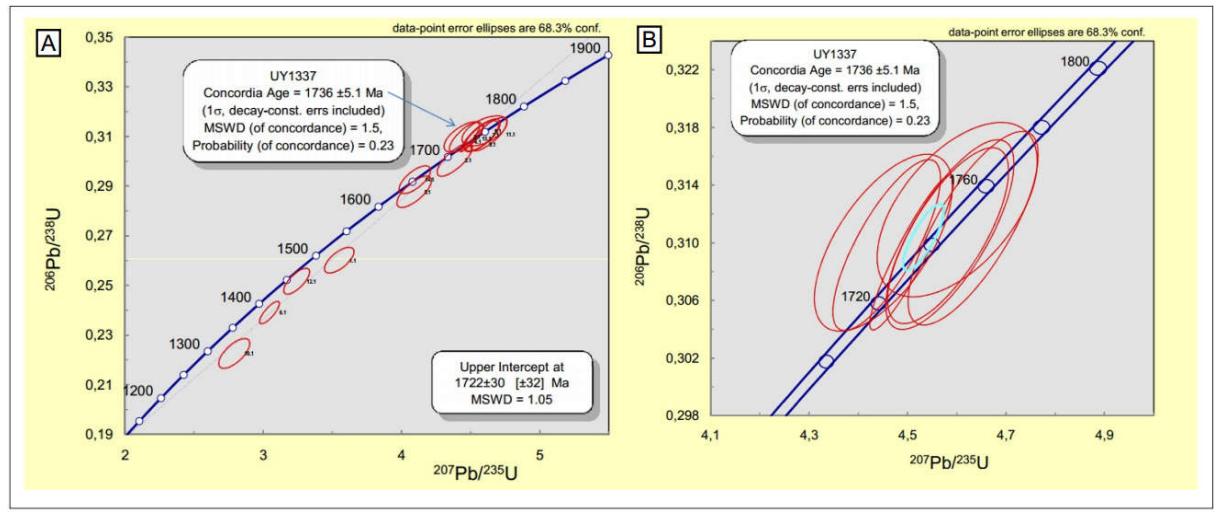


Figura 26. Diagramas concórdias das idades obtidas para o granulito bandado. A) Diagrama concórdia mostrando o intercepto superior equivalente a 1722±30 Ma; B) diagrama mostrando idade concórdia de 1736±5 Ma.

DISCUSSÕES E CONCLUSÕES

O embasamento pré-andino, na cordilheira dosAndes bolivianos, é formado por terrenos pré-cambrianos expostos em janelas estruturais, sendo o Granulito Uyarani uma ocorrência dessa natureza no Altiplano Andino, na porção oeste da Bolívia. Trata-se de uma exposição em uma serra de pequeno porte, com extensão em torno de 32 km². No mapa de Troeng *et al.* (1994) percebe-se que uma pequena porção do Granulito Uyarani é deslocada para Sul pela Falha de San Andres, e esta unidade encontra-se parcialmente recoberta ao N e NW pelo ignimbrito da Formação Pérez (Troëng *et al.*, 1994). Este ignimbrito apresenta-se como uma rocha piroclástica formada por fluxo de púmice de cor cinza-clara, com diversos clastos de fragmentos de rocha, minerais e vidro, bem como vacúolos por escape de gás, que cobre parcialmente os granulitos, em contato discordante.

As rochas do Granulito Uyarani, unidade estratigráfica definida neste trabalho, são divididas, petrograficamente, em granulitos félsicos dominantes e granulitos máficos que ocorrem em enclaves de até 5 metros de comprimento constituindo grande volume ao longo de todo o corpo.

É possível nomear detalhadamente os granulitos, usando o nome raiz e a respectiva mineralogia. A banda félsica do granulito félsico pode ser denominada de biotita-hiperstênio granulito e a banda máfica de hiperstênio±hornblenda granulito e o granulito máfico recebe o nome de hornblenda-hiperstênio granulito.

Diques máficos de composição basáltica e granulação muito fina de larguras centimétricas a métricas e diques félsicos de granulação fina a pegmatítica, compostos por quartzo, feldspato alcalino e magnetita cortam as rochas do Granulito Uyarani. Os diques félsicos são originários do protólito ígneo do granulito félsico, já os diques máficos são associados ao vulcanismo Andino recente que ocorre na região.

A análise estrutural demonstra o caráter polideformado das rochas do Granulito Uyarani, com registro de pelo menos de três fases de deformação F1 (bandamento S1), F2 (xistosidade S2, superimposta ao bandamento S1, e dobras recumbentes D2) e F3 (dobras abertas D3), bem como, a existência de tectônica rúptil marcada por fraturas e falhas coincidentes com a orientação da terceira fase de deformação. As duas primeiras fases

deformacionais são atribuídas à evolução estrutural pré-cambriana, sendo a F2 vinculada a Orogenia Sunsás, conforme idades Ar-Ar e Sm-Nd discutidas a seguir. Possivelmente, as dobras abertas e falhas reversas descritas na fase F3 sejam manifestações tectônicas relacionadas à evolução do Cinturão Andino.

Duas paragêneses metamórficas, M1 e M2, são atribuídas a estas rochas. A M1 é relacionada à primeira fase de deformação, fase F1, responsável pelo desenvolvimento dobandamento gnáissico, alcançando condições metamórficas de fácies granulito para o conjunto de rochas máficas e félsicas, com geração de silicatos ferromagnesianos, dominantemente desitratados (orto e clinopiroxênio), a presença de feldspatos e ausência de muscovita primária é imprescindível. Durante a fase de deformação F2, desenvolve-se uma foliação S2 plano-axial à D2 e paragênese metamórfica M2, com neoformação de biotita, clorita, sericita, epidoto, anfibólio (actinolita-tremolita) e calcita, caracterizando retrometamorfismo para fácies xisto verde. A deformação F3 é posterior e, aparentemente, não está vinculada a metamorfismo, sendo apenas marcada por estruturas rasas, que devem estar associadas à tectônica andina.

As assinaturas químicas do granulito félsico revelam que o protólito foi gerado por um magmatismo cálcio-alcalino, metaluminoso a peraluminoso, magnesiano; enquanto o estudo geoquímico dos enclaves de granulito máfico mostra a existência de um magma básico associado. A geologia, petrografía e geoquímica em conjunto sugere um ambiente convergente, de arco magmático com a ocorrência de mistura de magmas.

As idades de cristalização do granulito félsico disponíveis na literatura são contraditórias e têm erros elevados, 1859±200 Ma (Troeng *et al.*,1994) e 2020±130 Ma (Wörner *et al.*, 2000) obtidas, respectivamente, pelos métodos Rb/Sr, em rocha total e U/Pb, em zircão. A análise U/Pb (SHRIMP) em zircão, obtida nesse trabalho, revelou uma idade de cristalização de 1736 ±5.1 Ma do granulito félsico considerada como a mais adequada para essas rochas devido aos valores semelhantes do intercepto superior e idade concórdia e natureza magmática dos zircões, sugeridas pelas razões Th/U de 0,30 a 0,92. Não foi possível obter a idade do granulito máfico por não ser obtido zircão após preparação da mesma.

Considerando as idades apresentadas por Wörner *et al.* (2000), através dos métodos U/Pb em zircão de 1157±60 Ma, Ar/Ar em hornblenda com um platô de 982±2 Ma e Sm-Nd por isócrona mineral de 1008±16 Ma sugerem a atuação de um episódio termal regional, associado à evolução da Orogenia Grenvilliana-Sunsás, nas rochas granulíticas.

Com base nos dados obtidos nesse trabalho, admite-se que a parte félsica do Granulito Uyarani é formada por rochas ortoderivadas, cujo protólito ígneo formou-se no Estateriano, Paleo-proterozóico, correlacionado cronologicamente ao Complexo Lomas Manechis, do Terreno Paraguá, da Província Rondoniana-San Ignácio (Litherland *et al.*, 1986; Bettencourt *et al.*, 2010; entre outros). As idades mais jovens, apresentadas por Wörner *et al.* (2000), sugerem que esse fragmento crustal foi posteriormente retrabalhado pela Orogenia Sunsás durante o Toniano, no Neo-proterozoico, que afeta toda a borda oeste do Cráton Amazônico, da Colômbia a Bolívia. Sugerindo que a conexão do Granulito Uyarani com o Cráton Amazônico está vinculada a aglutinação do supercontinente Rodínia.

Com a proposta de buscar a contínua evolução do conhecimento geológico da região sugerimos a realização das análises geocronológicas U-Pb do granulito máfico (enclave), Sm-Nd em rocha total do granulito félsico e máfico e Ar-Ar do granulito félsico, o que pode levar a interpretações mais precisas quanto à idade de geração do enclave, ambiente gerador e eventos metamórficos que atingiram as rochas do Granulito Uyarani.

Também propomos que seja realizado um estudo específico do ignimbrito da Serra Uyarani, envolvendo caracterização geológica, petrografia e geocronologia, ainda não efetuados, para poder assim associá-los ou não com a Formação Pérez, interpretado por Troeng *et al.*, (1994) através de análise de campo e proximidade litológica.

AGRADECIMENTOS

Agradecemos a CAPES pela concessão da bolsa, ao Grupo de Pesquisa em Evolução Crustal e Tectônica Guaporé pelo apoio no tratamento das amostras para a realização das análises litoquímicas e geocronológicas, ao Instituto Nacional de Ciência e Tecnologia de Geociências da Amazônia (GEOCIAM) pelo auxílio financeiro no decorrer do trabalho de mestrado, e a Universidad Mayor de San Andrés pelo acesso ao local de estudo.

REFERÊNCIAS BIBLIOGRÁFICAS

Bahlburg H., Hervé F. 1997. Geodynamic evolution and tectonostratigraphic terranes of northwestern Argentina and northern Chile. *Geol. Soc. Am. Bull.*, **109**:869–84.

Brito Neves B.B. 2003. A saga dos descendentes de Rodínia na construção de Gondwana. *Rev. Brasil. Geociênc.*, **33**:77–88.

Cobbing E.J., Ozard J.M., Snelling N.J. 1977. Geol. Soc. Am. Bull., 88:241-246.

Coira B., Davidson J., Mpodozis C., Ramos V.A. 1982. Tectonic and magmatic evolution of the Andes of northern Argentina and Chile. *Earth Sci. Rev.*, **18**:303–32.

Cordani U.G., Milani E.J., Thomaz Filho A., Campos D.A. (Eds.) 2000. Tectonic *Evolution of South America*. 31st Int. Geol. Congr., Rio de Janeiro.

Dalmayrac B., Lancelot J.R., Leyreloup A. 1977. Two-billion-year granulites in the late Precambrian metamorphic basement along the southern Peruvian coast. *Science*, **198**:49–51.

Dalziel IWD. 1997. Overview: Neoproterozoic–Paleozoic geography and tectonics: review, hypothesis, environmental speculations. *Bull. Geol. Soc. Am.*, **109**:16–42.

Dalziel I.W.D., Forsythe R.D. 1985. Andean evolution and the terrane concept.In *Tectonostratigraphic terranes of the Circum-Pacific-Region*, ed. DG Howell, pp. 565–81. Circum-Pac.- Counc. Energy Miner.Resourc., Earth Sci. Ser. 1.

Debon F., Le Fort P. 1983. A chemical–mineralogical classification of common plutonic rocks and associations. Transactions of the Royal Society of Edinburgh. *Earth Sciences.*, 73:135-149.,

Fucks R.A., Brito Neves B.B., Schobbenhaus C. 2008. Rodinia descendants in South America. *Precambrian Res.*, **160**:108–26.

Harris N.B.W., Pearce J.A., Tindle A.G. 1986. Geochemical characteristics of collision-zone magmatism. *Geological Society.*, **19**:67-81.

Grohmann, C.H., Campanha, G.A.C. and Soares Junior, A.V., 2011. OpenStereo: um programa Livre e multiplataforma para análise de dados estruturais. In: XIII Simpósio Nacional de Estudos Tectônicos.

Irvine I. N. & Baragar W. R. A. 1971. A Guide To The Chemical Classification Of The Common Volcanics Rocks. *Canadian Journal Earth Science*, **8**:523-548.

Jaillard E., Hérail G., Monfret T., Díaz-Martínez E., Baby P. 2000. Tectonic evolution of the Andes of Ecuador, Peru, Bolivia y Northernmost Chile. See Cordani *et al.* 2000, pp. 481–559.

James D.E. 1971. Plate tectonic model for the evolution of the Central Andes. *Geol. Soc. Am. Bull.*, **82**:3325–46.

Janoušek, V., Farrow, C. M. & Erban, V. 2006. Interpretation of whole-rock geochemical data in igneous geochemistry: introducing Geochemical Data Toolkit (GCDkit). *Journal of Petrology*, 47(6):1255-1259.

La Roche H. de, Leterrier J., GrandClaude P., Marchal M. 1980. A classification of volcanic and plutonic rocks using R1-R2 diagram and major-element analyses. Its relationships with current nomenclature. *Chem. Geol.*, **29**(2):183-210.

Lehmann B. 1978. A Precambrian core sample from the Altiplano. *Bolivia. Geol. Rundsch*, **67**:270–78.

Loewy, S.L., Connelly, J.N., Dalziel, I.W.D. 2004. An orphaned basement block: the Arequipa–Antofalla Basement of the central Andean margin of South America. *Geological Society of America, Bulletin,* **116**:171–187.

Maniar P.D. & Piccoli P.M. 1989. Tectonic discrimination of granitoids. *Geol. Soc. Amer. Bull.*, **101**:635-643.

McLeod C.L., Davidson J.P., Nowell G.M., de Silva S.L., Schmitt A.K. 2013. Characterizing the Continental Basement of the Central Andes: Constraints Form Bolivian Crustal Xenoliths. *Geological Society of America Bulletin*, **125**:985-997.

Miyashiro A. 1974. Volcanic rock series in island arcs and active continental margins. *American Journal of Science*, **274**:321–355.

Monger J.H.W., Price R.A., Tempelman-Kluit D.J. 1982. Tectonic accretion and the origin of two major metamorphic and plutonic welts in the Canadian Cordillera. *Geology*, **10**:70–75.

Mpodozis, C., Ramos, V.A. 1990. The Andes of Chile and Argentina. In: Ericksen, G.E., Cañas Pinochet, M.T., Reinemud, J.A. (Eds.), Geology of the Andes and its relation to Hydrocarbon and Mineral Resources. Circum pacific Council for Energy and Mineral Resources, *Earth Sciences SeriesHouston*, **11**:59–90.

Nakamura K. 1977. Volcanoes as a possible indicator of tectonic stress orientation: principle and proposal. *J. Volcanol. Geotherm. Res.*, **2**:1-16.

Oliveira J.R., Ruiz A.S., Souza M.Z.A., Salinas R.M. 2015. Análise estrutural e metamórfica das rochas do Cerro Uyarani: janela tectônica pré-cambriana no altiplano boliviano. *Simp.Nac. Est. Tect.*, **15**:55-58.

Pearce J.A., Harris N.B.W., Tindle A.G. 1984. Trace element discrimination diagrams for the tectonic interpretation of granitic rocks. *J. Petrol.*, **25**(4):956-983.

Ramos VA. 1986. El diastrofismo oclóyico: un ejemplo de tectónica de colisión durante el Eopaleozoico en el noroeste Argentino. *Rev. Inst. Cienc. Geol.*, **6**:13–28.

Ramos V.A. 1988. Tectonics of the Late Proterozoic—Early Paleozoic: a collisional history of Southern South America. *Episodes*, **11**:168–74.

Ramos V.A. 2008a. The basement of the Central Andes: the Arequipa and related terranes. *Annual Review on Earth and Planetary Sci.*, **36**:289–324.

Ramos V.A. 2010a. The Grenville-Age Basement of the Andes. *Journal of South American Earth Sciences*, **29**:77–91.

Rapela C.W., Pankhurst R.J., Casquet C., Fanning C.M., Baldo E.G., González Casado J.M., Galindo C., Dahlquist J. 2007. The Río de la Plata craton and the assembly of SW Gondwana. *Earth Science Reviews*, **83**:49–82.

Streckeisen A. 1976. To each plutonic rock its proper name. *Earth Science Reviews*, **12**:1–33.

Tosdal R.M. 1996. The Amazon–Laurentian connection as viewed from Middle Proterozoic rocks in the central Andes, western Bolivia and northern Chile. *Tectonics*, **15**:827–42.

Troeng B., Soria E., Claure H., Mobarec R., Murillo F. 1994. Descubrimiento de Basamento Precambrico em La Cordillera Occidental Altiplano de los Andes Bolivianos. *In:* XI Congreso Geologico Boliviano. La Paz, *Atas*, p. 231-236.

Wörner G., Lezaun J., Beck A., Heber V., Lucassen F., Zinngrebe E., Rössling R., Wilke H.G. 2000. Precambrian and Early Paleozoic evolution of the Andean basement at Belen (northern Chile) and Cerro Uyarani (western Bolivia Altiplano). *South America Earth Sci.*, **13**:717–37.

ANEXO 2 Carta de aceite

Agradecimento pela submissão



Bom dia. Segue conforme solicitado.

Juliana de oliveira,

Agradecemos a submissão do trabalho "Cerro Uyarani - Uma Janela Estrutural Pré-Cambriana no Altiplano Boliviano: Petrogênese e Significado Tectônico" para a revista Geologia USP. Série Científica. Acompanhe o progresso da sua submissão por meio da interface de administração do sistema, disponível em:

URL da submissão:

http://submission.ppegeo.igc.usp.br/index.php/guspsc/author/submission/385 Login: juliana

Em caso de dúvidas, entre em contato via e-mail.

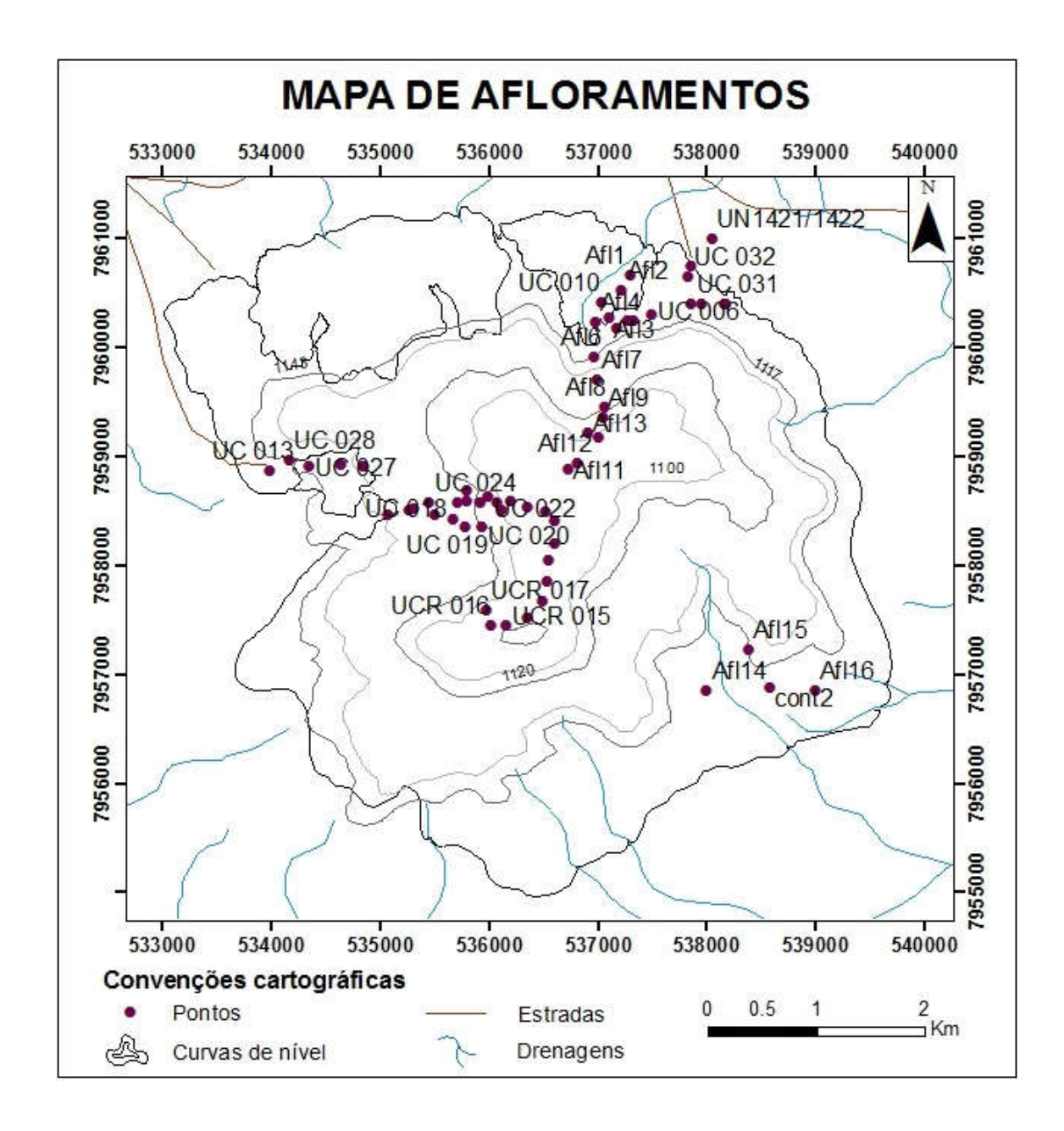
Agradecemos mais uma vez considerar nossa revista como meio de compartilhar seu trabalho.

Nanci Iurico Assakura Geologia USP. Série Científica

Geologia USP, Série Científica

http://submission.ppegeo.igc.usp.br/index.php/guspsc

ANEXO 3 Mapa de afloramentos



ANEXO 4 Mapa dos pontos de amostragem da geoquímica

